

***От организации  
хроматина к  
пониманию  
функционирования  
геномов эукариот***

Алексей Константинович Шайтан

д.ф.-м.н., профессор, чл.-корр. РАН

кафедра биоинженерии

биологический факультет

МГУ имени М.В.Ломоносова

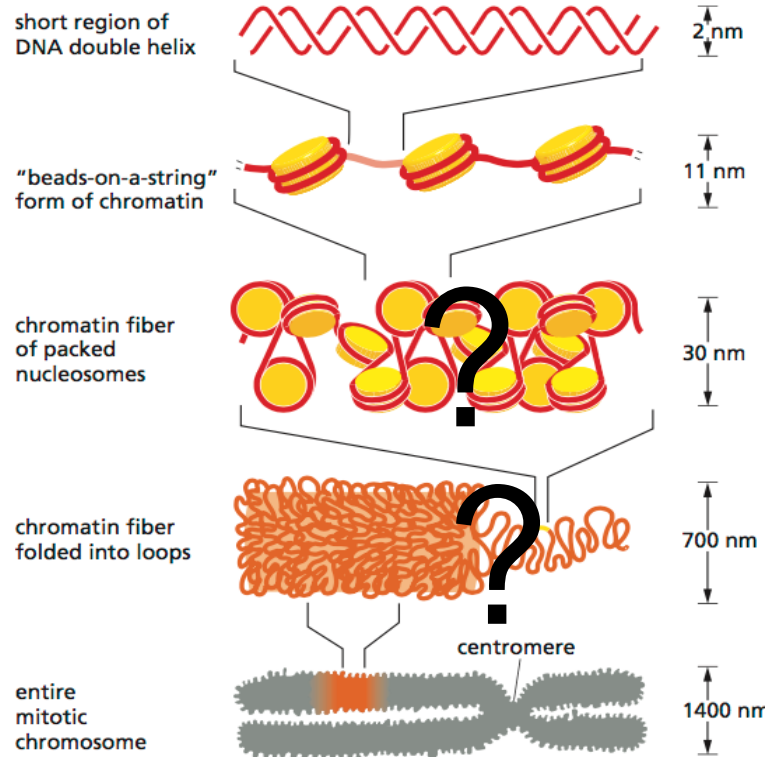
***Лекции 4-5.  
3Д структура хроматина и  
эпигенетика.***

Апрель 2024

Далее поговорим про устройство ядра и интерфазного хроматина на более больших масштабах

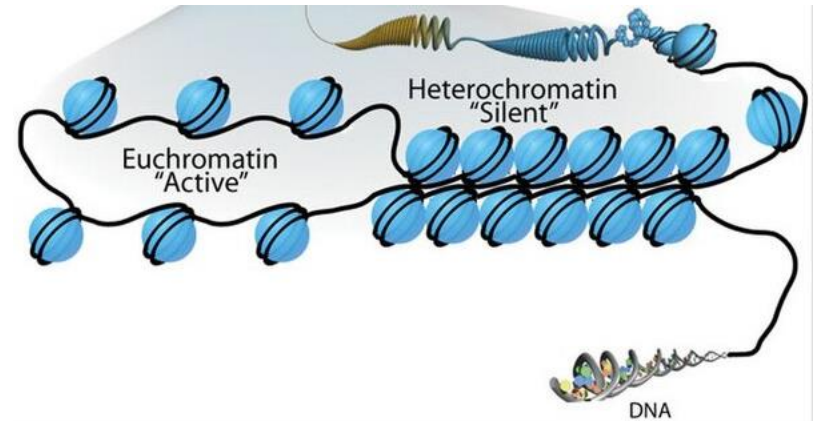
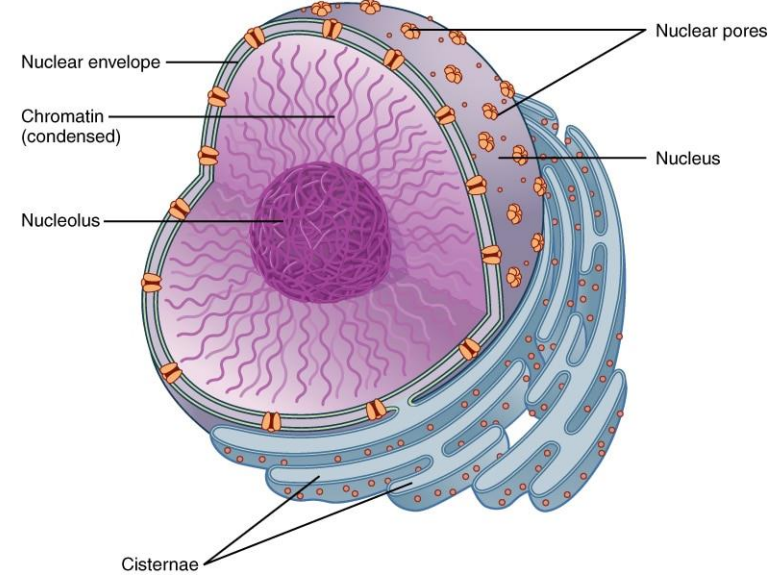
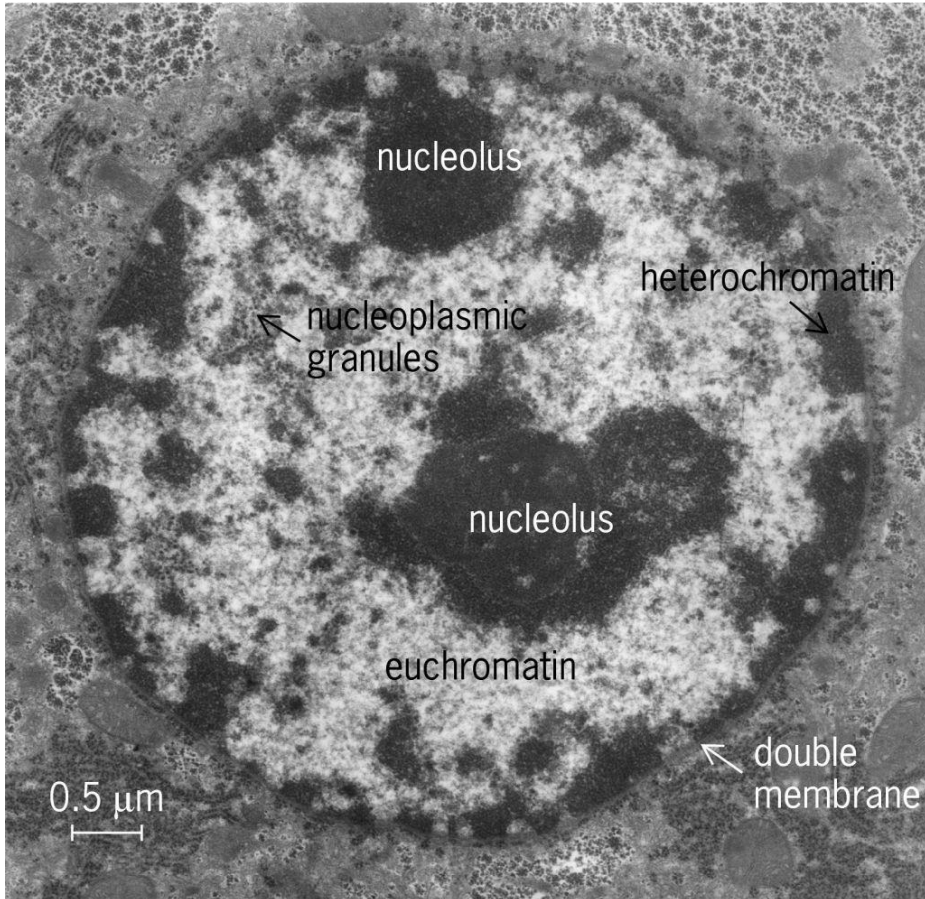
# Представления о структуре хроматина

## Устаревшее иерархическое представление

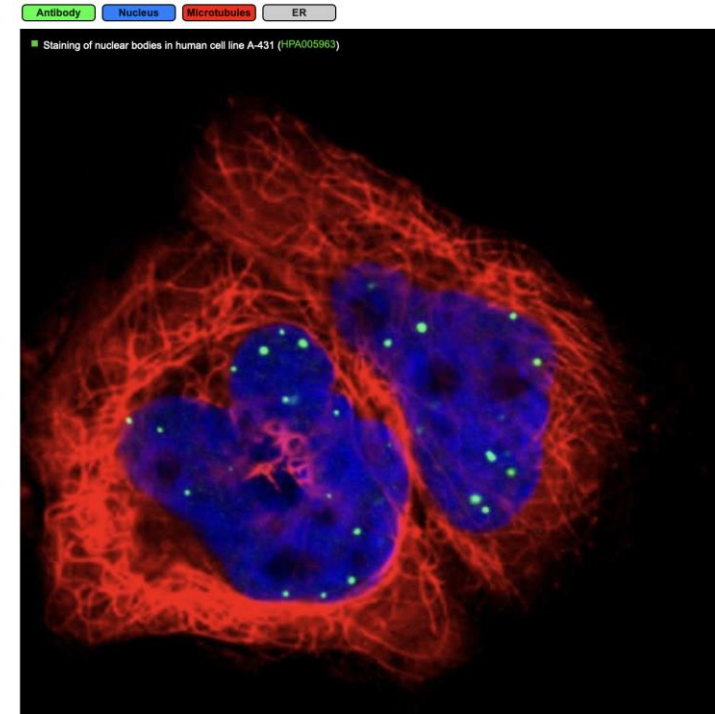
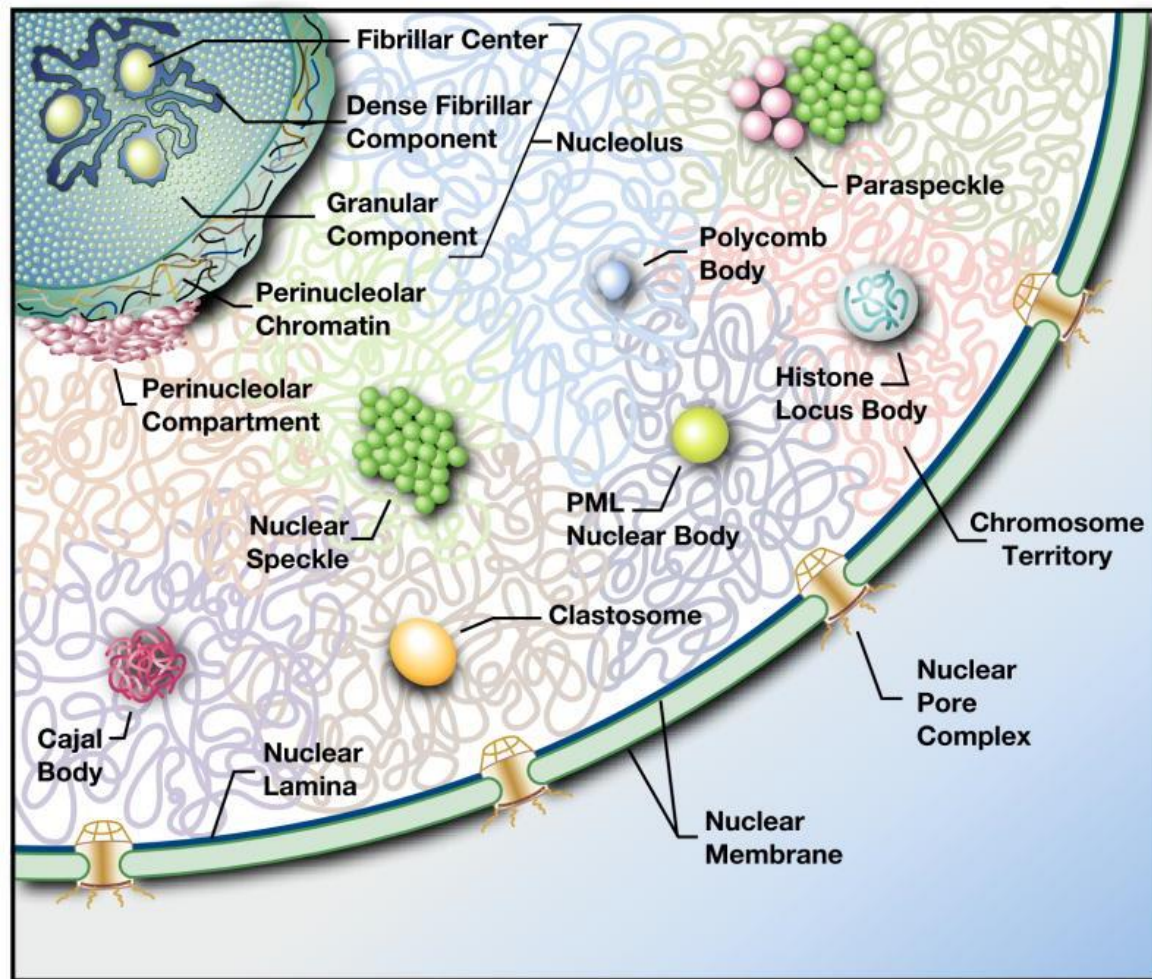


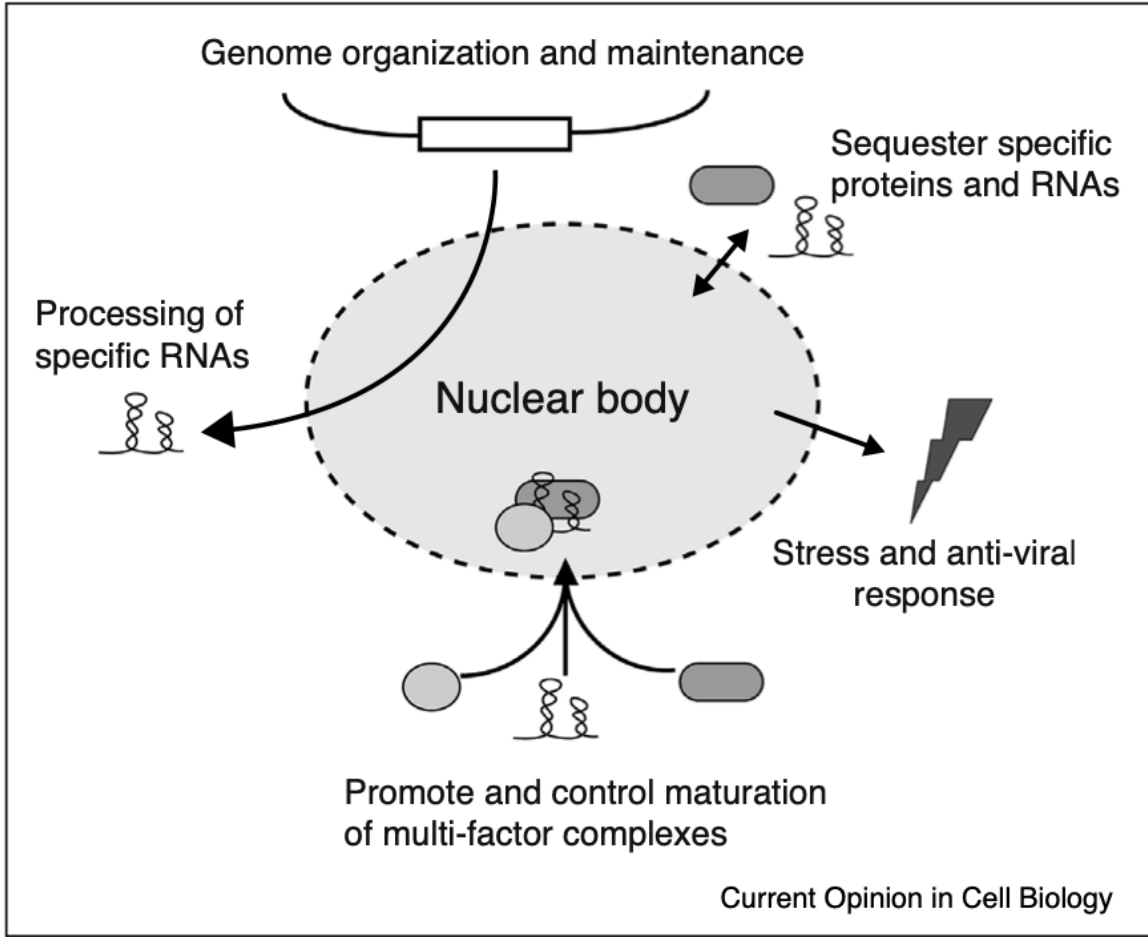
В естественных условиях не существует

# Эу- и гетерохроматин









definitions of nuclear speckles (NS) are descriptive in nature, typically referring to their physical appearance in microscopy experiments such as **'nuclear domains enriched in pre-mRNA splicing factors, located in the interchromatin region of the nucleoplasm of mammalian cells'**

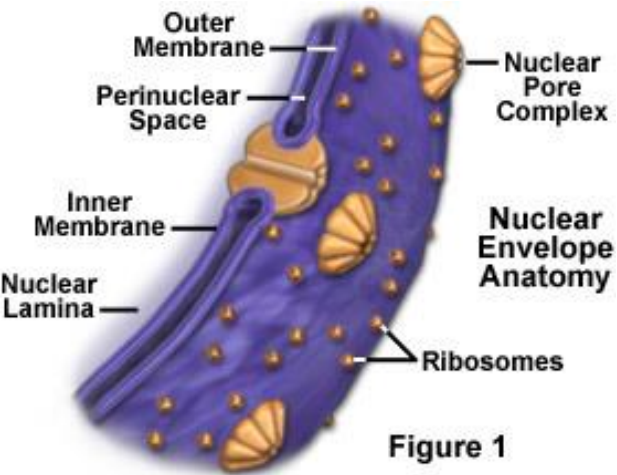
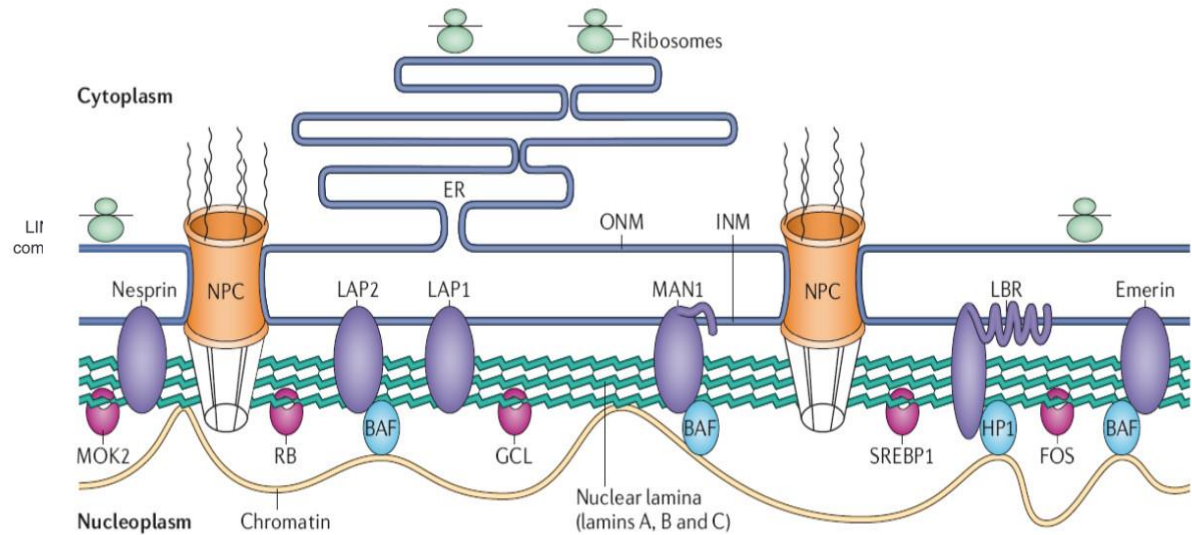


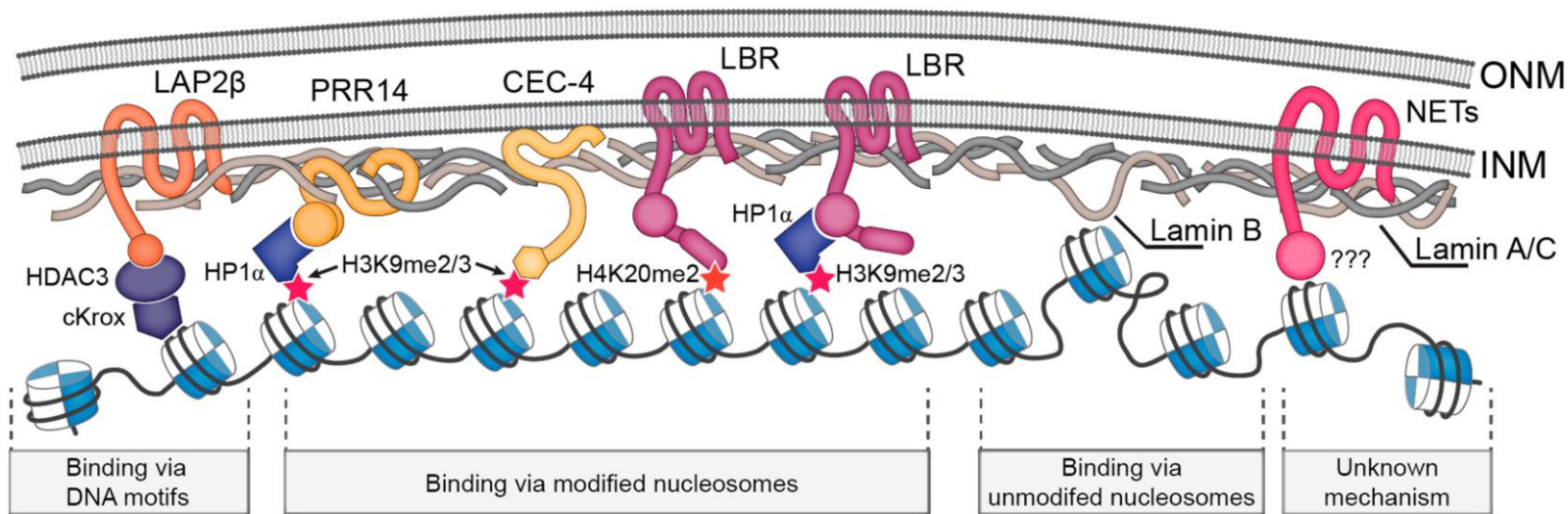
Figure 1

Ядерная мембрана



Ядерная ламина

# Концепция: ядерная ламина и lamina-associated domains



The Nuclear Lamina as an Organizer of Chromosome Architecture

by Yuri Y. Shevelyov <sup>1,\*</sup> and Sergey V. Ulianov <sup>2</sup>



# Progeria

**Other names** Hutchinson–Gilford progeria syndrome (HGPS),<sup>[1][2]</sup> progeria syndrome,<sup>[2]</sup> Joseph syndrome



A young girl with progeria (left). A healthy **cell nucleus** (right, top) and a progeric cell nucleus (right, bottom).

In 2003, the cause of progeria was discovered to be a [point mutation](#) in position 1824 of the *LMNA* gene, which replaces a cytosine with thymine

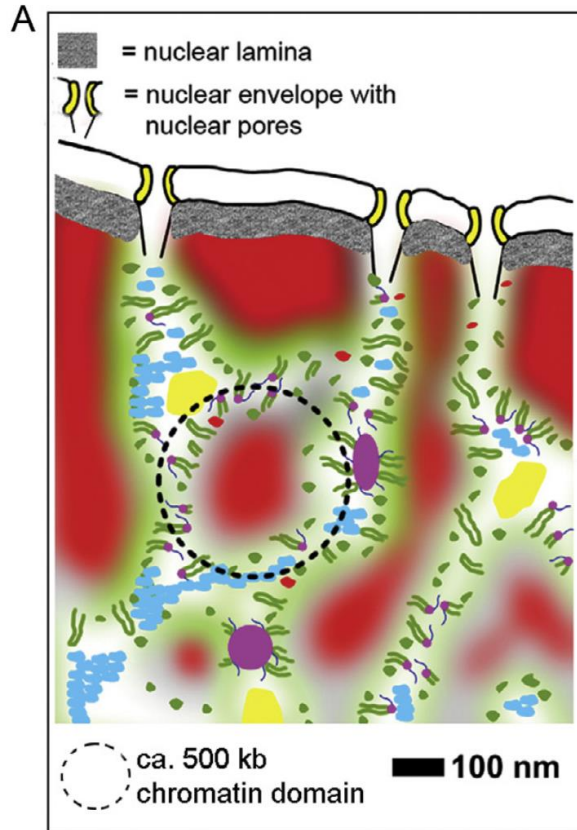
## Lamin A Truncation in Hutchinson-Gilford Progeria

Annachiara De Sandre-Giovannoli,<sup>1</sup> Rafaëlle Bernard,<sup>2</sup>  
Pierre Cau,<sup>1,3</sup> Claire Navarro,<sup>1</sup> Jeanne Amiel,<sup>4</sup> Irène Boccaccio,<sup>1</sup>  
Stanislas Lyonnet,<sup>4</sup> Colin L. Stewart,<sup>5</sup> Arnold Munnich,<sup>4</sup>  
Martine Le Merrer,<sup>4</sup> Nicolas Lévy<sup>1,2\*</sup>



## Концепция:

### active compartment/inactive compartment/interchromatin compartment



#### active nuclear compartment ANC

- Transcriptionally competent decondensed chromatin marked by „active“ histone marks
- ⌋ transcriptionally competent chromatin loops,
- ⌋ transcriptionally active chromatin loops
- Interchromatin compartment, harboring
  - Transcription factories,
  - splicing speckles,
  - architectural proteins, e.g. CTCF, SAF-A, Matrin

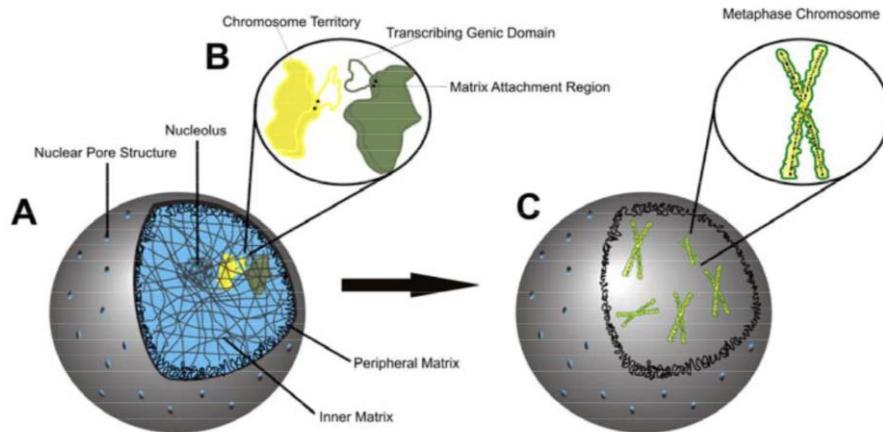
#### inactive nuclear compartment INC

- Compacted part of chromatin domain clusters (CDCs) marked by repressive histone marks



## A requiem to the nuclear matrix: from a controversial concept to 3D organization of the nucleus

S. V. Razin · O. V. Iarovaia · Y. S. Vassetzky



The nuclear lamina is associated with the inner face of the inner nuclear membrane of the nuclear envelope, whereas the outer face of the outer nuclear membrane is continuous with the endoplasmic reticulum.<sup>[1]</sup> The nuclear lamina is similar in structure to the nuclear matrix, that extends throughout the nucleoplasm.

Fig. 1. The nuclear matrix. A - Interphase nucleus. The outer nuclear matrix is

## Концепция: Хромосомные территории

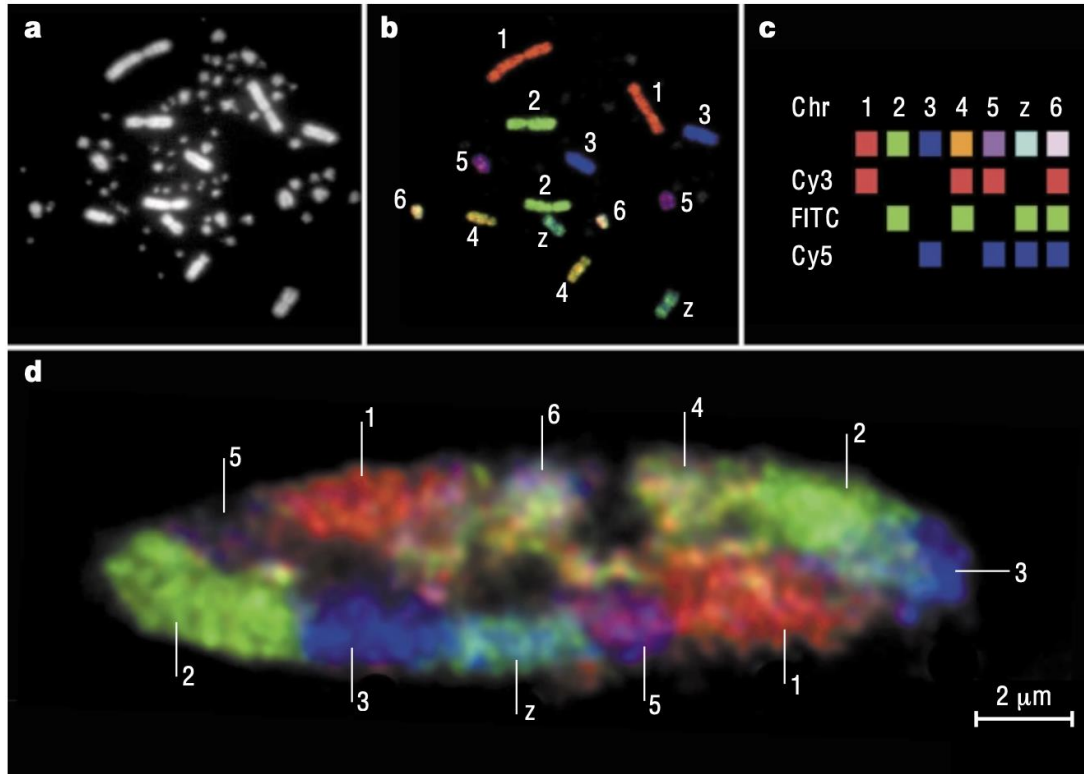
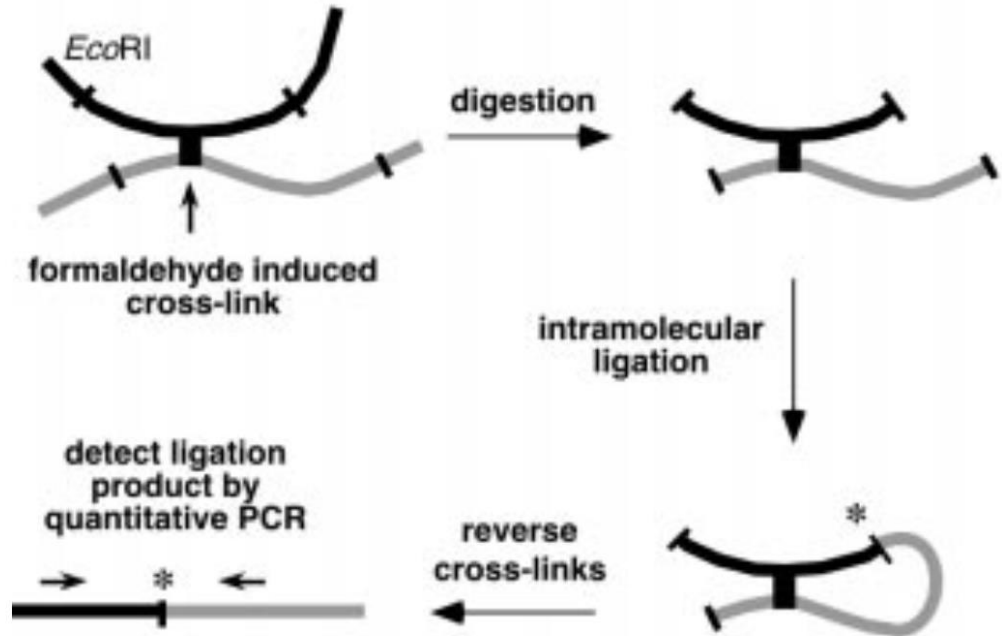


Figure 2 | **Chromosome territories in the chicken.** **a** | 4,6-diamidino-2-phenylindole (DAPI)-stained, diploid, chicken metaphase spread with macro- and microchromosomes. **b** | The same metaphase spread after multicolour fluorescence *in situ* hybridization with pseudocoloured chromosomes. Chicken chromosome paint probes (image courtesy of Johannes Wienberg) were labelled by a combinatorial scheme with oestradiol (1, 4, 5, 6),

# Capturing Chromosome Conformation

Job Dekker,<sup>1\*</sup> Karsten Rippe,<sup>2</sup> Martijn Dekker,<sup>3</sup> Nancy Kleckner<sup>1</sup>

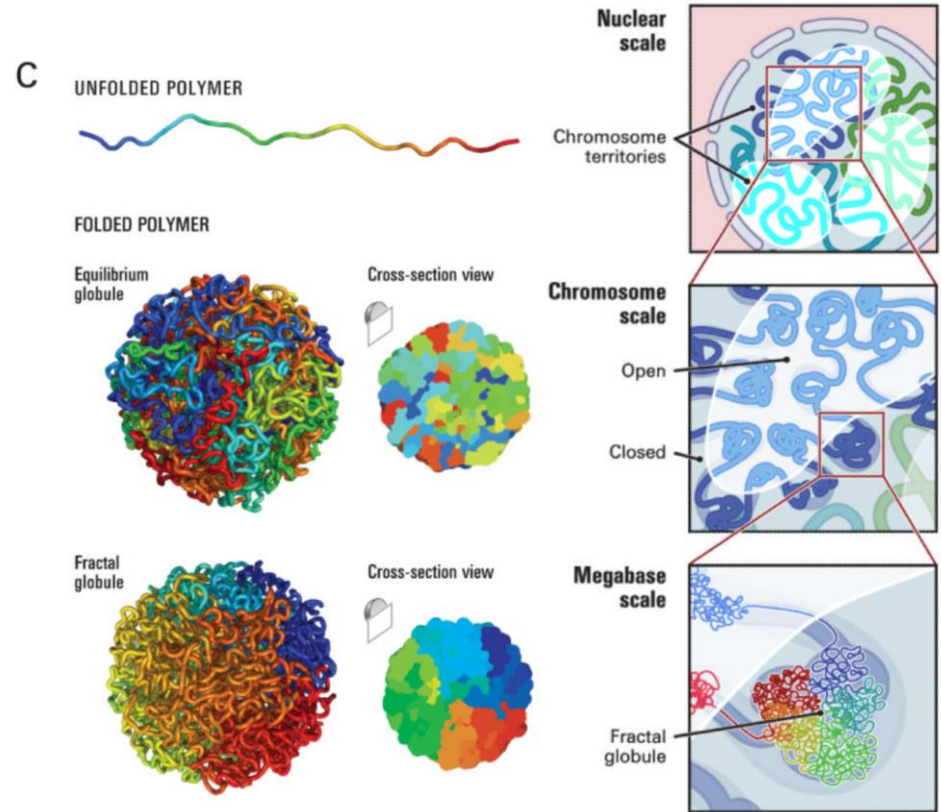
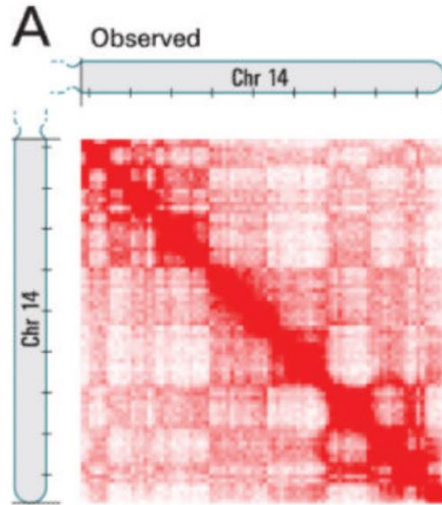
15 FEBRUARY 2002 VOL 295 SCIENCE



# Comprehensive Mapping of Long-Range Interactions Reveals Folding Principles of the Human Genome

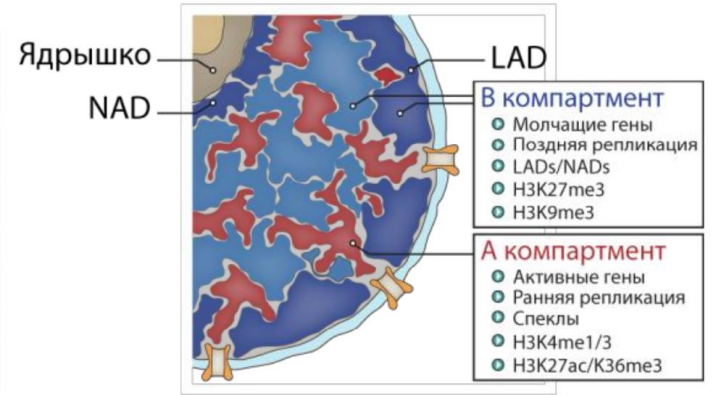
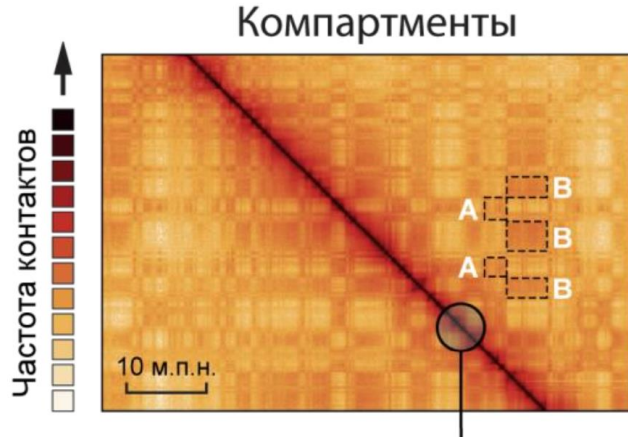
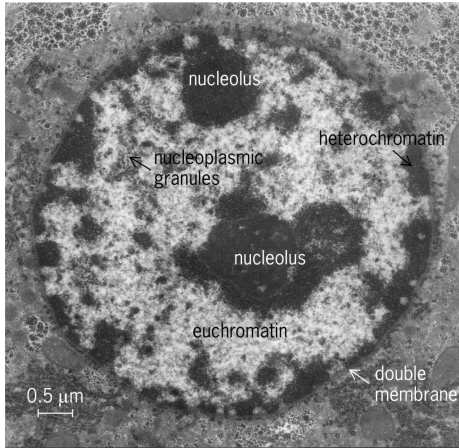
Erez Lieberman-Aiden,<sup>1,2,3,4\*</sup> Nynke L. van Berkum,<sup>5\*</sup> Louise Williams,<sup>1</sup> Maxim Imakaev,<sup>2</sup> Tobias Ragoczy,<sup>6,7</sup> Agnes Telling,<sup>6,7</sup> Ido Amit,<sup>1</sup> Bryan R. Lajoie,<sup>5</sup> Peter J. Sabo,<sup>8</sup> Michael O. Dorschner,<sup>8</sup> Richard Sandstrom,<sup>8</sup> Bradley Bernstein,<sup>1,9</sup> M. A. Bender,<sup>10</sup> Mark Groudine,<sup>6,7</sup> Andreas Gnirke,<sup>1</sup> John Stamatoyannopoulos,<sup>8</sup> Leonid A. Mirny,<sup>2,11</sup> Eric S. Lander,<sup>1,12,13†</sup> Job Dekker<sup>5†</sup>

www.sciencemag.org **SCIENCE** VOL 326 9 OCTOBER 2009





# Концепция : Эу/гетерохроматин, А/В – компартменты

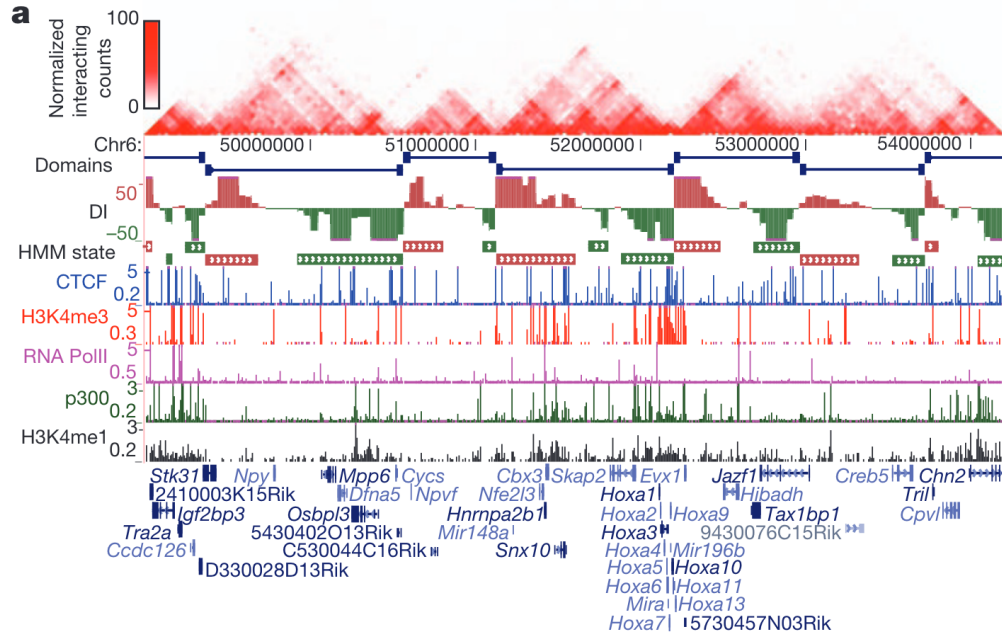


С.В. Ульянов – докторская диссертация 2023 г.

# Topological domains in mammalian genomes identified by analysis of chromatin interactions

Jesse R. Dixon<sup>1,2,3</sup>, Siddarth Selvaraj<sup>1,4</sup>, Feng Yue<sup>1</sup>, Audrey Kim<sup>1</sup>, Yan Li<sup>1</sup>, Yin Shen<sup>1</sup>, Ming Hu<sup>5</sup>, Jun S. Liu<sup>5</sup> & Bing Ren<sup>1,6</sup>

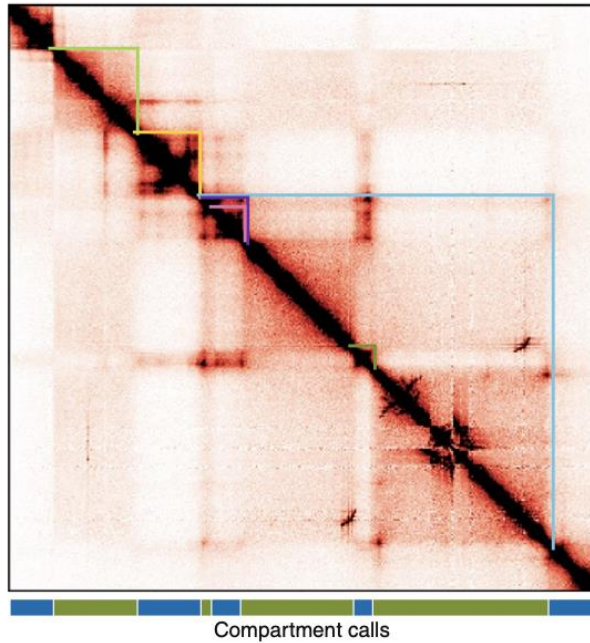
376 | NATURE | VOL 485 | 17 MAY 2012



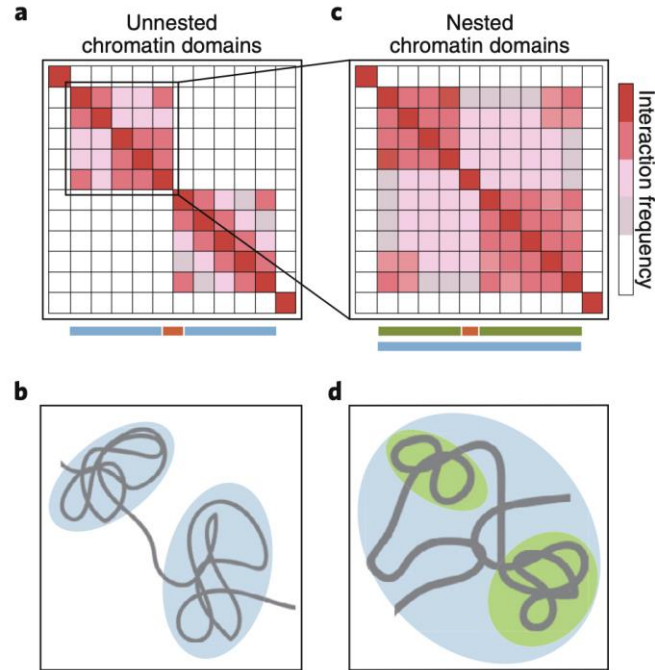
Топологически  
ассоциированные  
домены

topologically associating domain

# Концепция 3: ТАДы – топологически ассоциирующие домены

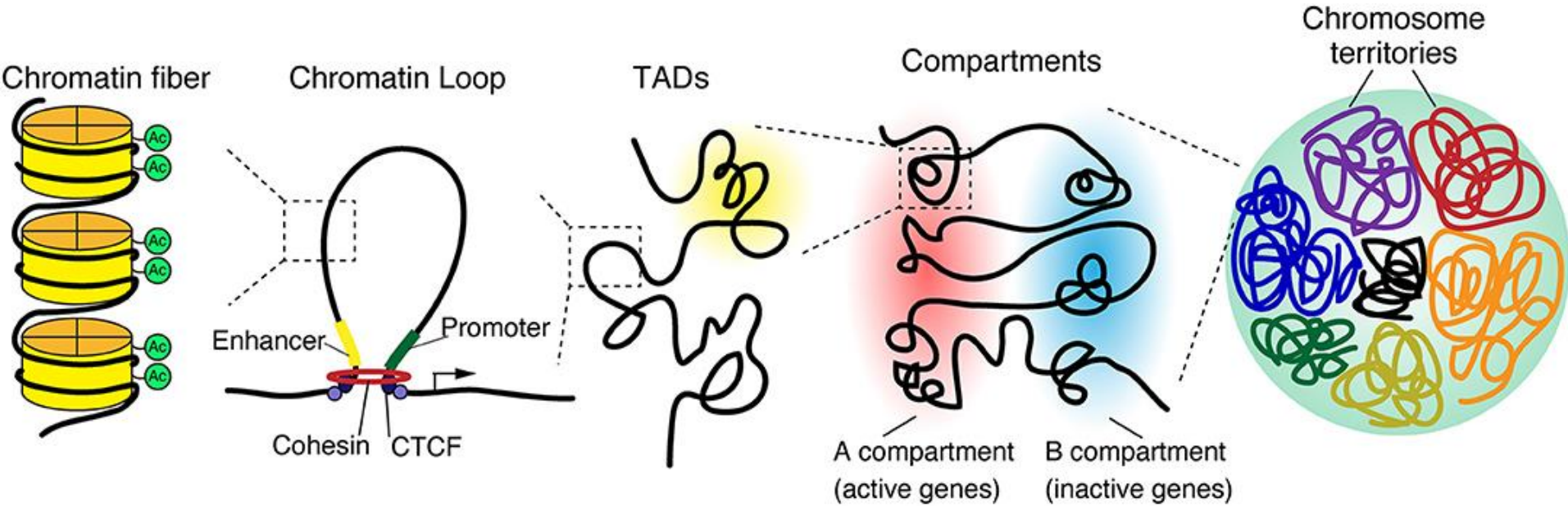


Карта контактов вдоль генома (метод Hi-C)



# Представления о структуре хроматина

## Более современное представление



# Концепция 5: Loop extrusion – экструдия петель

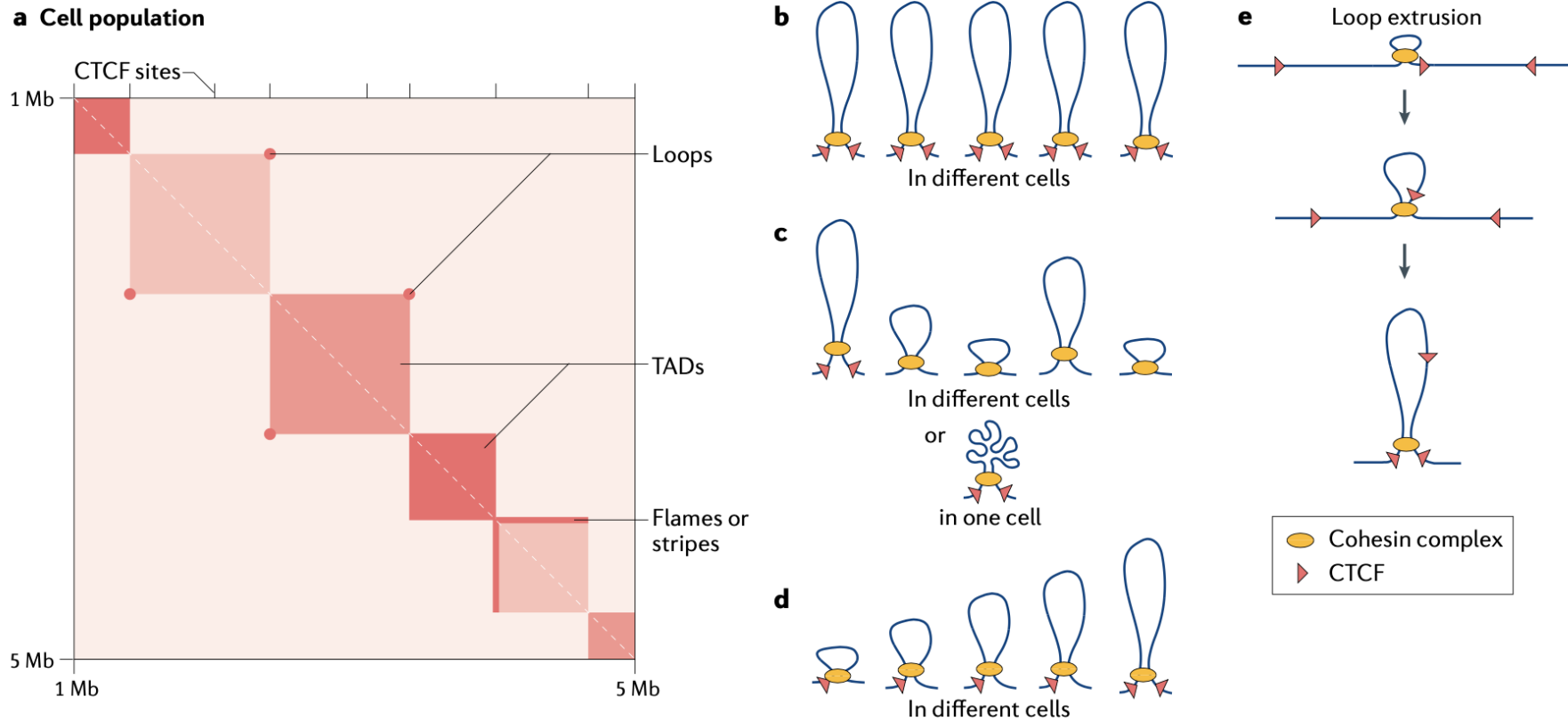
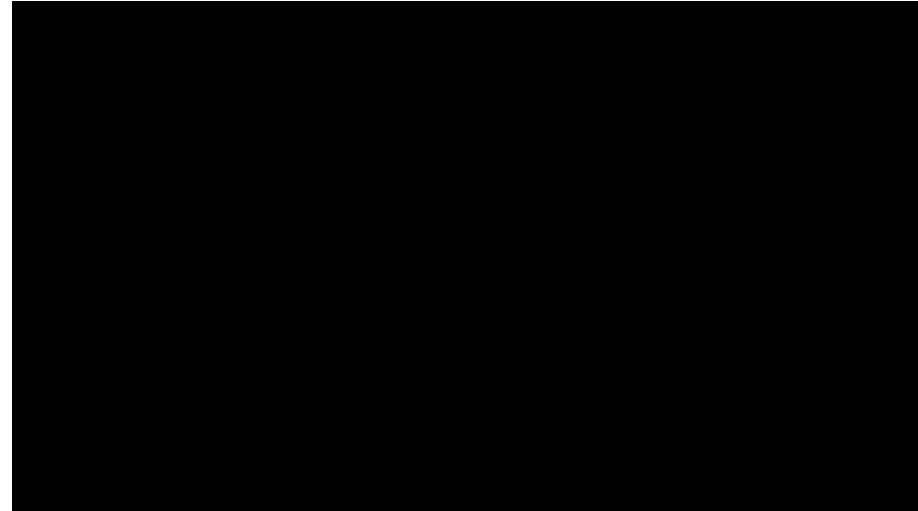
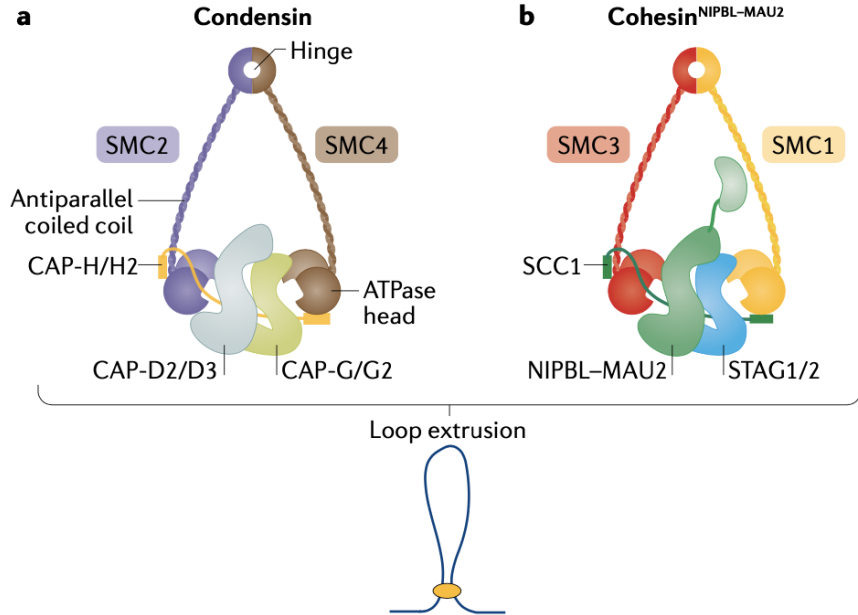


Fig. 1 | **Interphase genome organization. a** | Schematic representation of a Hi-C map depicting the organization, across





# Концепция: Loop extrusion – экструзия петель



HOME > SCIENCE > VOL. 382, NO. 6671 > HOW DO MOLECULAR MOTORS FOLD THE GENOME?

 | **PERSPECTIVE** | HYPOTHESIS

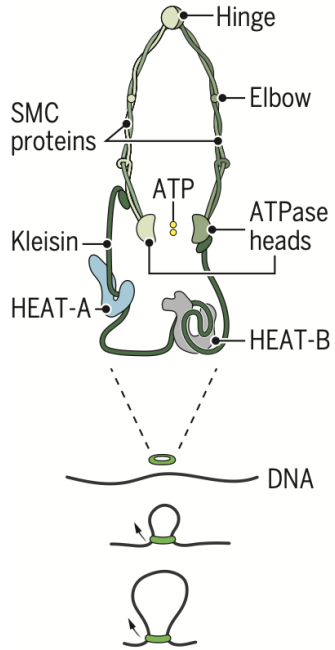
## How do molecular motors fold the genome?

A potential mechanism of DNA loop extrusion by molecular motors is discussed

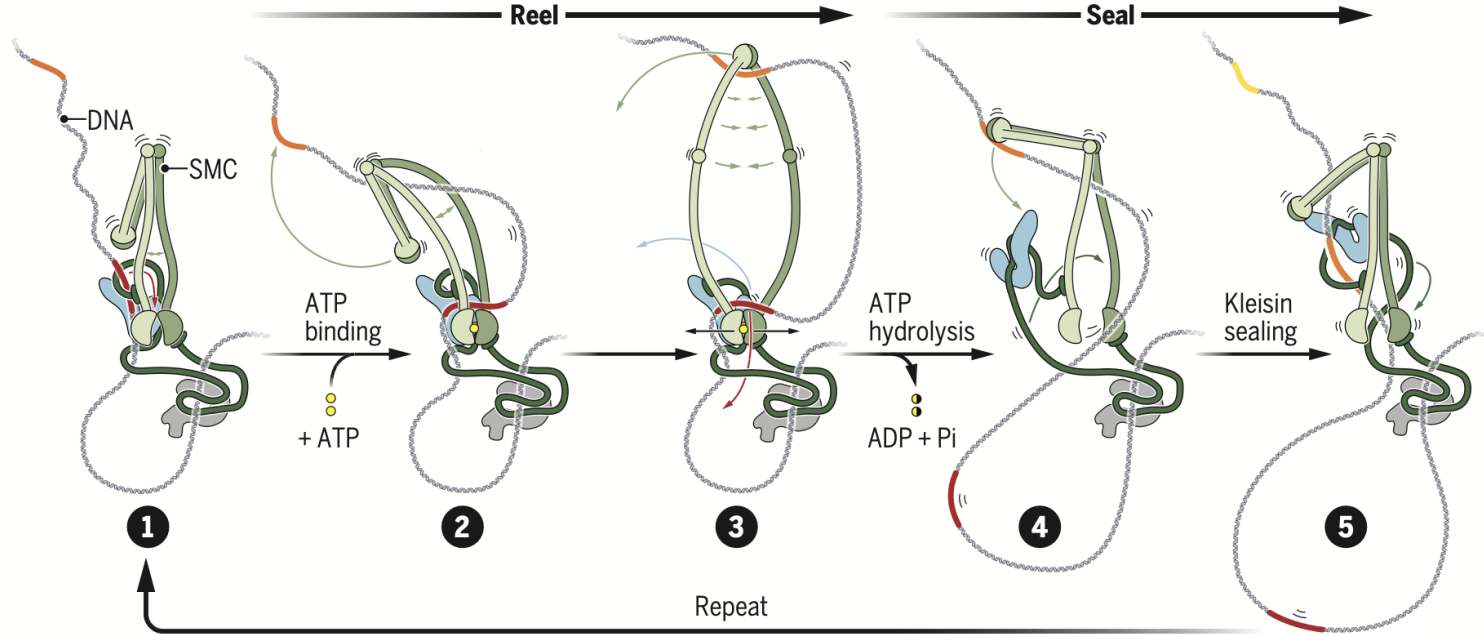
CEES DEKKER, CHRISTIAN H. HAERING, JAN-MICHAEL PETERS, AND BENJAMIN D. ROWLAND [Authors Info & Affiliations](#)

**SCIENCE** • 9 Nov 2023 • Vol 382, Issue 6671 • pp. 646-648 • DOI: [10.1126/science.adi8308](https://doi.org/10.1126/science.adi8308)

## Structure of SMC complex



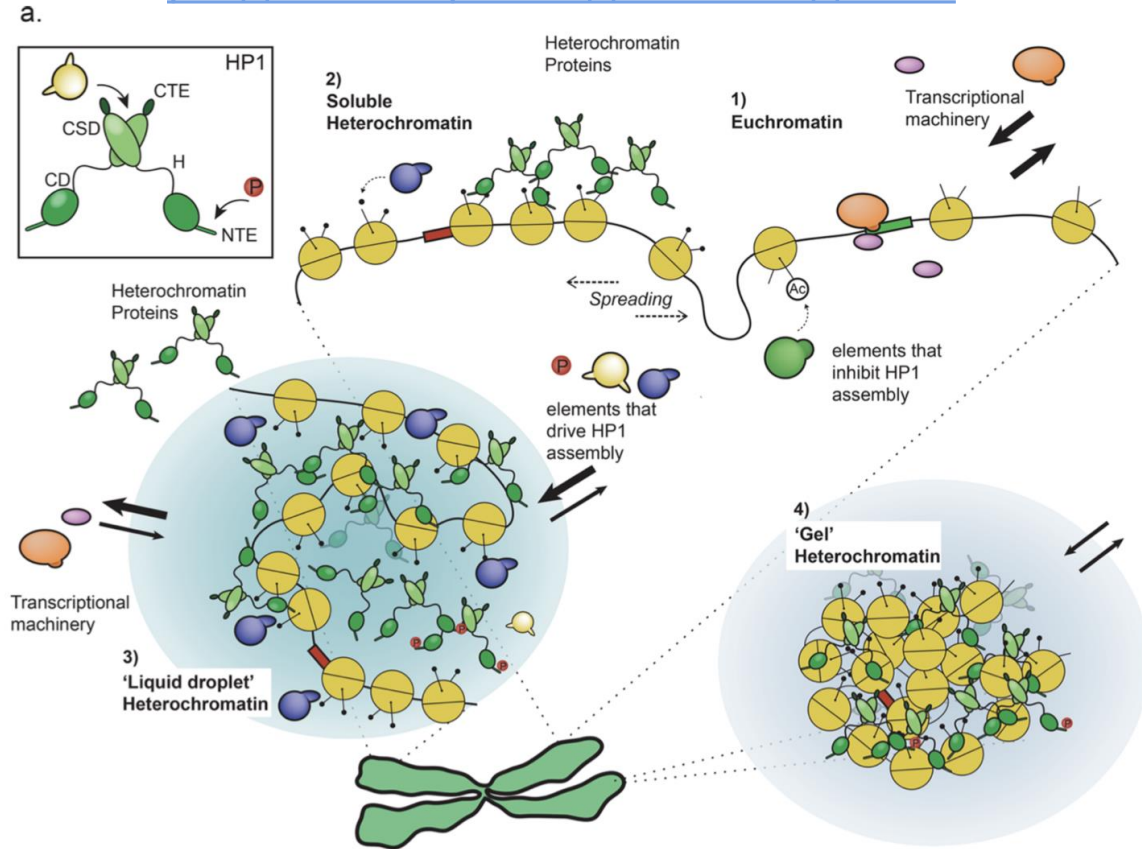
## Putative “reel-and-seal” model for DNA loop extrusion



ADP, adenosine diphosphate; ATP, adenosine triphosphate; NCAPD2, non-SMC condensin subunit D2; NCAPD3, non-SMC condensin subunit D3; NCAPG, non-SMC condensin subunit G; NCAPG2, non-SMC condensin subunit G2; NIPBL, nipped-B-like protein; Pi, inorganic phosphate; SMC, structural maintenance of chromosomes complex; STAG1, cohesin subunit SA-1; STAG2, cohesin subunit SA-2.

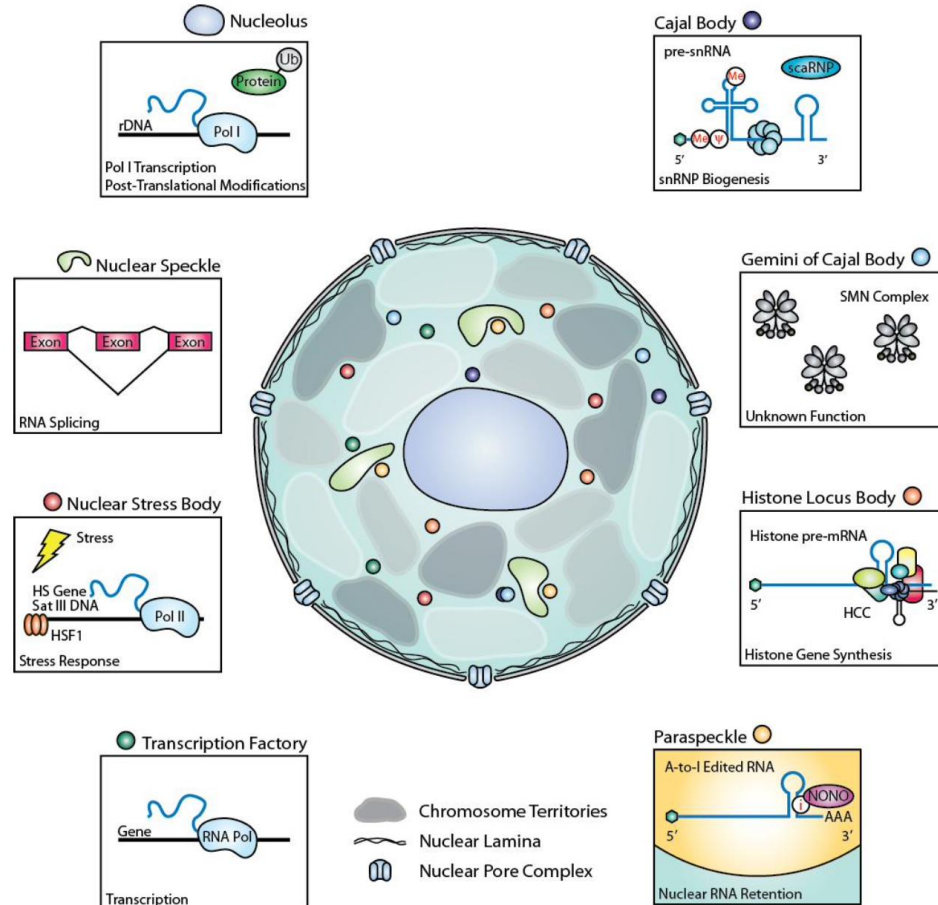
# Концепция 2: "Жидкие капли"

## разделение фаз жидкость-жидкость

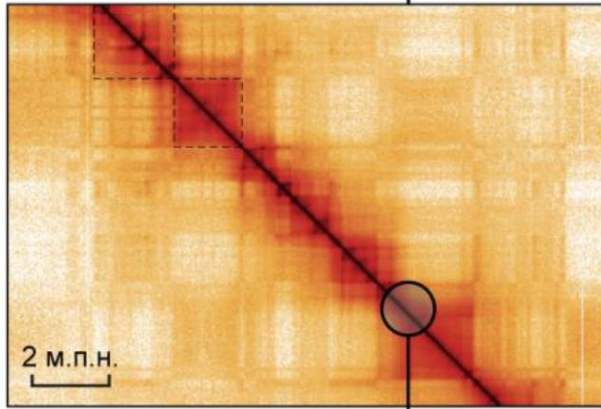




# В формировании немембранных органелл важную роль играют статистические физические взаимодействия (разделение фаз)

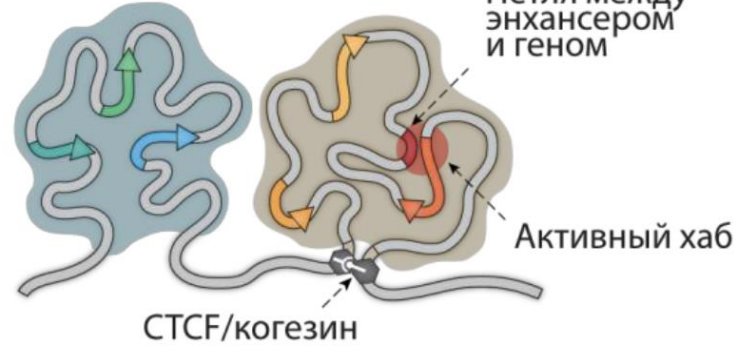


ТАДы

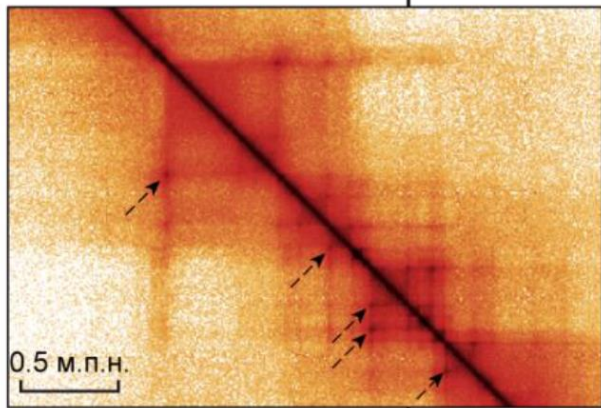


ТАД1

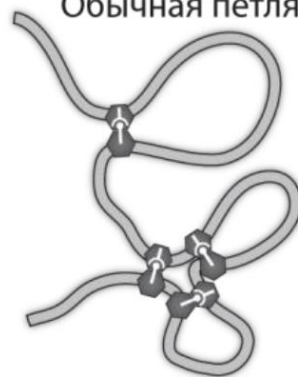
ТАД2



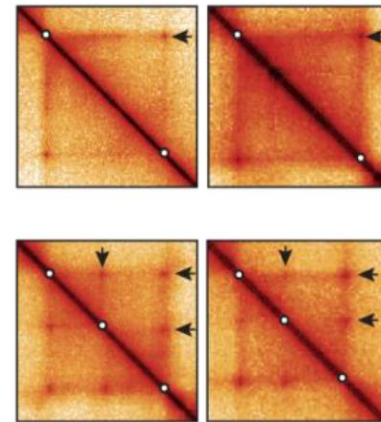
Петли



Обычная петля

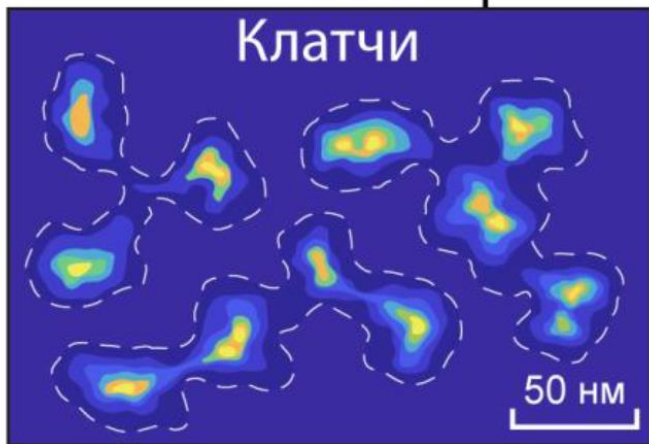
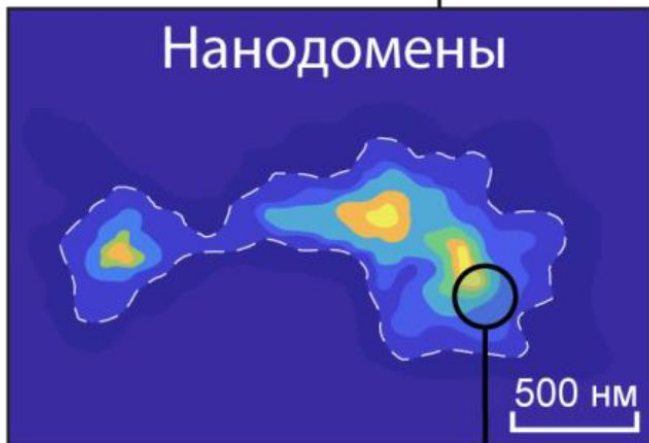


Вложенные петли

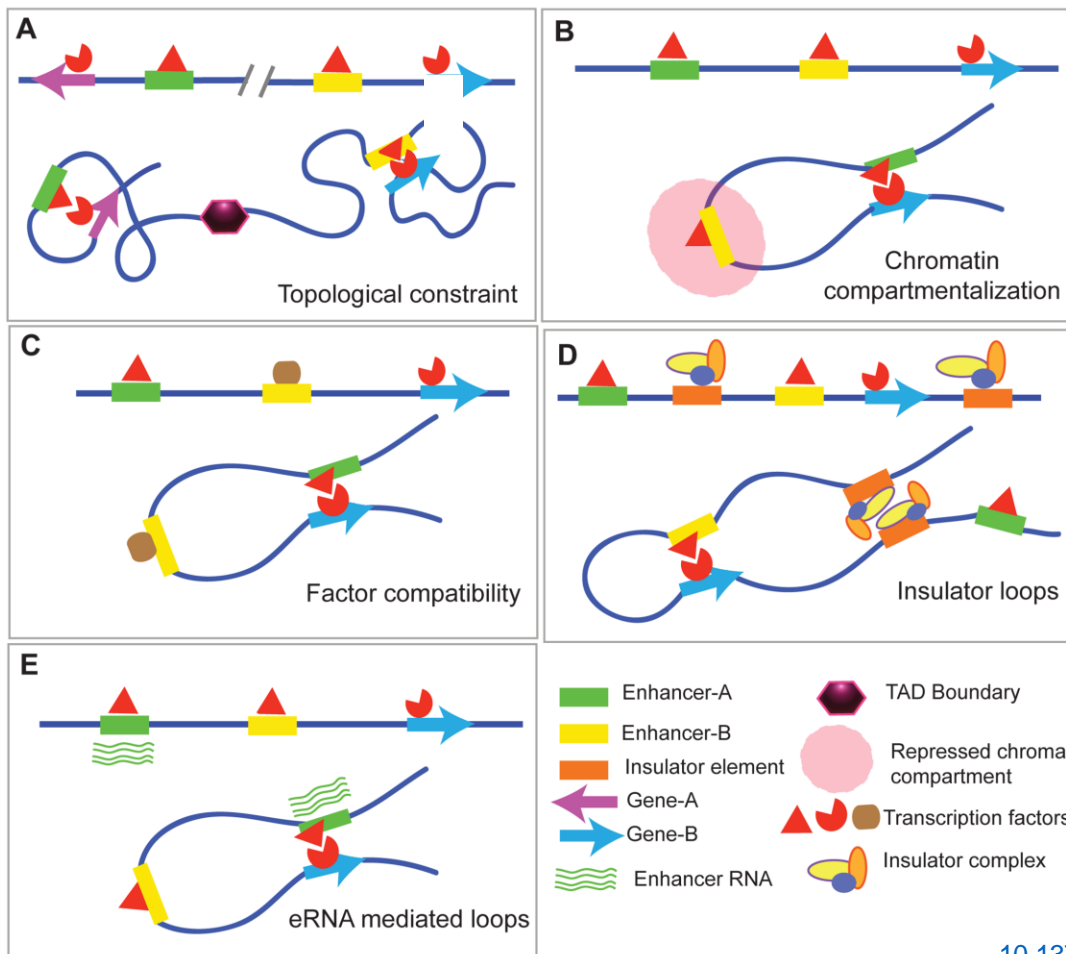


С.В. Ульянов – докторская диссертация 2023 г.

Интенсивность сигнала ↑



# Концепция: "Петли", топология и взаимодействия элементов вдоль ДНК



# Эпигенетика и ее механизмы

# Содержание лекции

- История вопроса. К. Уаддингтон.
- ДНК метилирование. Эффекты. Ферменты. Промотеры и CpG островки. Мутации. Наследование. Импринтинг.
- ПТМ гистонов. Цвета хроматина.
- Ацетилирование, метилирование. Ингибиторы.
- Шапероны гистонов.
- Ремоделлеры. pBAF.
- Сопряжение меток и метилирования. CoREST?
- Спрэддинг гетерохроматина. Границы.
- Расположение нуклеосом. +1 нуклеосомы.

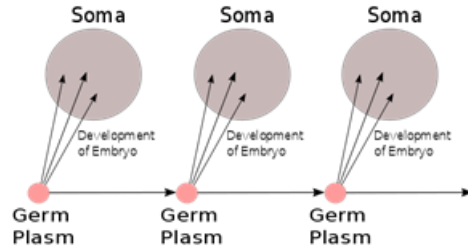
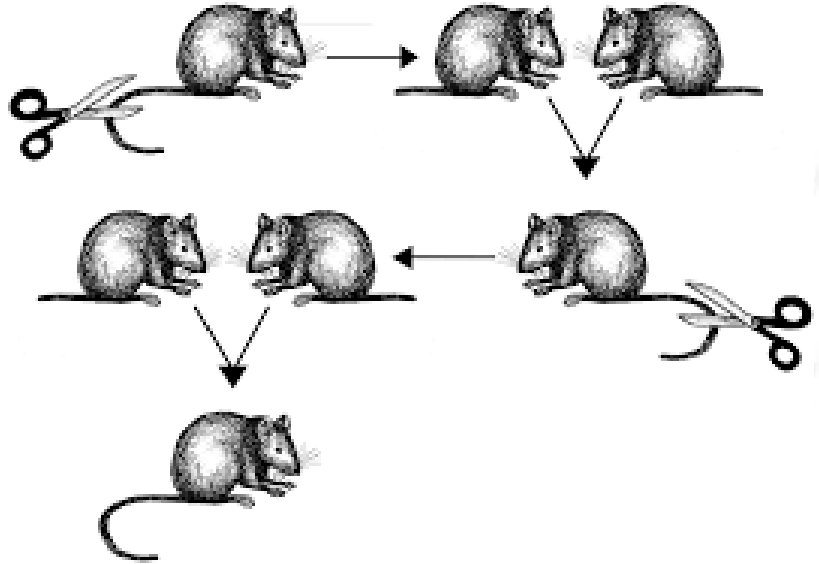


# Эпигенетика

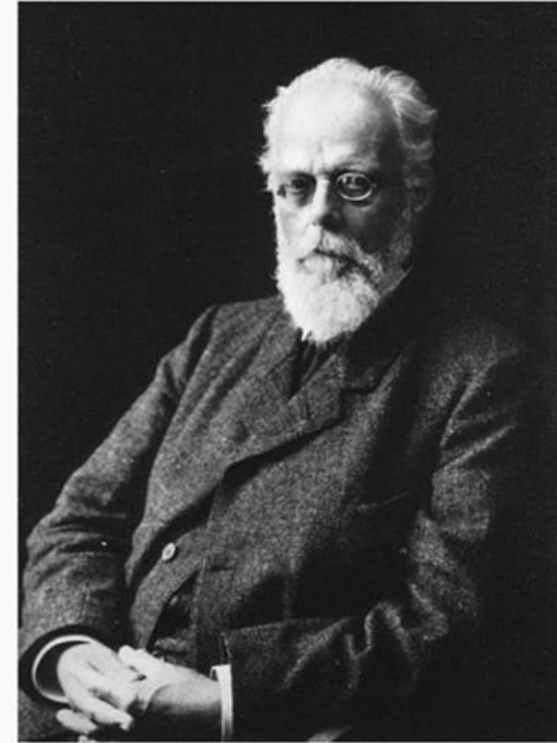
- Epigenetics (also sometimes called epigenomics) is a field of study focused on changes in DNA that do not involve alterations to the underlying sequence. The DNA letters and the proteins that interact with DNA can have chemical modifications that change the degrees to which genes are turned on and off. Certain epigenetic modifications may be passed on from parent cell to daughter cell during cell division or from one generation to the next. The collection of all epigenetic changes in a genome is called an epigenome. (NHGRI)

др.-греч. ἐπι- — приставка, обозначающая пребывание на чём-либо или помещение на что-либо

# История вопроса



August Weismann

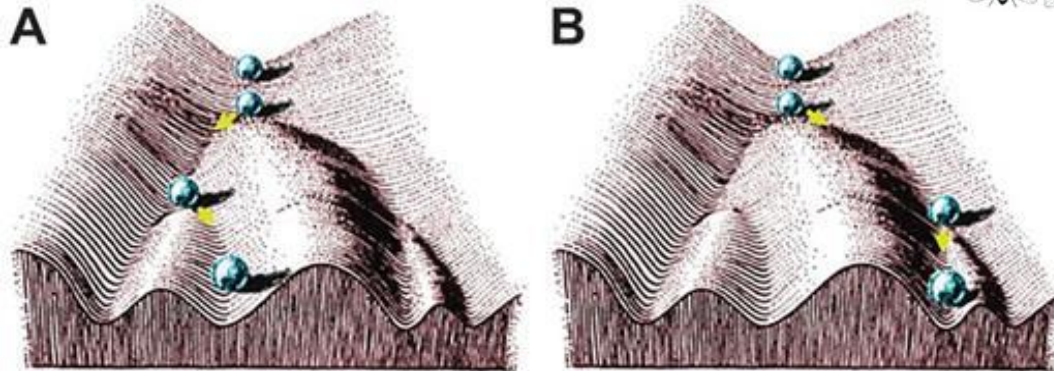
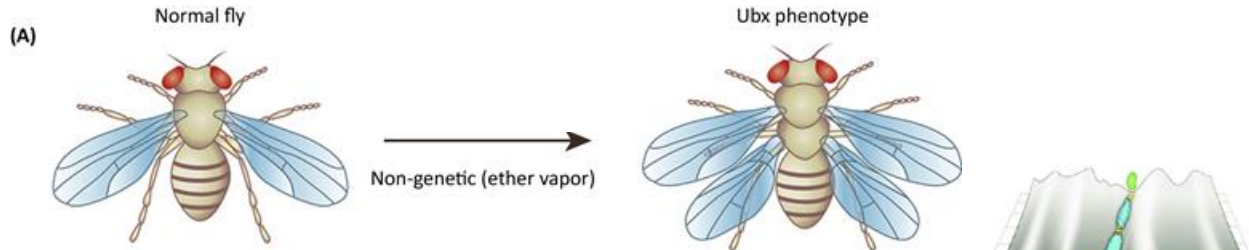


**Born** 17 January 1834  
Frankfurt am Main, Germany

**Died** 5 November 1914 (aged 80)  
Freiburg, Germany

**Known for** germ plasm theory

# История вопроса



Понятие эпигенетического ландшафта развития, фенотипической пластичности, эпигенетического наследования, генетической ассимиляции

Conrad Hal Waddington

CBE FRS FRSE



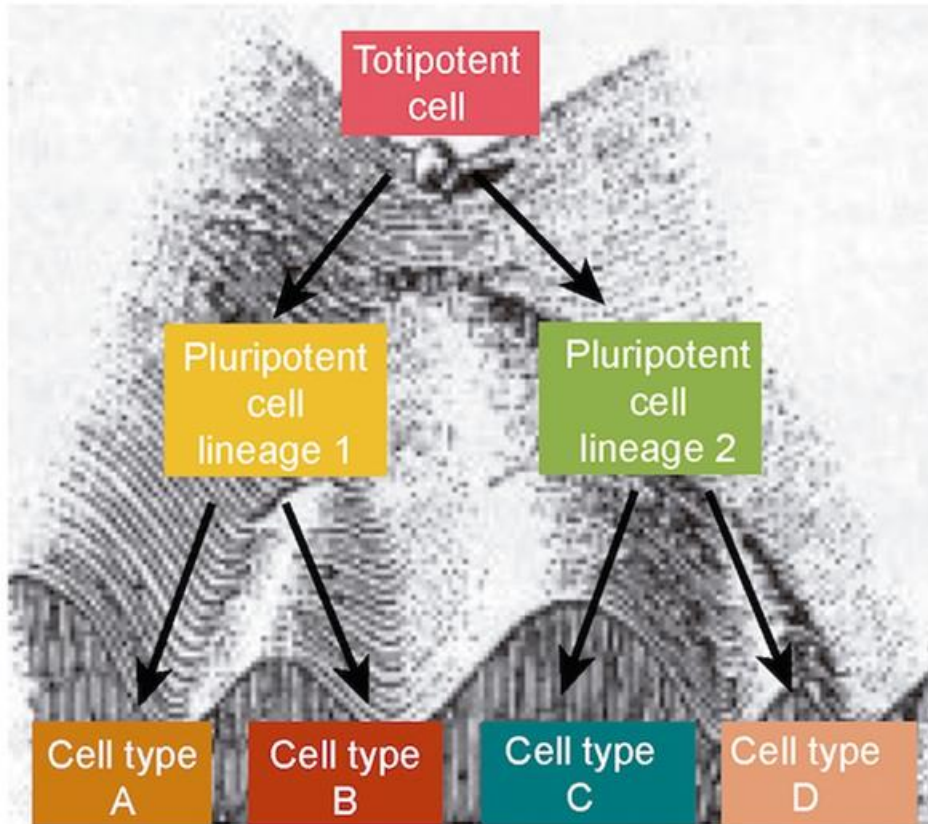
Conrad Hal Waddington in 1934

**Born** 8 November 1905  
Evesham, Worcestershire,  
England

**Died** 26 September 1975 (aged 69)  
Edinburgh, Scotland

[10.1242/jeb.120071](https://doi.org/10.1242/jeb.120071)

## Multicellular eukaryote



## Открыта мемориальная доска памяти сотрудников факультета, пострадавших за свои научные убеждения в 1948 году

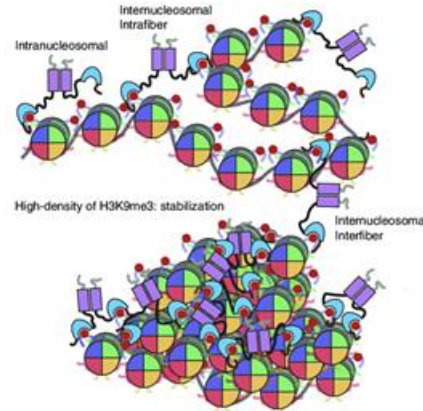
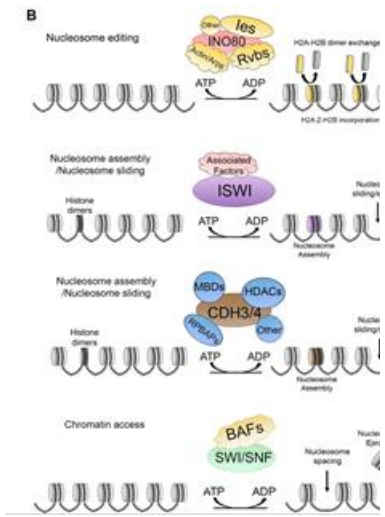
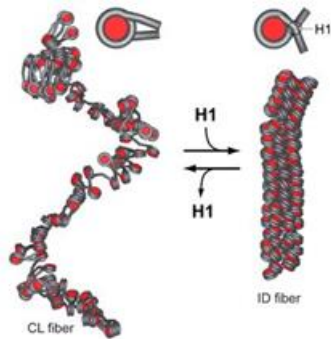
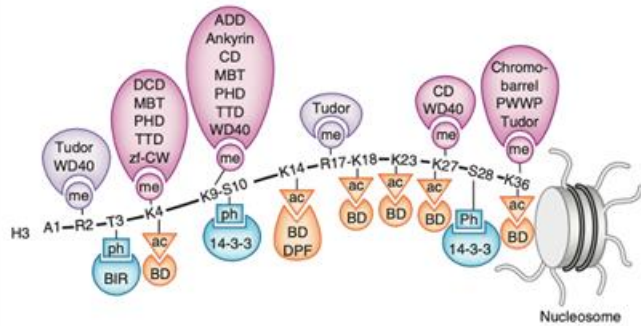
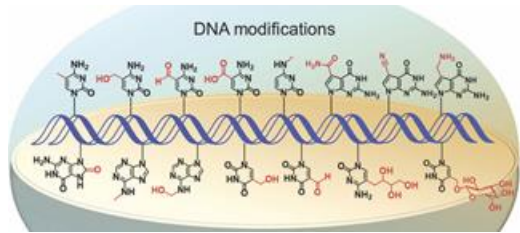
24 ноября на биологическом факультете состоялось большое событие. Торжественно была открыта мемориальная доска памяти сотрудников факультета, пострадавших за свои научные убеждения в 1948 году.



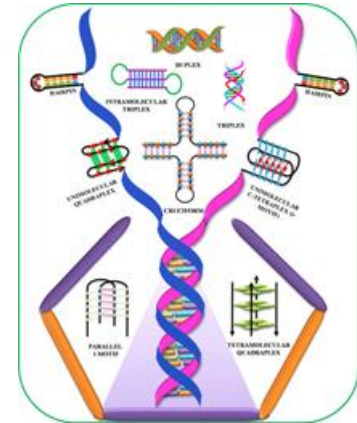
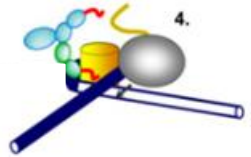
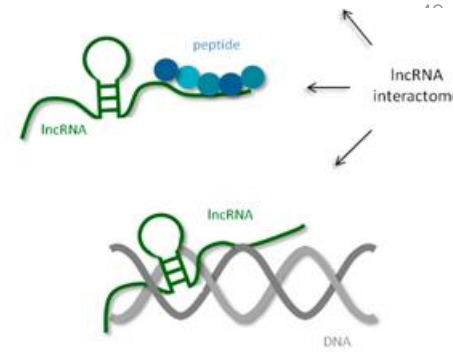
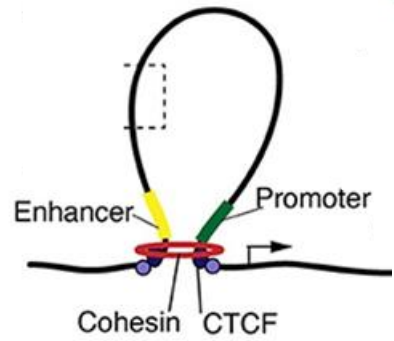
# Молекулярные механизмы эпигенетики

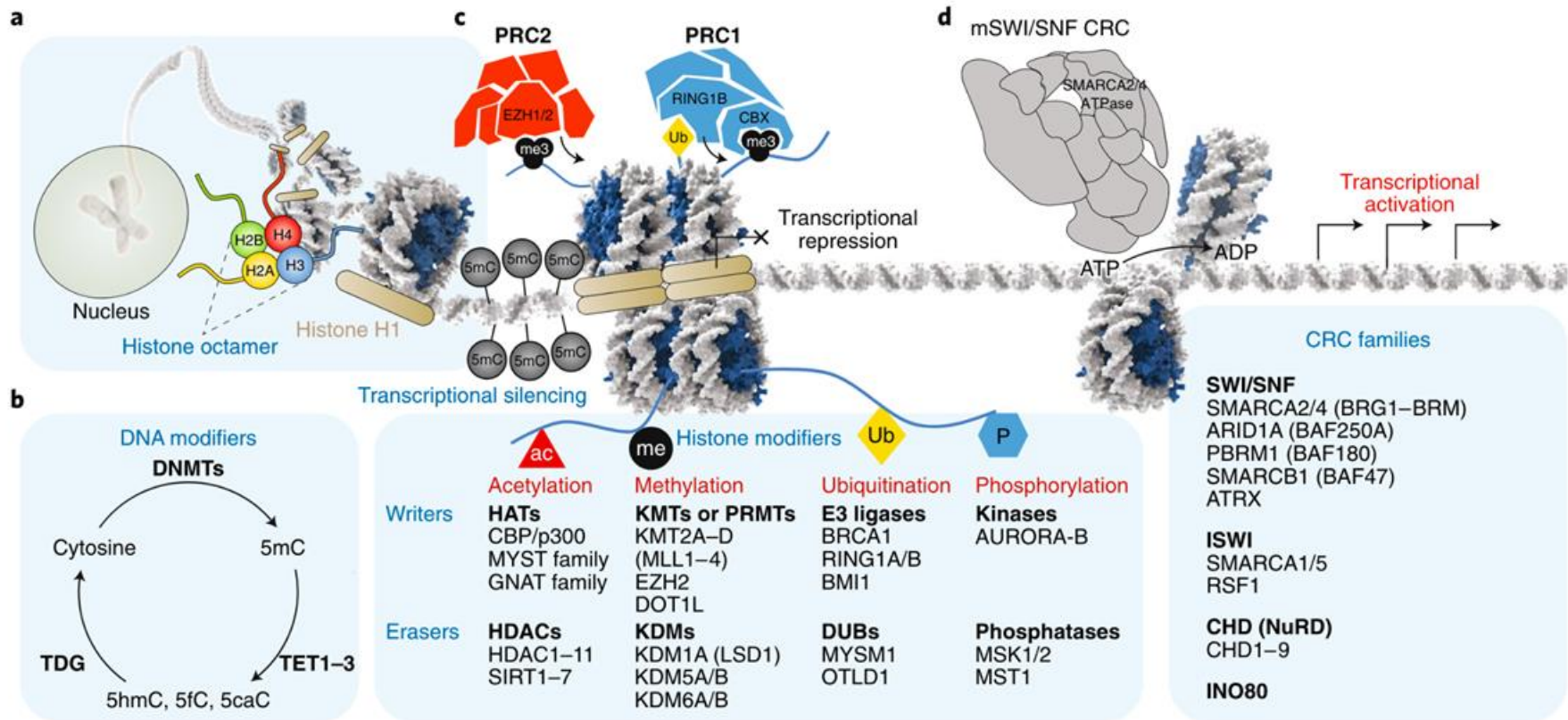






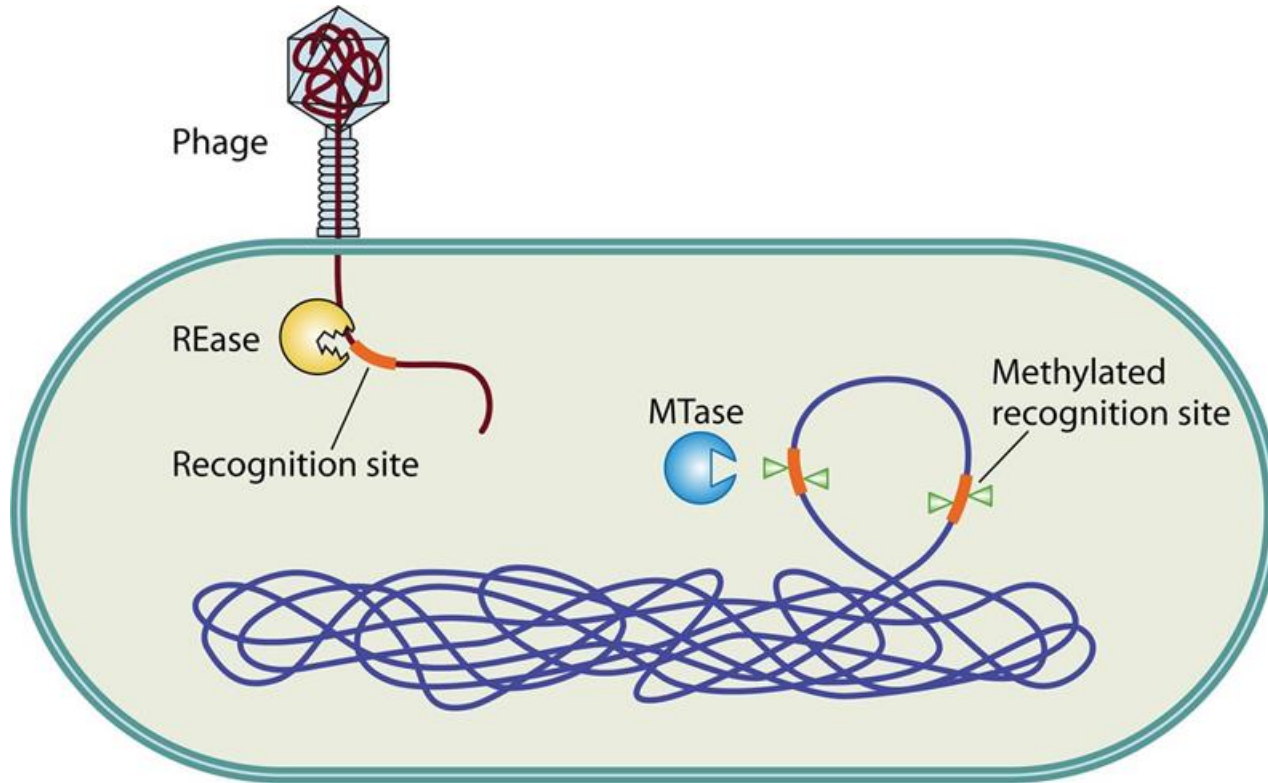
### Chromatin Loop





**1 | Chromatin regulatory processes in mammalian cells.** **a**, DNA is wrapped around a histone octamer containing two copies each of histones H2A,

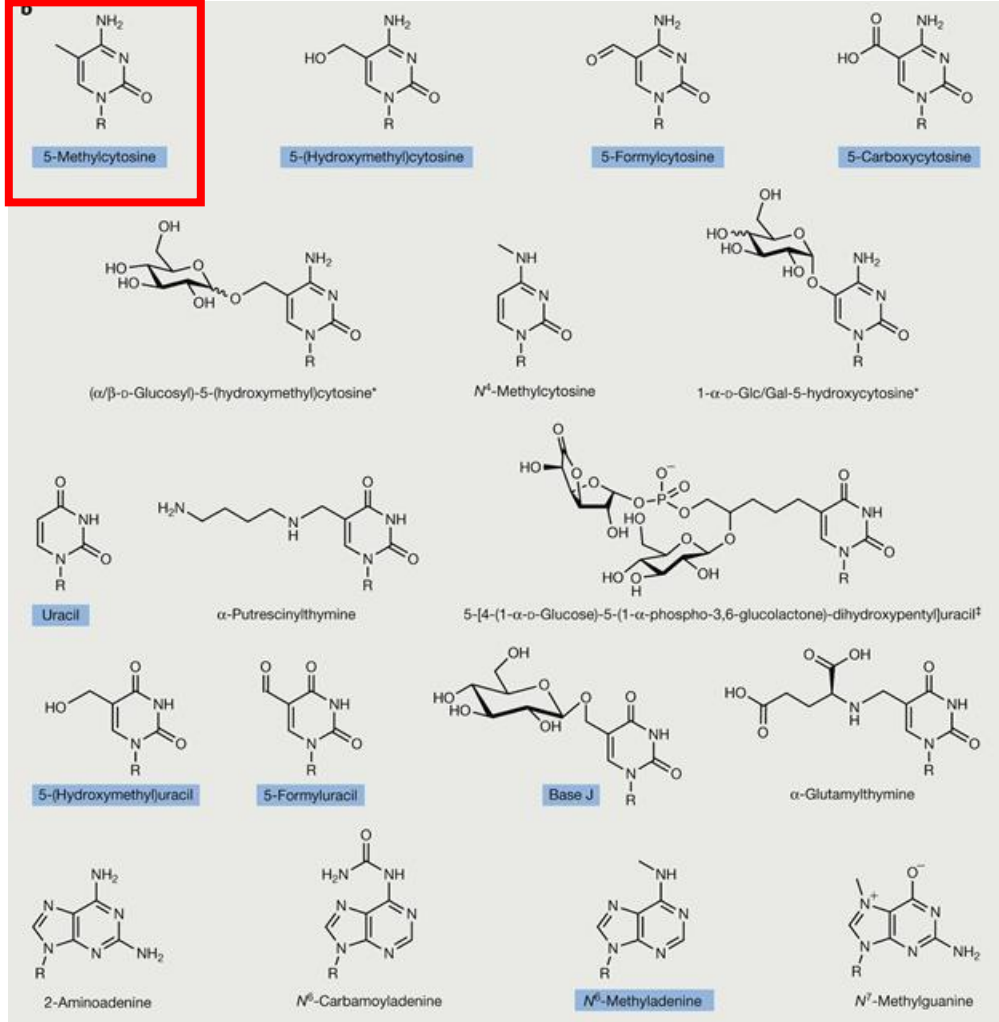
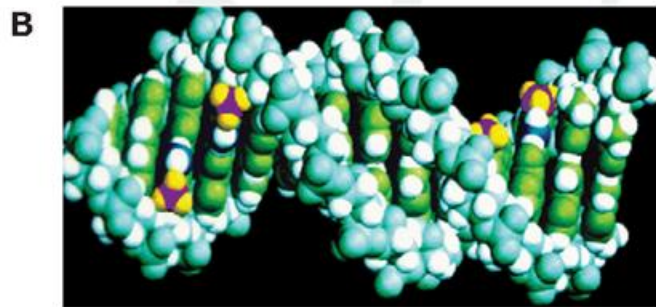
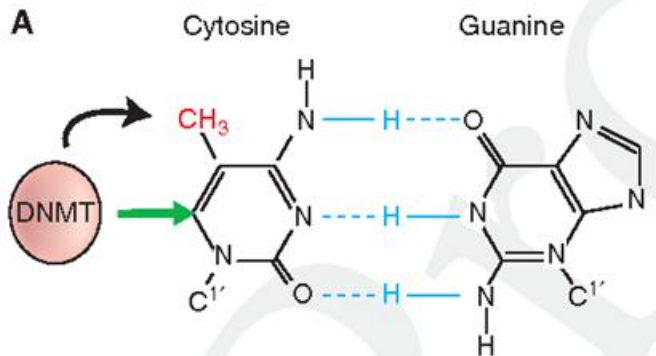
# Системы рестрикции-модификации в бактериях



1960-ые годы



# Метилирование ДНК



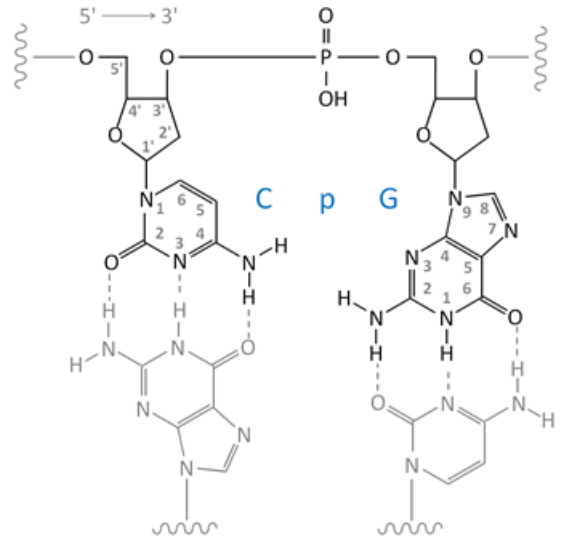
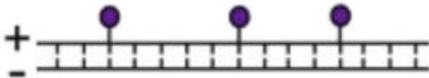


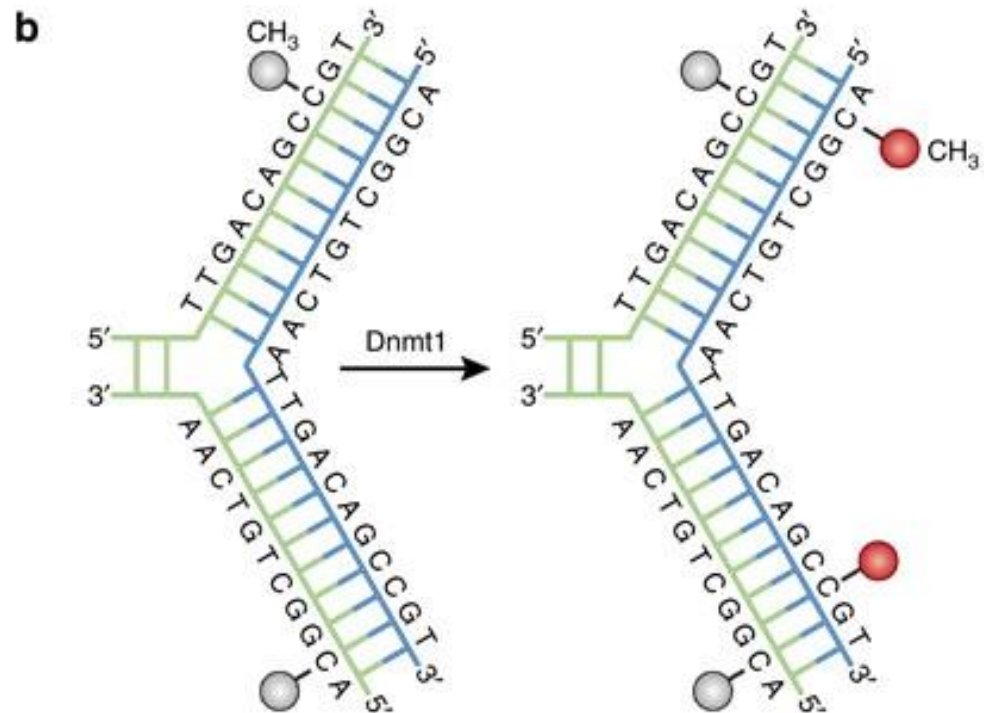
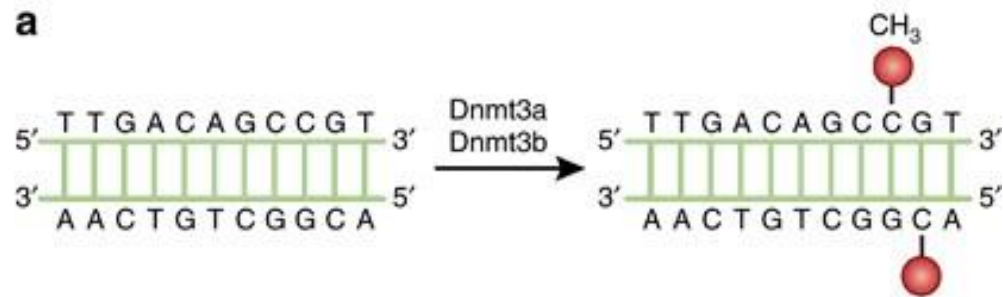
# Метилирование ДНК у млекопитающих -- история

- 1970-ые: Метилирование распределено неравномерно по геному, разное в разных тканях, мешает транскрипции генов
- 1980-ые: метилирование идет в контексте CpG, они распределены неравномерно, существуют островки CpG, открыты ферменты – метилтрансферазы. Метилирование промотеров подавляет транскрипцию.
- 1990-ые: открыты белки узнающие метилированную ДНК, открыты де ново метил трансферазы
- 2000-ые: Большинство промотеров не регулируется посредством метилирования – для понимания регуляции генов необходимо рассматривать метилирование во взаимодействии с модификациями гистонов. Транспозоны активно регулируются метилированием ДНК.

# CpG

- Метилирование у млекопитающих идет в контексте CpG





# ДНК метилтрансферазы

m6A - those that generate **N6-methyladenine** EC 2.1.1.72 [↗](#)

m4C - those that generate **N4-methylcytosine** EC 2.1.1.113 [↗](#)

m5C - those that generate **C5-methylcytosine** EC 2.1.1.37 [↗](#)

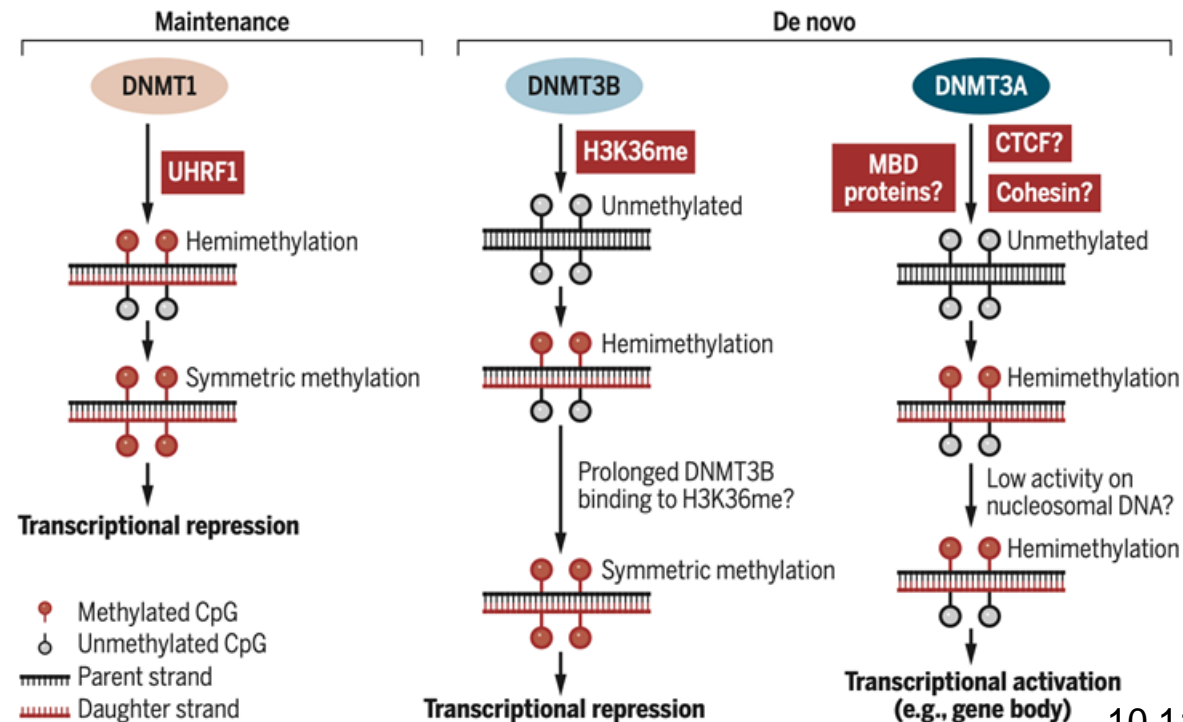
mC5 ДНК метилтрансферазы человека:

1. DNMT1
2. DNMT3a1, DNMT3a2
3. DNMT3b
4. DNMT3c (в половых клетках?)
5. DNMT3L (вспомогательная функция к DNMT3a)

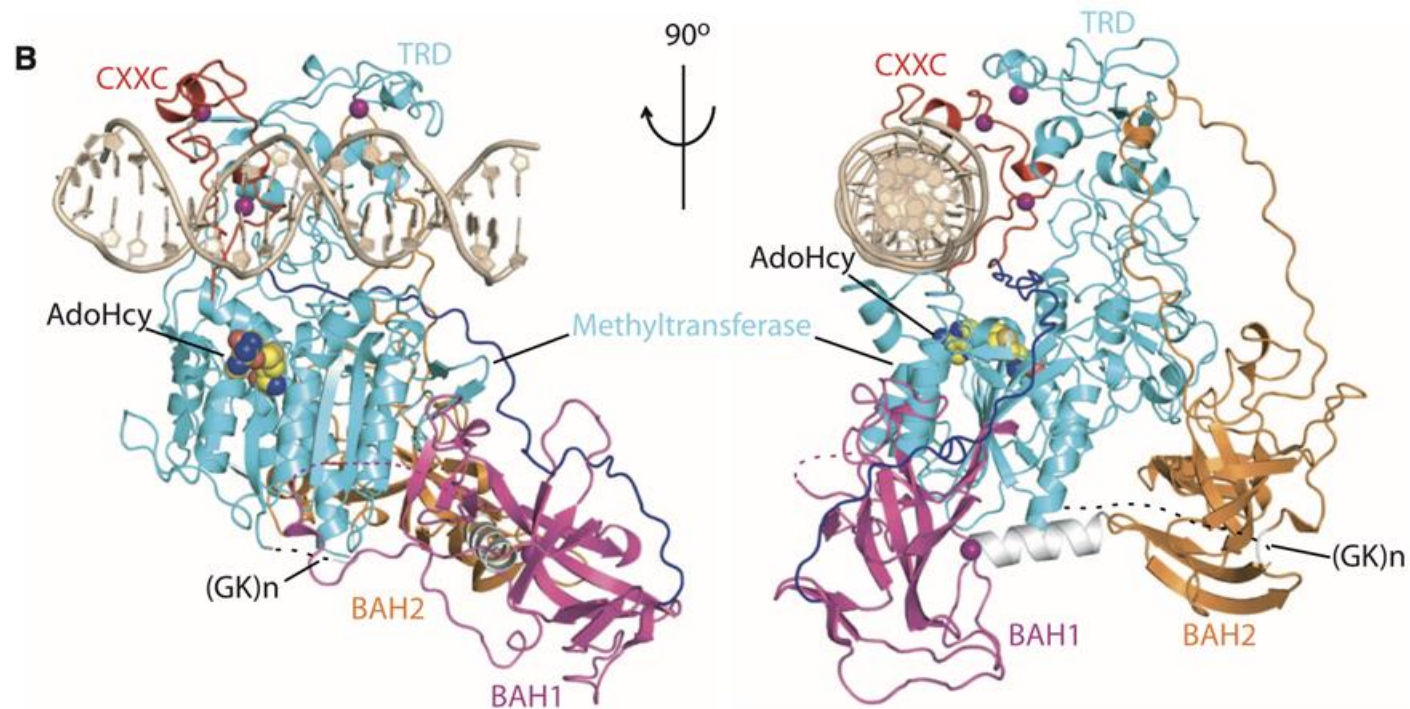
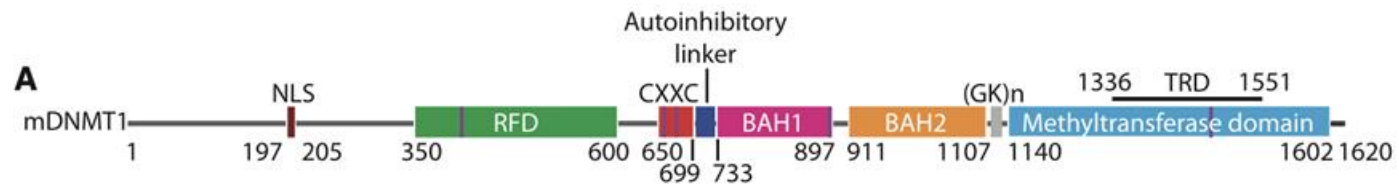
## The fate of hemimethylated DNA

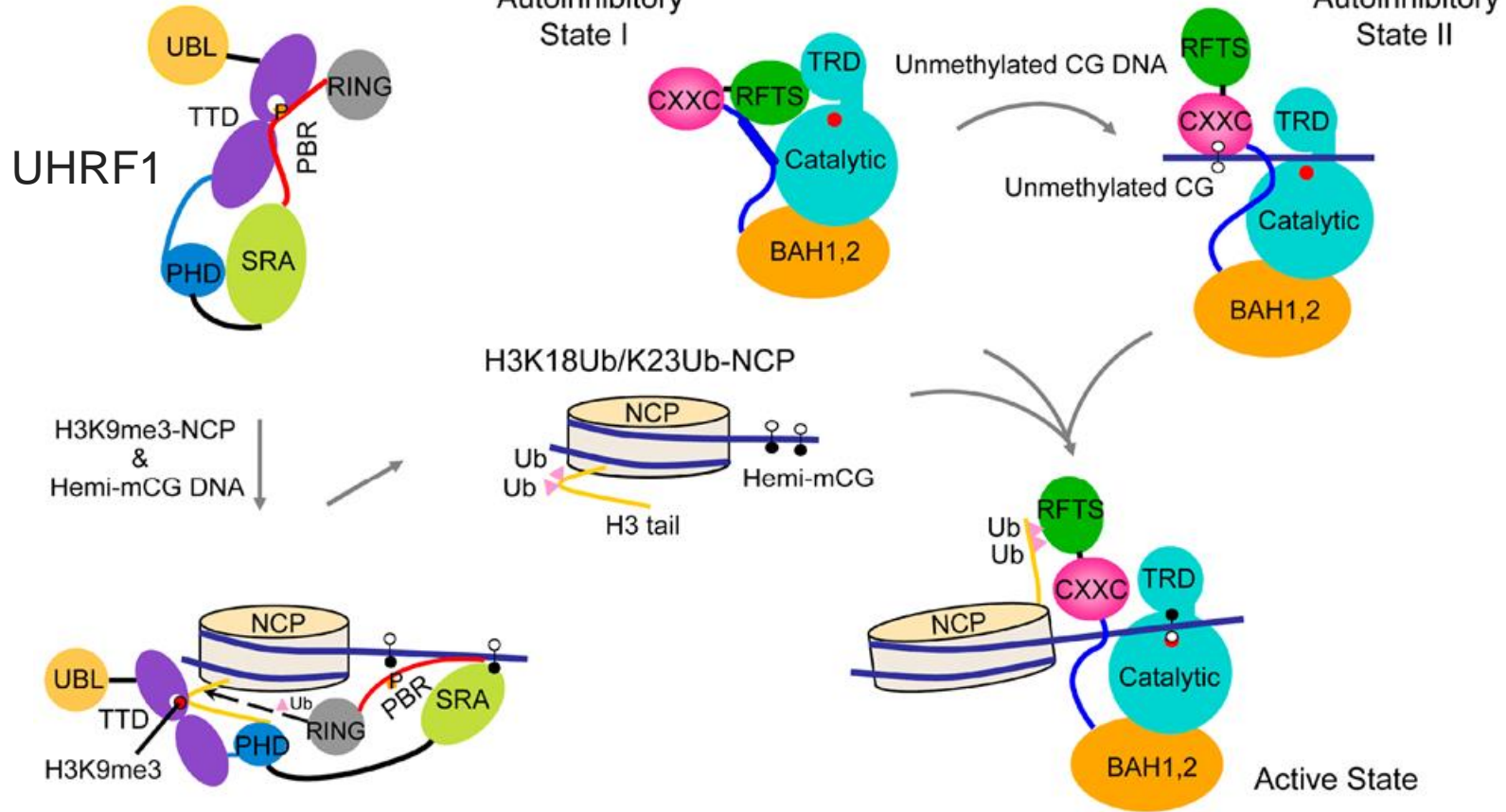
After DNA replication, hemimethylated CpGs are converted to symmetrical methylation by DNMT1.

De novo symmetric methylation by DNMT3B is possibly mediated by H3K36me binding. DNMT3A maintains hemimethylated DNA at specific loci, potentially marked by CTCF-cohesin and MBD proteins.





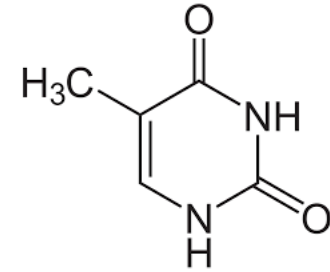
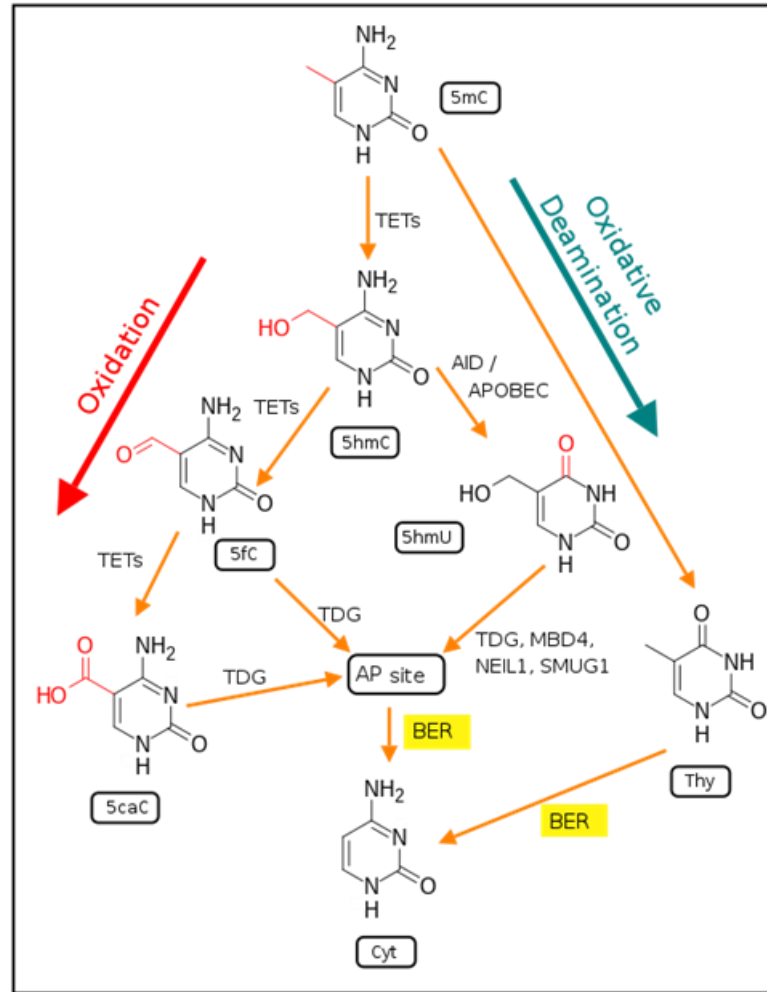




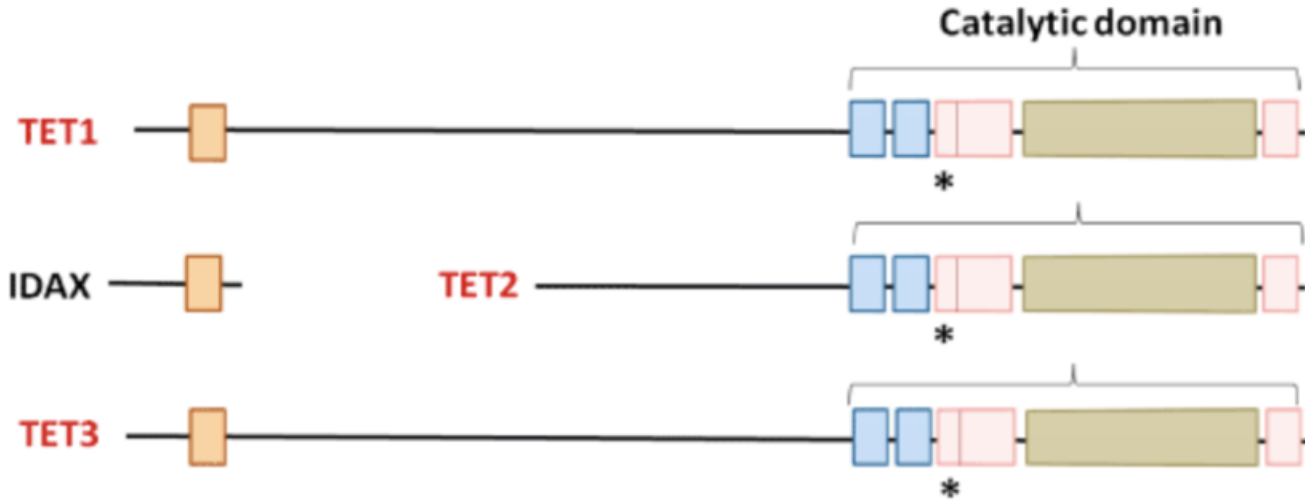
# Деметилирование

Ten-eleven translocation (Tet) proteins catalyze 5-methylcytosine (5mC) conversion to 5-hydroxymethylcytosine (5hmC)

Thymine-DNA glycosylase (TDG)

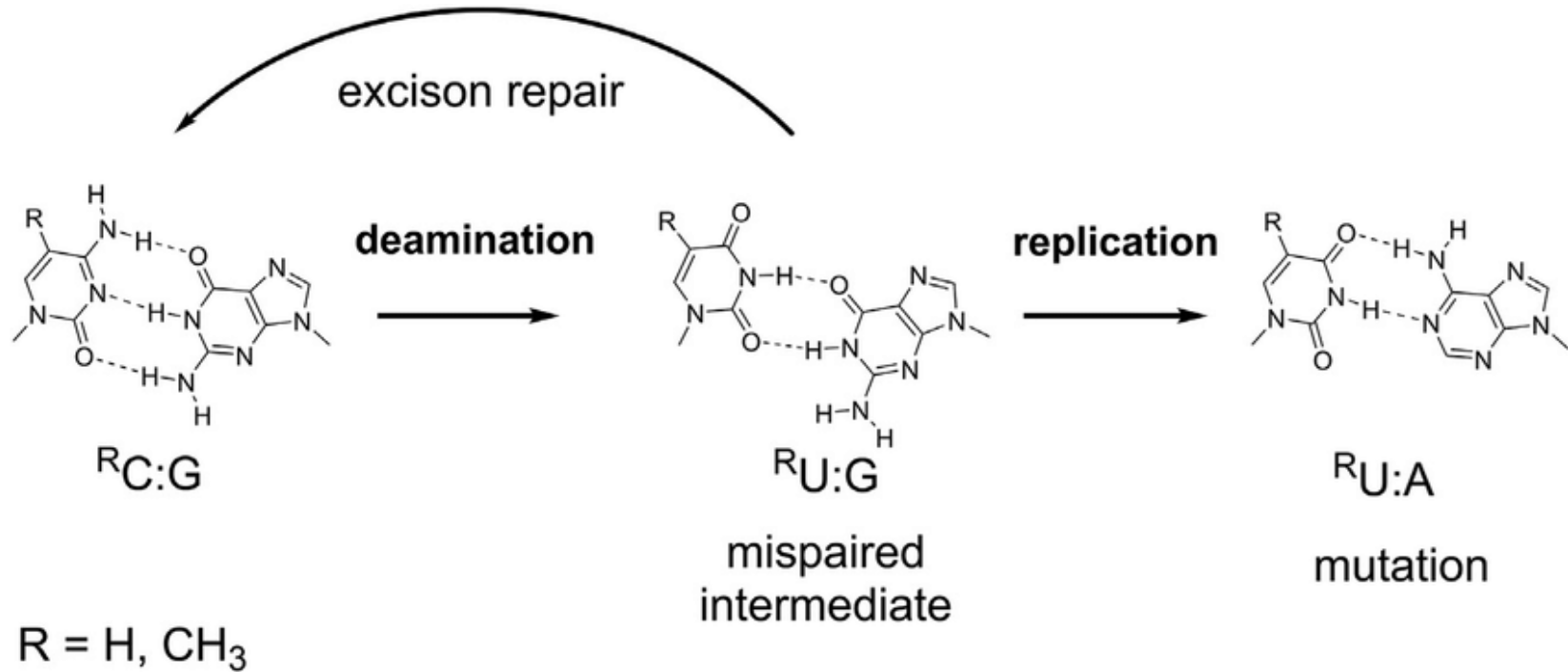


thymine



CXXC (binding to CpG Island)
  Cys-rich (Methyl-C dioxygenase activity)
  DSBH (Methyl-C dioxygenase activity)
  Spacer (unknown function)
 \* Fe(II) Interacting

# СрG и мутации (C>T)



# Распределение CpG

- У человека GC-состав ~40%. Теоретическая вероятность CpG  $0.2*0.2=0.04$
- Реальная встречаемость CpG 1%.
- У млекопитающих, 70% - 80% CpG сайтов метилировано
- У человека около 70% промоторов, расположенных около сайта начала транскрипции содержат CpG островки (island).

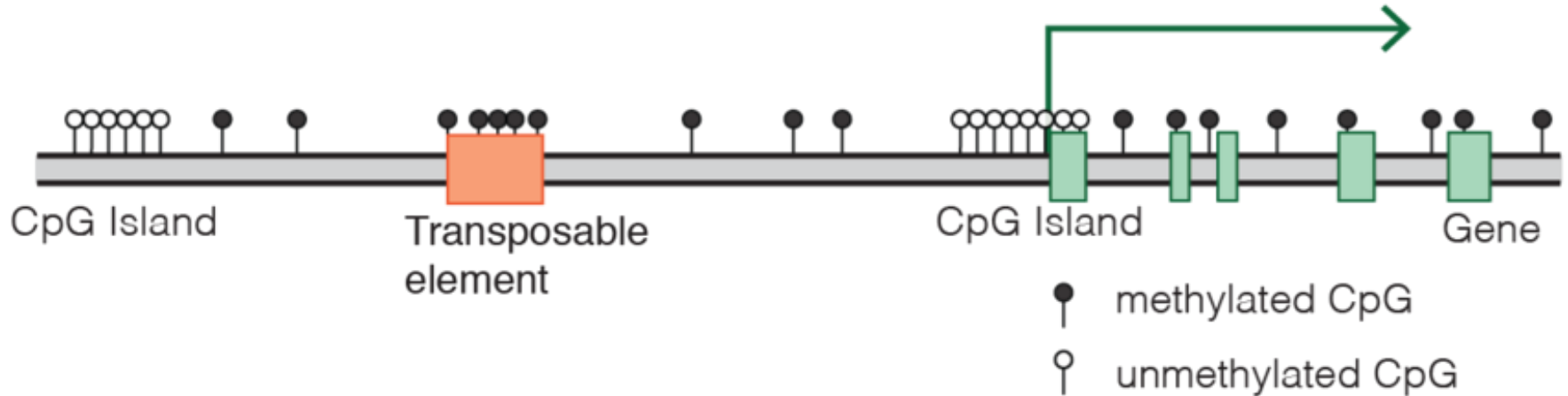


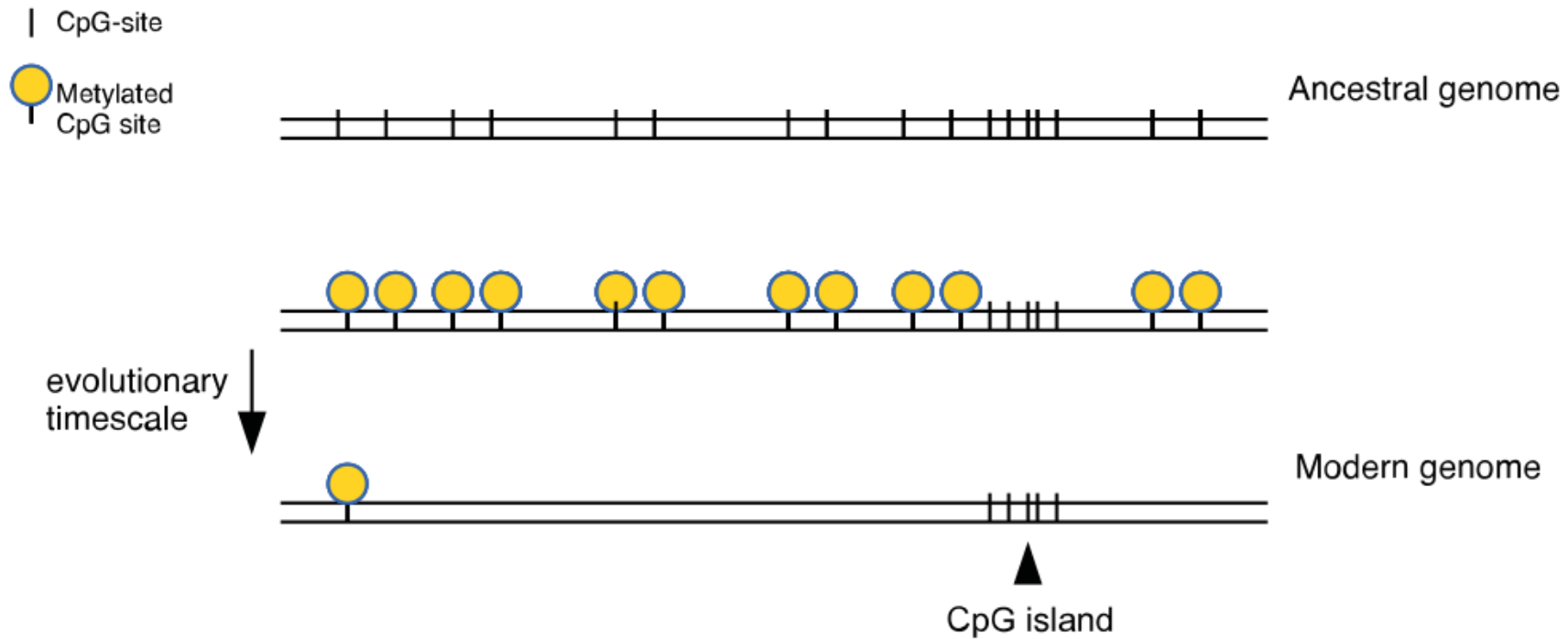
## СpG-островки

- Регион длиной около 200 п.н.
- GC состав более 50%
- Наблюдаемое количество CpG по отношению к ожидаемому при случайном перемешивании последовательности более 60%
- Часто располагаются вблизи начала гена в районе промоторов.



## Typical mammalian DNA methylation landscape

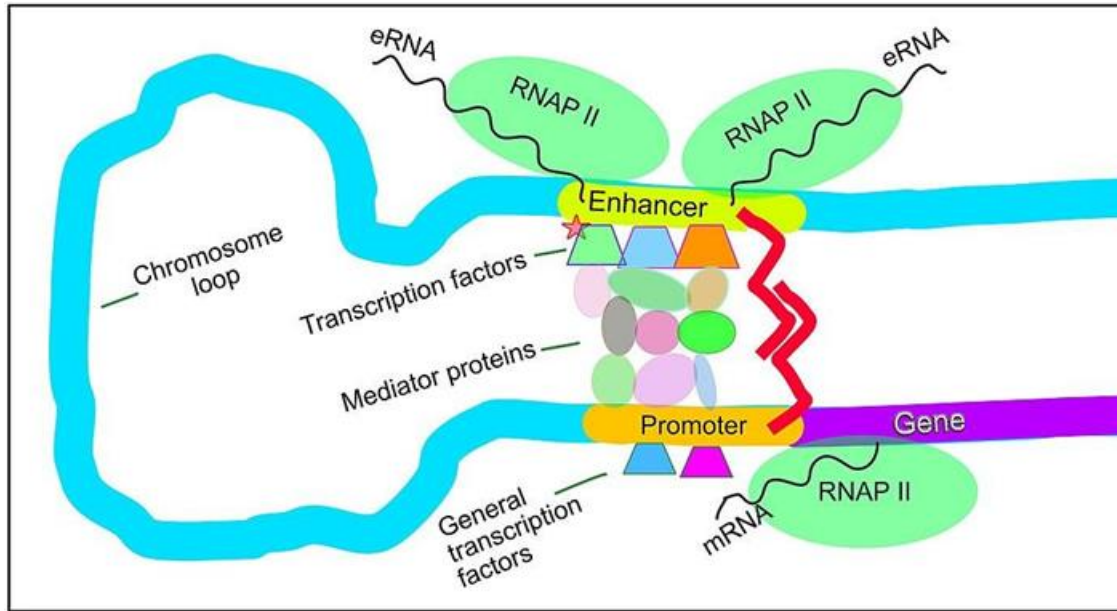




# Функциональная роль метилирования

- Метилирование CpG-островков вблизи промоторов коррелирует с репрессией транскрипции.
- Однако, оно не обязательно для репрессии.
- В теле активно транскрибируемых генов наблюдается высокий уровень метилирования ДНК.

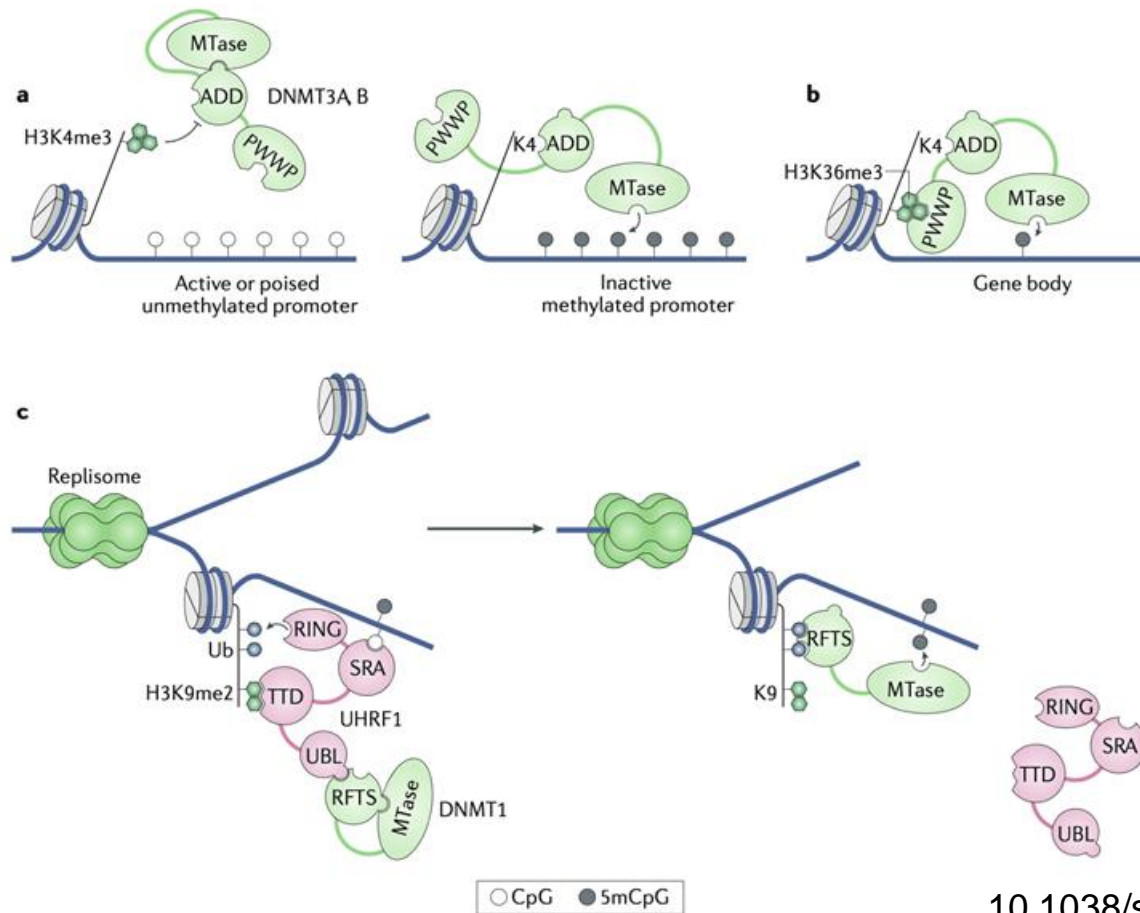
# Каким образом метилирование ДНК управляет экспрессией генов?



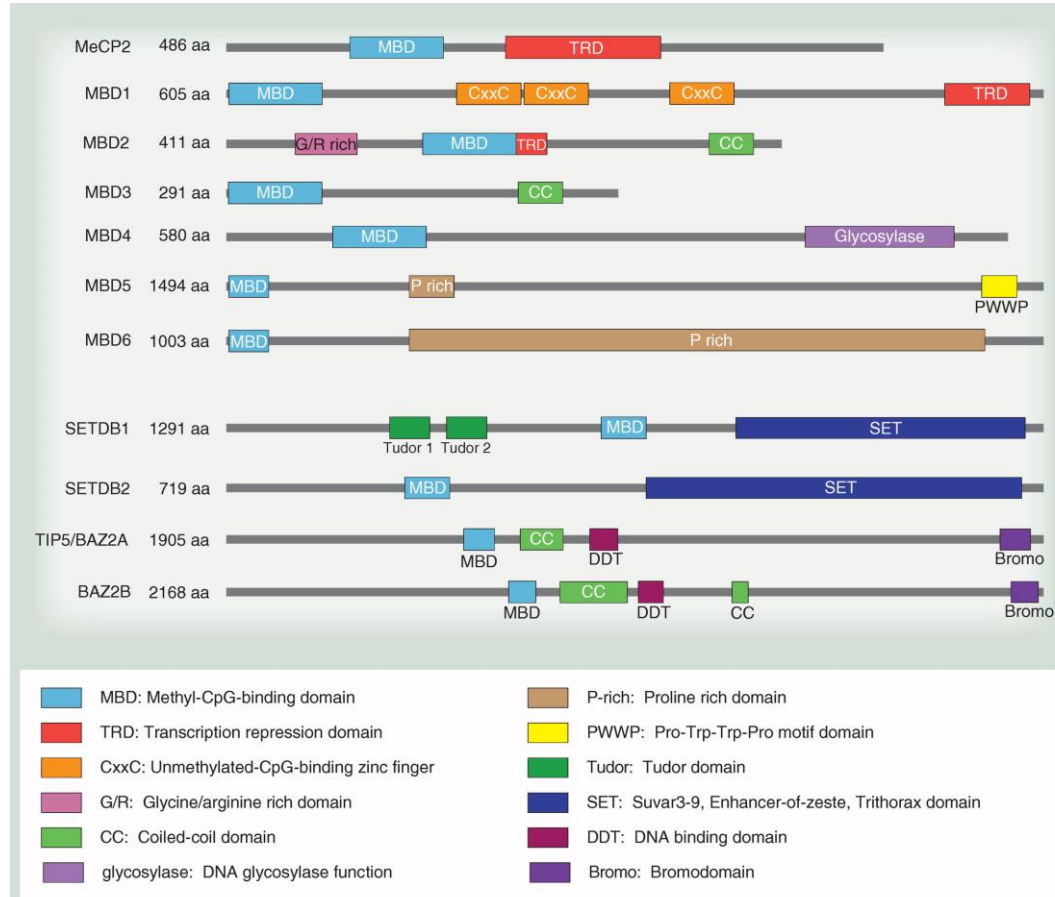
1. Мешает связыванию белков с ДНК
2. Привлекает регуляторные белковые комплексы
3. Стабилизирует нуклеосомы (?)

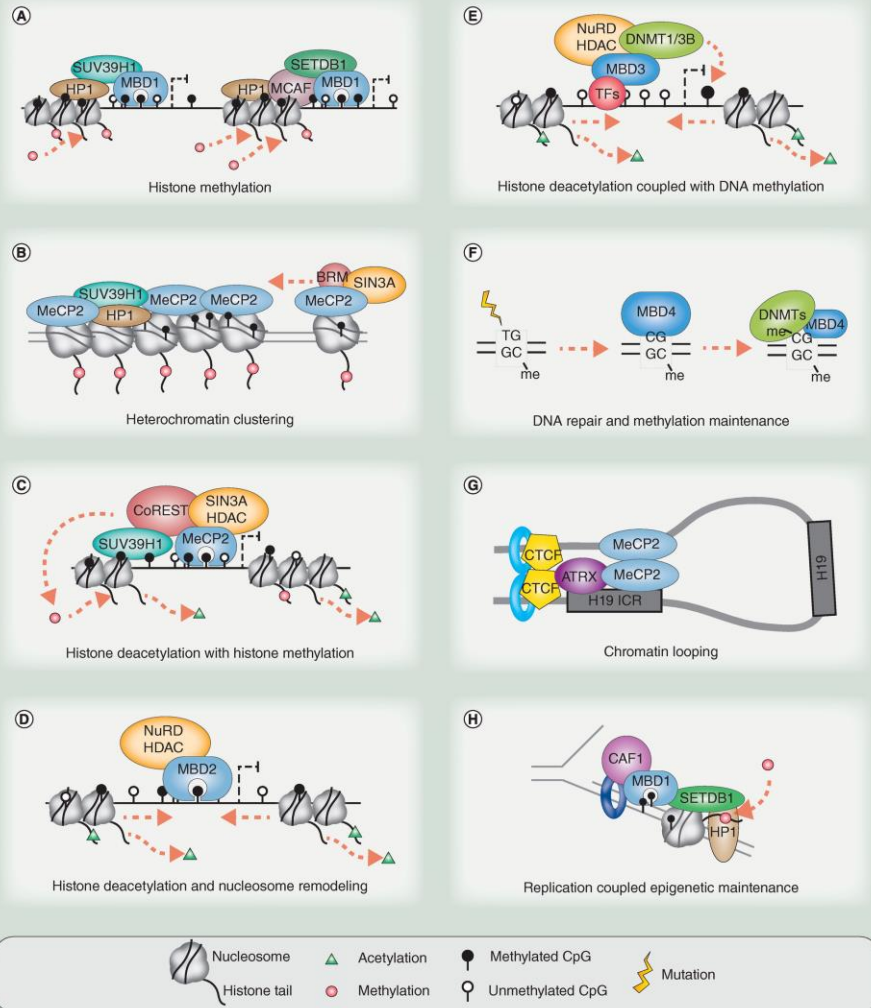


# Примеры молекулярных механизмов (репрессия)

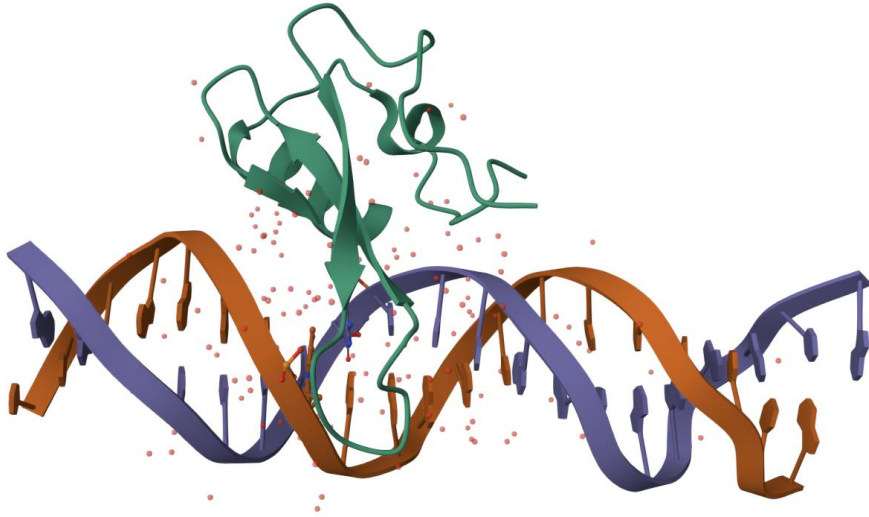


# methyl-CpG-binding domain (MBD) protein family





# MeCP2 – вовлечен в развитие нейронов



## Rett syndrome

**Other names** Cerebroatrophic hyperammonemia (*obsolete*),<sup>[1]</sup>  
<sup>[2]</sup> dementia, ataxia, and loss of purposeful hand use syndrome<sup>[3]</sup>



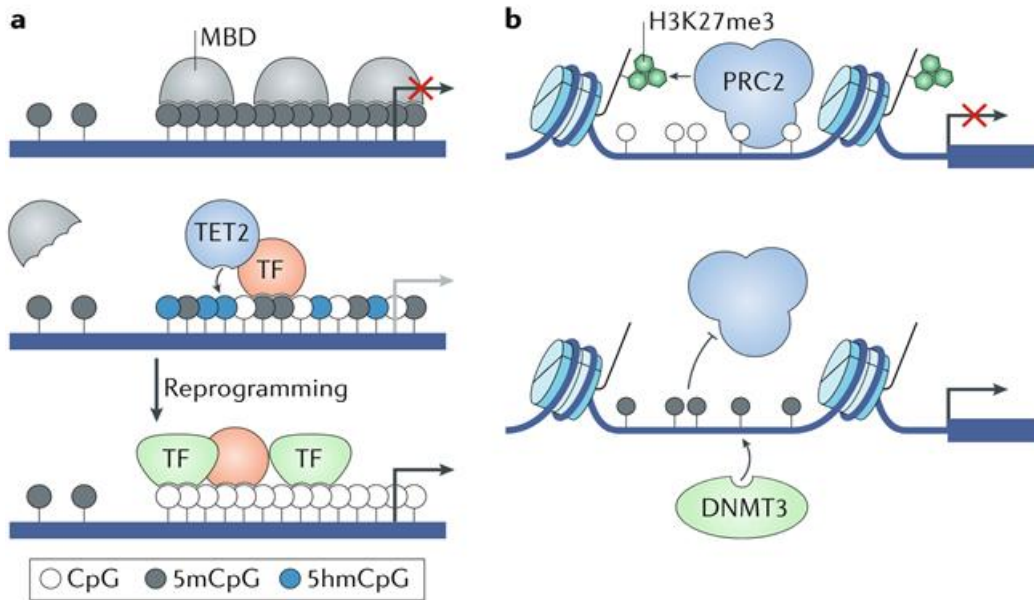
A girl with Rett Syndrome smiling at the camera

**Specialty** Psychiatry, Clinical Psychology, pediatrics, neurology

**Symptoms** Impairments in language and coordination, and repetitive movements, slower growth, smaller head<sup>[4]</sup>

# Примеры молекулярных механизмов, активирующих транскрипцию через метилирование ДНК

cell pluripotency factors KLF4 and Oct4, the homeobox proteins HOXB13, NKX neural patterning factors

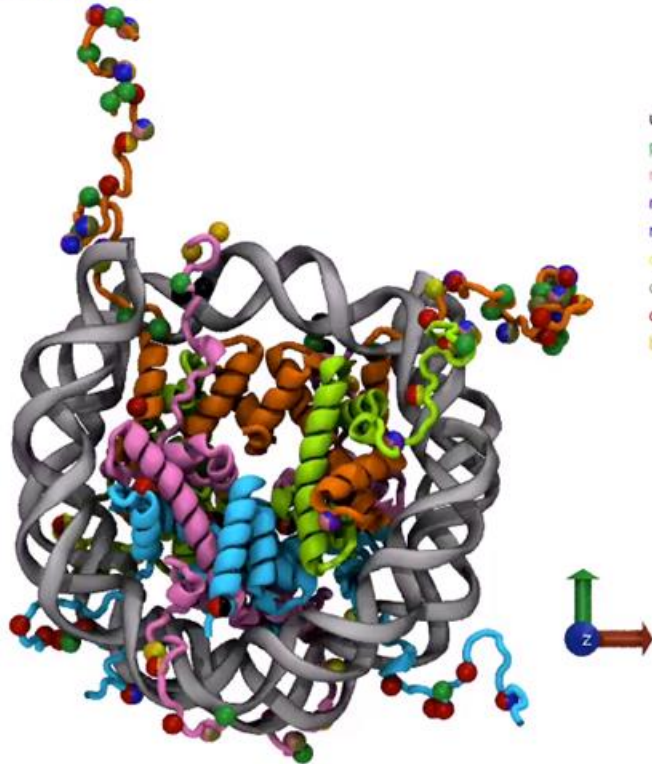


# Пост-трансляционные модификации гистонов



# Histone post-translational modifications

Nucleosome structure (1KX5)



H2A

H2AS1ph  
H2AR3me2  
H2AR3ci  
H2AK5ac  
H2AK9ac  
H2AK9bio  
H2AK13bio  
H2AK13ar  
H2AK119ub  
H2AT120ph  
H2AK121ub  
H2AK125bio  
H2AK127bio  
H2AK129bio  
H2AS137ph  
H2AS139ph  
H2AY142ph

H2B

H2BK5ac  
H2BK5me1  
H2BK12ac  
H2BS14ph  
H2BK15ac  
H2BK16ac  
H2BK20ac  
H2BK30ar  
H2BK46ac  
H2BK120ac  
H2BK120ub

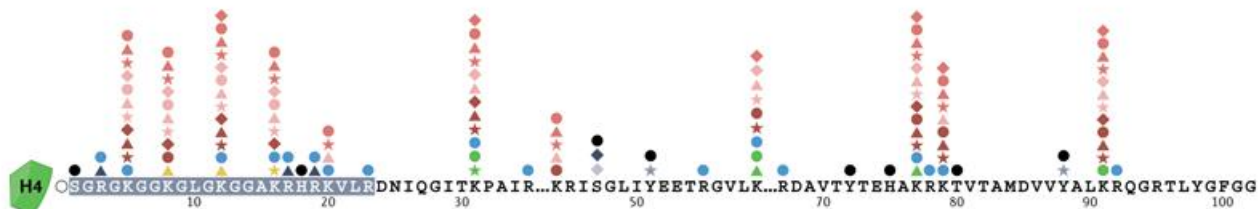
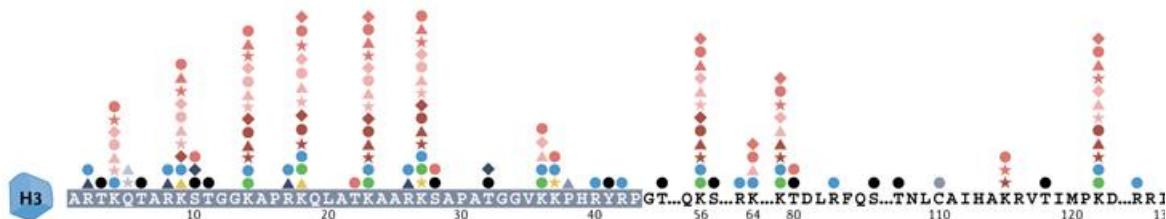
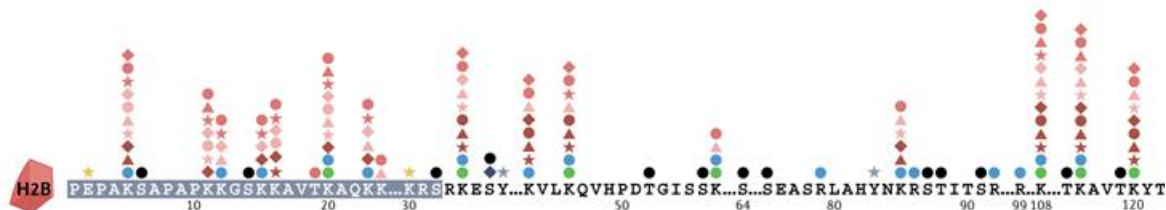
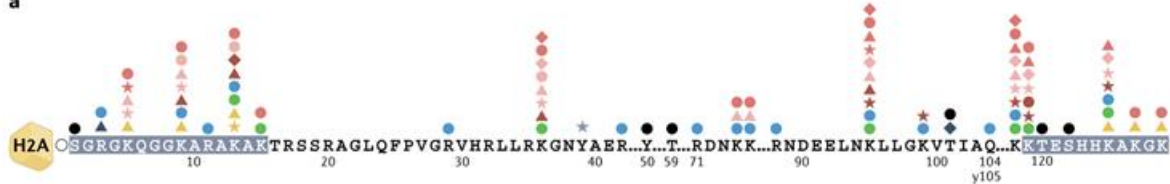
H3

H3R2me1  
H3R2me2  
H3R2ci  
H3T3ph  
H3K4ac  
H3K4me1  
H3K4me2  
H3K4me3  
H3S6ph  
H3T6ph  
H3R8ci  
H3K9ac  
H3K9me1  
H3K9me2  
H3K9me3  
H3K9bio  
H3S10ph  
H3T11ph  
H3K14ac  
H3R17me1  
H3R17me2  
H3R17ci  
H3K18ac  
H3K18bio  
H3K23ac  
H3R26me1  
H3R26ci  
H3K27ac  
H3K27me1  
H3K27me2  
H3K27me3  
H3K27ar  
H3S28ph  
H3S31ph  
H3K36ac  
H3K36me3  
H3K36me1  
H3K36me2  
H3K37ar  
H3Y41ph  
H3T45ph  
H3K56ac  
H3K79me1  
H3K79me2

H4

H4S1ph  
H4R3me1  
H4R3me2  
H4R3ci  
H4K5ac  
H4K8ac  
H4K8bio  
H4K12ac  
H4K12bio  
H4K16ac  
H4K16ar  
H4K20me1  
H4K20me2  
H4K20me3  
H4K91ac  
H4K91ub

a



### Lysine PTMs (and other aa as indicated)

#### Acylation

- |                         |                                |                     |
|-------------------------|--------------------------------|---------------------|
| ◆ Formylation (K)       | ◆ Crotonylation (K)            | ◆ Lactylation (K)   |
| ● Acetylation (K, S, T) | ● Benzoylation (K)             | ● Malonylation (K)  |
| ▲ Propionylation (K)    | ▲ 2-Hydroxyisobutyrylation (K) | ▲ Succinylation (K) |
| ★ Butyrylation (K)      | ★ Hydroxybutyrylation (K)      | ★ Glutarylation (K) |

#### Ubiquitin-like

- Ubiquitylation (K)
- ▲ Sumoylation (K)
- ★ Ufmylation (K)

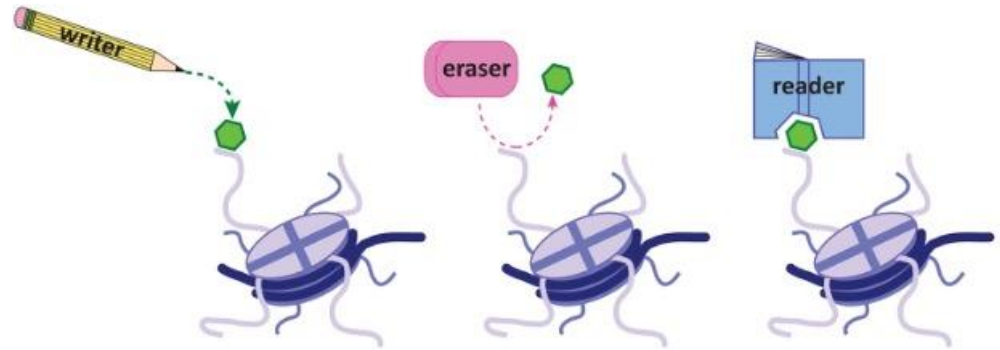
#### Others

- Methylation (K, R)
- ▲ Biotinylation (K)
- ★ ADP ribosylation (K, E)

#### Non-lysine PTMs

- |                                |                        |                              |
|--------------------------------|------------------------|------------------------------|
| ▲ Serotonylation (Q)           | ● S-palmitoylation (C) | ◆ O-GlcNAcylation (S, T)     |
| ★ Dopaminylation (Q)           | ▲ Isomerization (P)    | ▲ Deimination (R)            |
| ◆ O-palmitoylation (S)         | ★ Hydroxylation (Y)    |                              |
| ● Phosphorylation (S, T, Y, H) |                        | ○ N-terminal acetylation (S) |

# Brno nomenclature



Писатели, стиратели, читатели



# ENCODE ChIP-seq Experiment Matrix *hg19*

## Antibody Targets

search for:  tracks  files

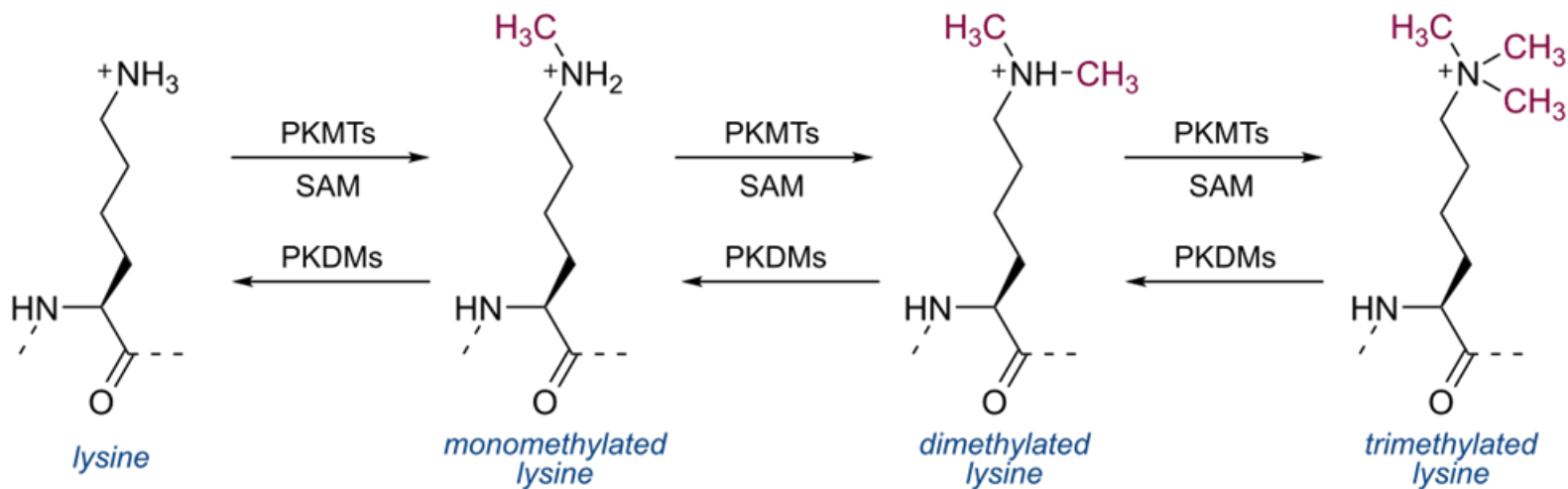
## Cell Types

Histone Modification	H2AFZ	H3K27ac	H3K27me3	H3K36me3	H3K4me1	H3K4me2	H3K4me3	H3K79me2	H3K9ac	H3K9me1	H3K9me3	H4K20me1
----------------------	-------	---------	----------	----------	---------	---------	---------	----------	--------	---------	---------	----------

<b>Tier 1</b>												
<b>GM12878</b>	1	1	2	2	1	1	2	1	1		1	1
<b>H1-hESC</b>	1	1	1	1	1	1	1	1	1		1	1
<b>K562</b>	1	1	3	2	2	1	8	1	2	1	1	1

H3K4me1 + H3K27me3	repressed enhancers in stem cells
H3K4me1	enhancer
H3K4me3	active promoter regions
H3K4me2	Marks promoters and enhancers. Most CpG islands are marked by H3K4me2 in primary cells. May be associated also with poised promoters.
H3K4me1 + H3K27ac	active enhancer
H3K27Ac	Enhancers, promoters
H3K36me3	Gene body - [H3K36me2 (which is distributed broadly in intergenic regions and weakly transcribed regions, for moderate levels of DNA methylation); H3K36me3, which essentially marks the actively transcribed regions, for high levels of methylation.]
H3K9me3	конститутивный гетерохроматин
H3K27me3	факультативный гетерохроматин
H3K79me2	H3K79me2 is a mark of the transcriptional transition region - the region between the initiation marks (K4me3, etc) and the elongation marks (K36me3).
H4K20me1	Is associated with active and accessible regions. In mammals, PR-Set7 specifically catalyzes H4K20 monomethylation. NOTE CONTRAST to H3K20me3 which is associated with heterochromatin and DNA repair.

# Метилирование лизинов



Protein lysine methyltransferases (**PKMTs**)

Заряд +1 не меняется



# Histone Methylation Domains

## Histone Methyltransferase (HMT)





















- nonSET
- PRMT
- SET1
- SET2
- RIZ
- EZ
- SUV39
- SUV4-20
- SMYD
- HMT\_other

## Histone Methylation Reader (Me\_Reader)

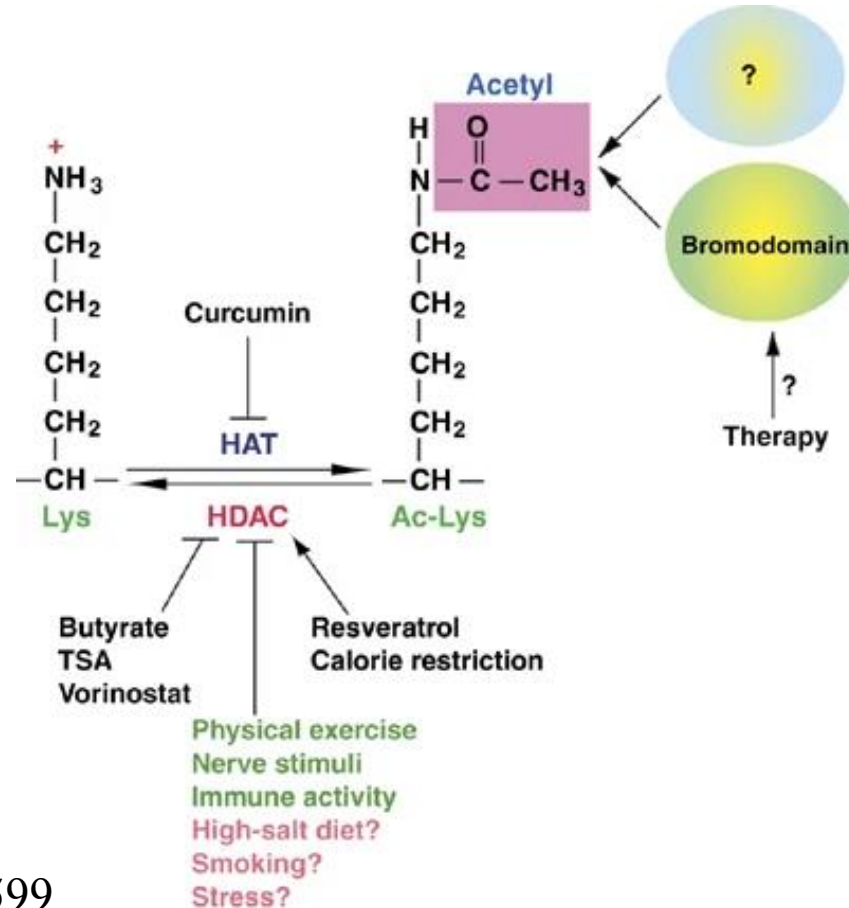
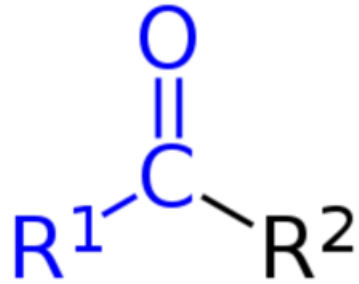
- ADD
- Ankyrin
- BAH
- Chromodomain
- PWWP
- TTD
- Tudor
- WD40
- ZF-CW
- PHD
- Chromo-Barrel
- DCD
- MBT
- Me\_Reader\_other

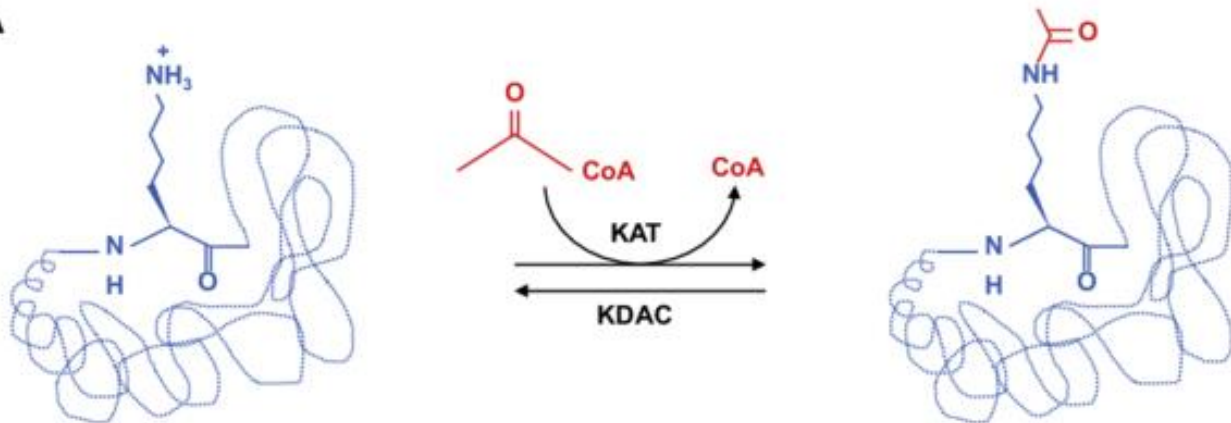
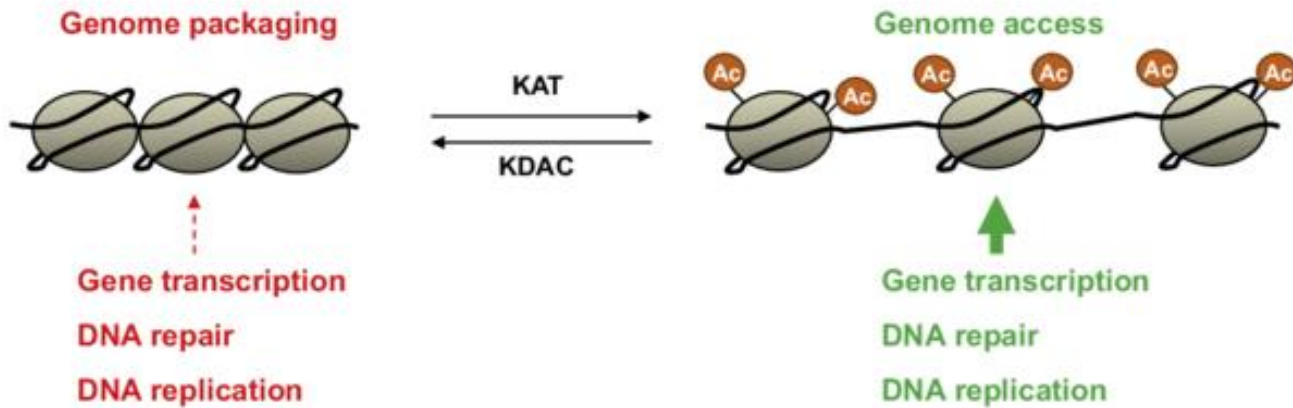
## Histone Demethylase (HDM)

- LSD1\_KDM1
- JARID
- JHDM1
- JHDM2
- JHDM3\_JMJD2
- PHF2\_PHF8
- UTX\_UTY
- JmjC only

HMT			N/A	
	SET1	SET2	RIZ	EZ
HDM				
	SUV39	SUV4-20	SMYD	PRMT
e_Reader				
	JARID	JHDM1	JHDM2	JHDM3_JMJD2
e_Reader	N/A	N/A		
	ADD	Ankyrin	BAH	Chromodomain
e_Reader		N/A		
	PWWP	TTD	Tudor	WD40
e_Reader				
	PHD	Chromo-Barrel	DCD	MBT

# Ацилирование (ацетилирование)



**A****B**

# Histone Acetylation Domains

## Histone Acetyltransferase (HAT)









- ..... p300\_CBP
- ..... MYST
- ..... HAT\_other
- ..... GCN5
- ..... HAT1
- ..... HPA2
- ..... ELP3
- ..... GNAT\_other

## Histone Deacetylase (HDAC)

- ..... Class-I
- ..... Class-II
- ..... SIR2
- ..... Class-IV
- ..... HD2

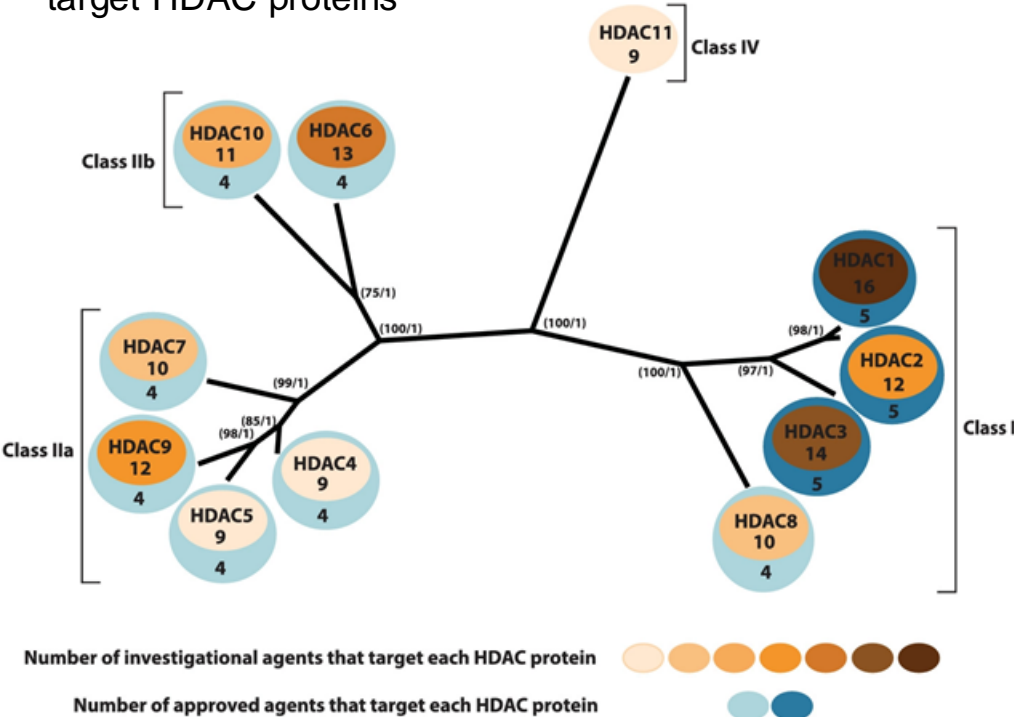
## Histone Acetylation Reader (Ac\_Reader)

- ..... Bromodomain
- ..... Tandem-PHD

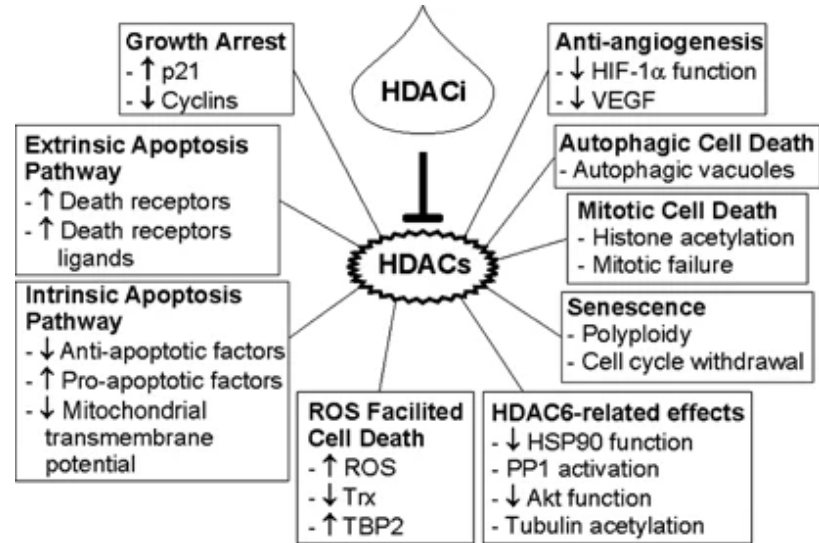
HAT			N/A
	HAT1	GCN5	p300_CBP
HDAC			
	ELP3	HPA2	
		MYST	
HDAC			
	Class-I	Class-II	SIR2

# HDAC/HAC inhibitors

Number of investigational and approved agents that target HDAC proteins



Multiple HDACi-activated antitumor pathways





**Вориностат** - ингибитор [гистондеацетилаз](#),  
использующийся в качестве лекарственного  
средства при терапии Т-клеточной лимфомы



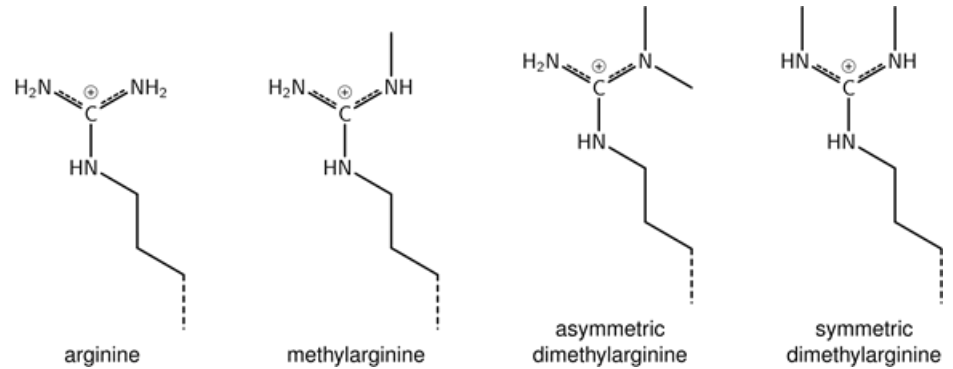
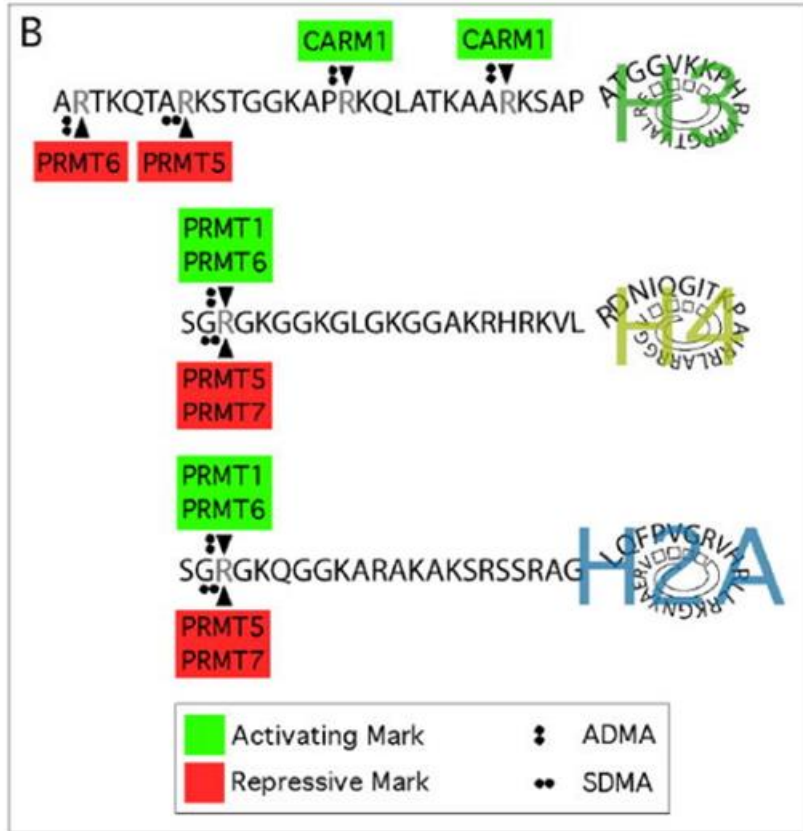
# HDACi

Drug name	Enzyme specificity	Indications investigated	Highest CT phase
Abexinostat	HDAC 1, 2, 3, 6, 10	DLBCL, MCL, AML, ALL, FL, RCC, MDS, sarcoma, skin cancers, NSCLC	Phase 3
Fimepinostat (CUDC-907)	HDAC 1, 2, 3, 10	Lymphomas, brain tumours	Phase 1/2
Quisinostat (JNJ26481585)	HDAC 1, 6, 9	Ovarian cancer, CTCL, NSCLC	Phase 2
Ricolinostat (ACY-1215)	HDAC 6	MM, DNP, lymphomas, BC, gynaecological cancers, CLL	Phase 2
Trichostatin A	HDAC 7, 8	Haematological cancers	Phase 1
Nanatinostat (VRx-3996)	HDAC 9	EBv-associated malignancies	Phase 1/2
CG200745	HDAC 9, 11	MDS, pancreatic cancer	Phase 1/2
Pracinostat	Pan-HDAC	MDS, AML, MF, PC, sarcoma	Phase 3
Resminostat	Pan-HDAC	CTCL, HCC, HL, CRC, pancreatic cancer, NSCLC	Phase 2
CUDC-101	Pan-HDAC	Advanced solid tumours	Phase 1 (discontinued)
MPT0E028	Pan-HDAC	Advanced solid tumours	Phase 1

Drug name	Chemical class	Enzyme specificity	Indications investigated	Highest CT phase
Tacedinaline (CI-994)	Benzamide	HDAC 1	Solid and haematological cancers	Phase 3 (discontinued)
Entinostat	Benzamide	Class 1 HDACs	PC, BC, BIC, AML, CRC, LL, RCC, melanoma, NSCLC, gynaecological cancers, CNS tumours, MDS, pancreatic cancer, NE tumours	Phase 2
Domatinostat	Benzamide	Class 1 HDACs	CTCL	Phase 1
RG2833	Benzamide	HDAC 3	Friedreich's ataxia	Phase 1
Givinostat	Benzamide	Pan-HDAC	MDs, PV, JIA	Phase 2
KA2507	Cyclic peptide	HDAC 6	Melanoma	Phase 1
Mocetinostat	Benzamide	Pan-HDAC	UC, NSLC, HL, DLBCL, FL, leiomyosarcoma, melanoma	Phase 2
OBP-801	Cyclic peptide	Pan-HDAC	LC, lymphoma, RC, glaucoma	Phase 1a
AR-42	Benzamide	Pan-HDAC	RCC, sarcoma, meningioma, VS, AML	Phase 1

.....

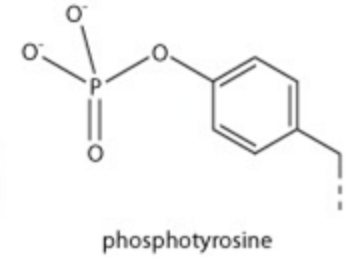
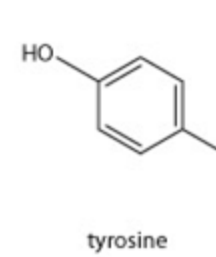
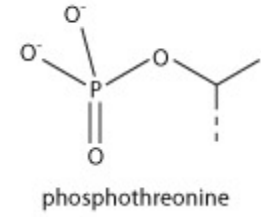
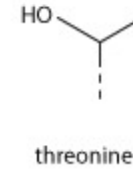
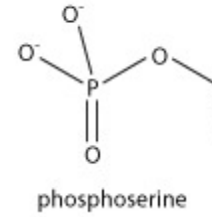
# Метилирование аргининов



(A) Arginine residues in the tails of histones can be **monomethylarginines (MMA)**, **asymmetric dimethylarginines (ADMA)**, and **symmetric dimethylarginines (SDMA)**. The MMA form of arginine is generally regarded as an intermediate on its way to the dimethylated state and is not depicted here. (B) The known sites of histone H3, H4, and H2A arginine dimethylation are shown. Red denotes transcriptional repressor activity and green denotes transcriptional activator activity.

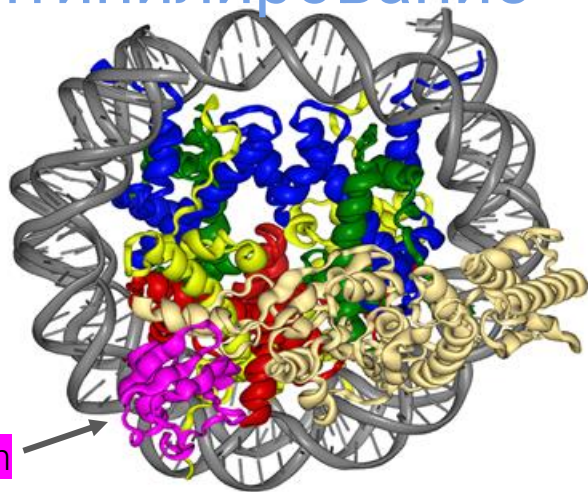
# Фосфорилирование

Histone	Phosphorylated residue	Kinases	Role
H2A	S1	?	Mitosis
	S16	RSK2	EGF signaling
	S122*(Sc)/T120(Hs)	Bub1, NHK-1 (Dm)	DNA repair/Mitosis/Meiosis
	S129*(Sc)/S139(Hs,H2AX)	Mec1, Tel1 (Sc) / ATM, ATR, DNA-PK (Hs)	DNA repair
	Y142 (H2AX)	Mst1 WSTF	Apoptosis DNA repair
H2B	S10 (Sc)/S14 (Hs)	Ste20 (Sc)/Mst1 (Hs) (Ipl1?)	Apoptosis Meiosis
	S32	RSK2	EGF signaling
	S36	AMPK	Transcription
H4	S1	CKII Sps1	DNA repair; Transcription Meiosis, Transcription
	S47	PAK2	(H3.3-H4) Deposition
H1	S/T	CDK2	Mitosis Transcription



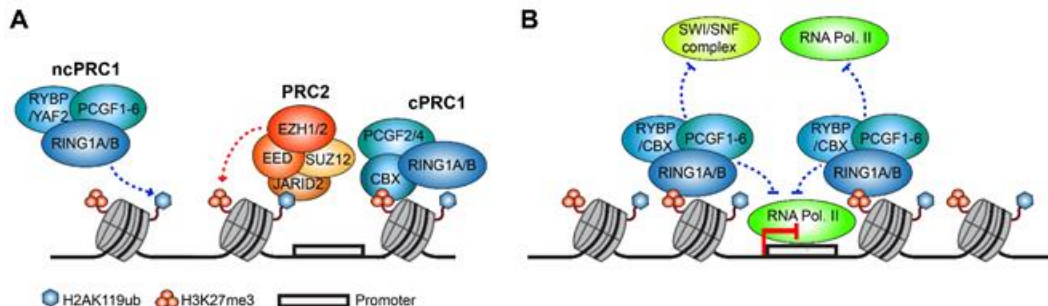
H3	T3	Haspin	Mitosis
	T6	PKCβ	Transcription
	S10	Ipl1 (Sc) / AuroraB (Hs), RSK2, MSK1, ERK1, p38, Fyn, Chk1, PRK1	Transcription, Chromatin condensation, UVB response
	T11	Mek1 (Sc) / Dlk (Hs. ?) PRK1, PKM2 Chk1	Meiosis (Sc), Mitosis (Hs) Transcription DNA damage response
	S28	AuroraB, ERK1/2, p38 MLTK-α, JNK1/2, MSK1	Meiosis Mitosis, Transcription
	Y41	JAK2	Transcription
	T45	PK-Cδ	Apoptosis

# Юбиквитинирование

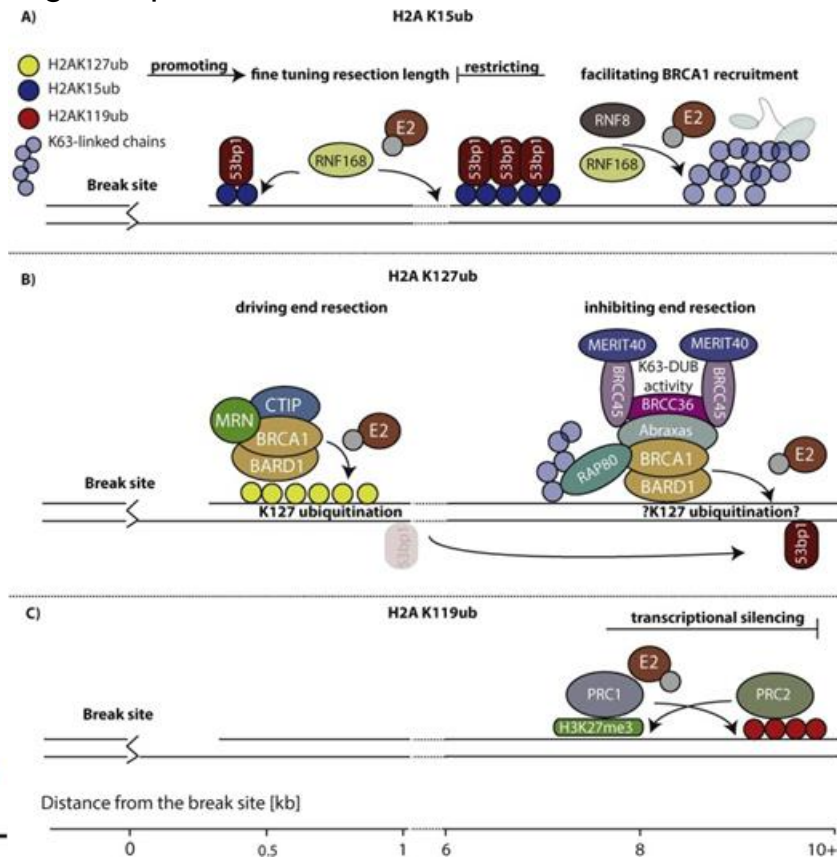


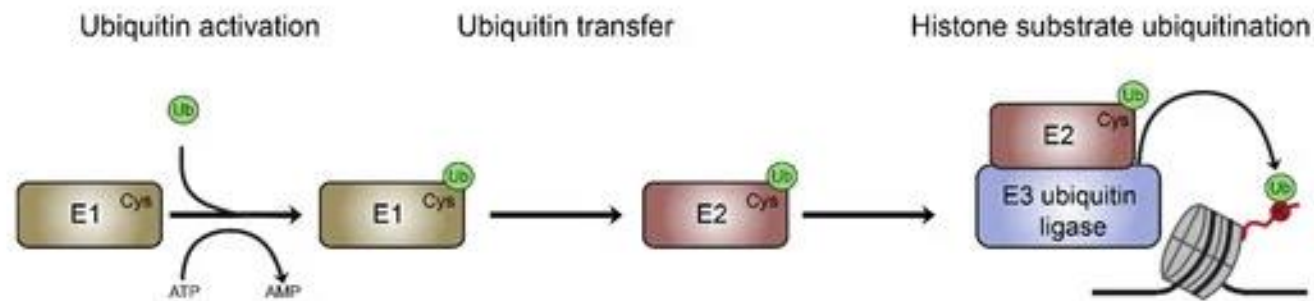
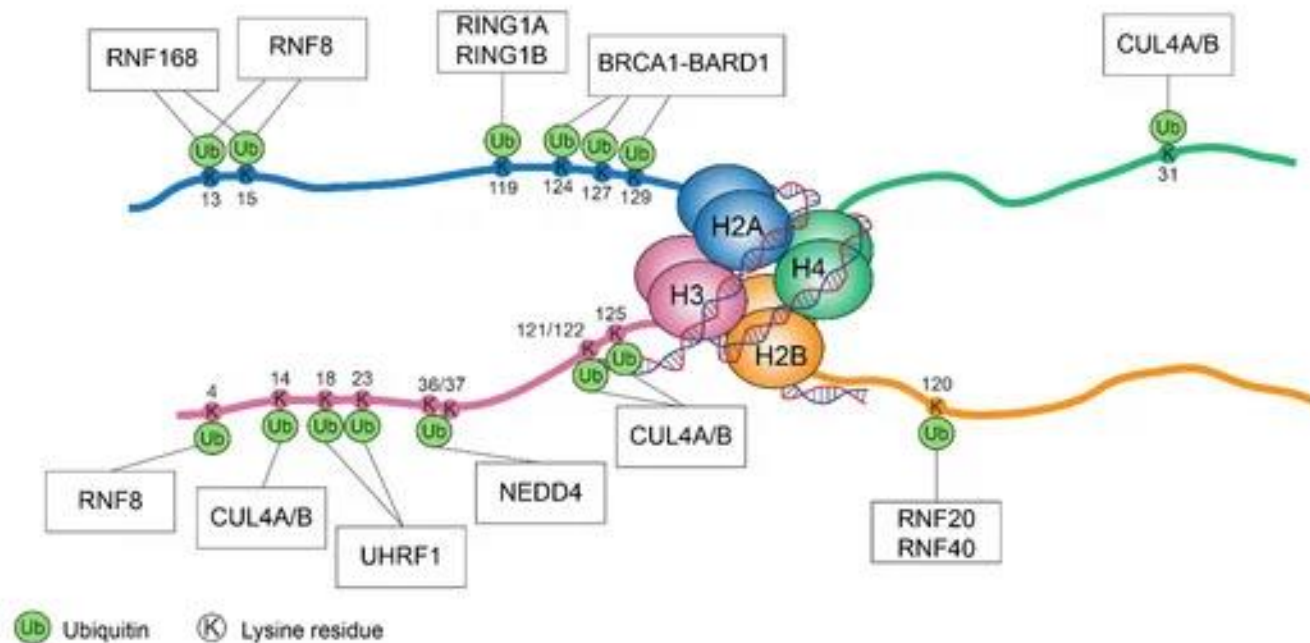
Ubiquitin

## Transcriptional regulation by PRC1-mediated H2AK119ub

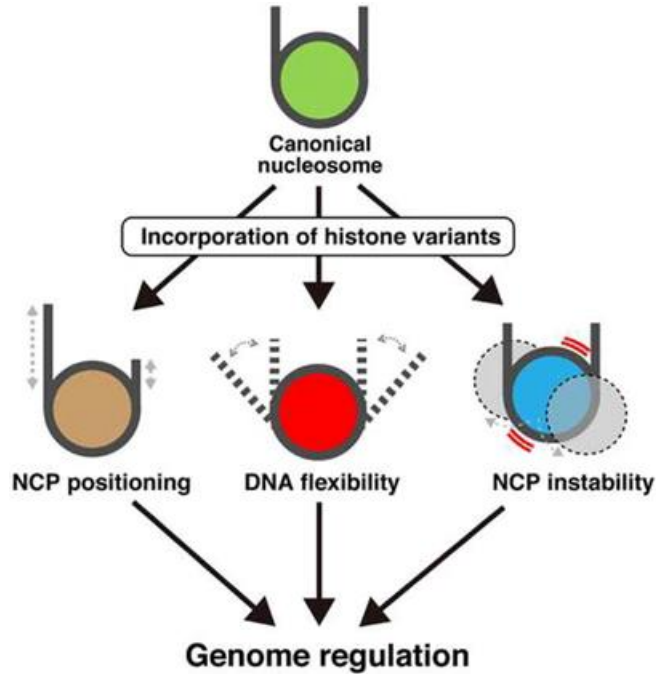


## Model of site-specific ubiquitination in the DNA damage response



**A****B**

# Гистоновые варианты и регуляция транскрипции



C-terminus

H2A	GKV <b>T</b> IAQGGVLPNIQAVLLP <b>K</b> TESHH <b>K</b> AKG <b>K</b>
	118 119 125
H2A.X	GGV <b>T</b> IAQGGVLPNIQAVLLP <b>K</b> TSATV <b>G</b> PKAPSGG <b>K</b> ATQASQ <b>E</b> <b>Y</b>
	101 118 119 127 133 136 139 142
H2A.Z.1	- <b>K</b> ATIAGGGV <b>I</b> PHI <b>H</b> KSLIG <b>K</b> --G <b>Q</b> Q <b>T</b> V
	101 120 121 125
macroH2A1.2	KG <b>V</b> TIASGGVLPNI <b>H</b> PELLAK <b>R</b> SG <b>K</b> G <b>K</b> LEAIITPPPA <b>K</b> AK <b>S</b> PSGG <b>K</b> E <b>F</b>
	115 116 122 128 137 237

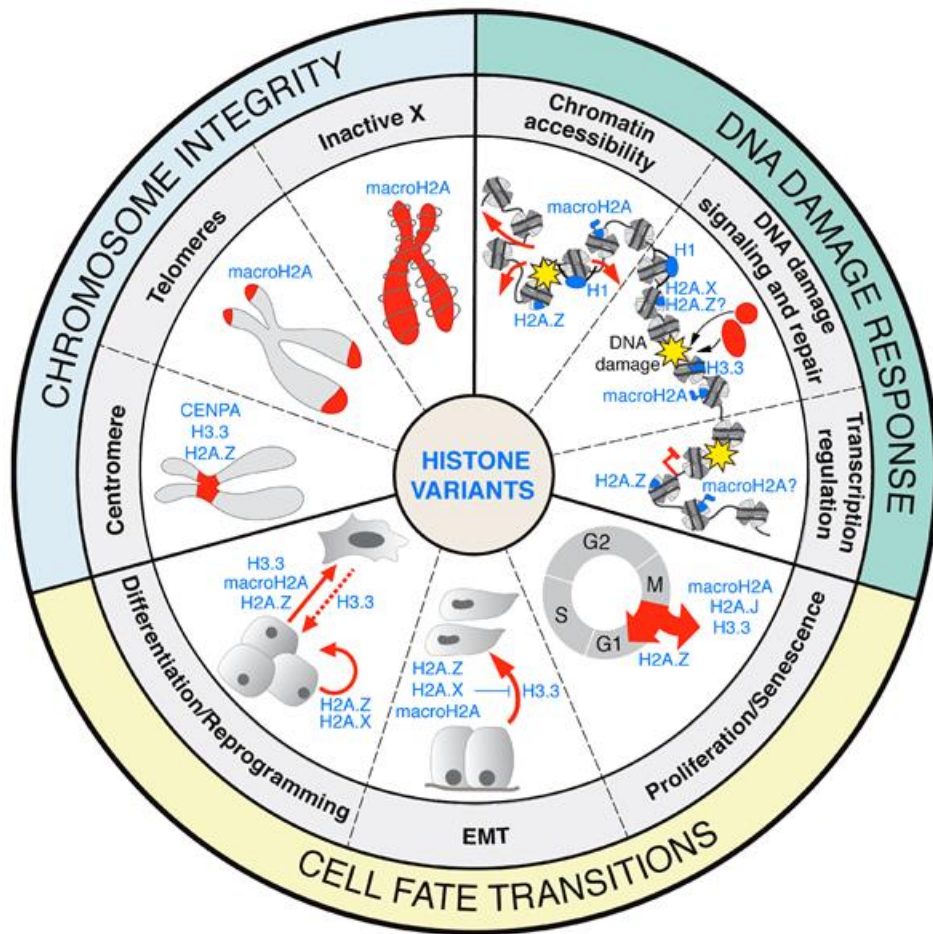
macrodomain

N-terminus

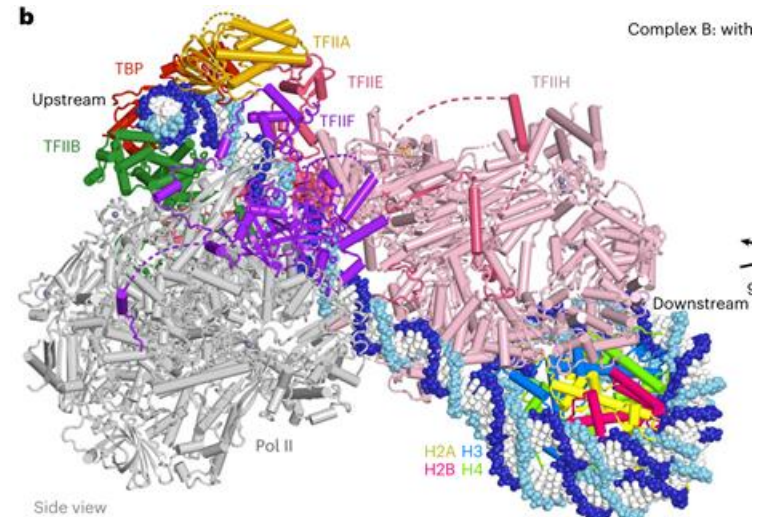
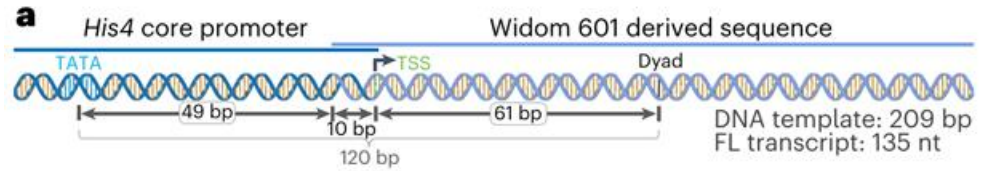
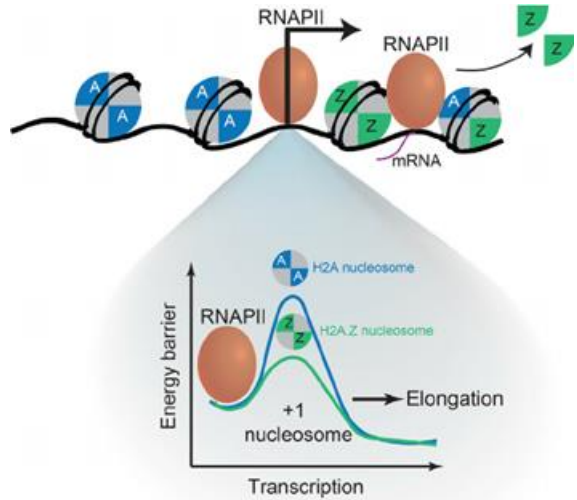
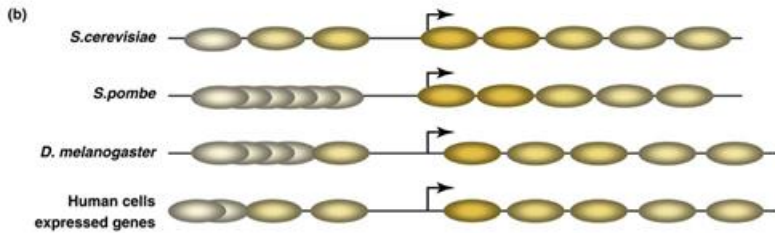
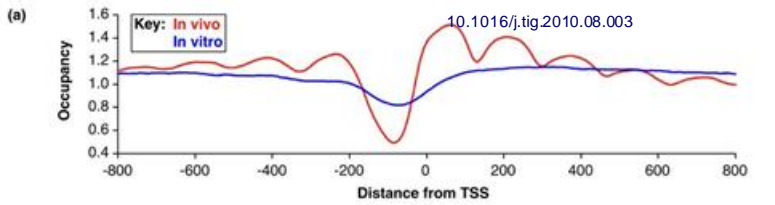
H2A	SG--RG <b>K</b> QGGKARAKAK <b>T</b> RSRRAGLQFPVGRVHRL <b>L</b> RKGN
	5 13 15
H2A.X	SG--RG <b>K</b> TGGKARAKAK <b>S</b> RSRRAGLQFPVGRVHRL <b>L</b> RK <b>G</b> H
	5 9 13 15 36
H2A.Z.1	AG <b>G</b> KAG <b>K</b> DSG <b>K</b> AK <b>T</b> KAVRSRSQ <b>R</b> AGLQFPVGR <b>I</b> HRHL <b>K</b> S <b>R</b> T
	4 7 11 13 15
macroH2A1.2	SS--RG---G <b>K</b> K <b>K</b> ST <b>K</b> TS <b>R</b> SA <b>K</b> AG <b>V</b> IF <b>P</b> VGR <b>M</b> LR <b>I</b> Y <b>I</b> KK <b>G</b> H
	17

- Acetylation
- Monomethylation
- Dimethylation
- Monoubiquitination
- SUMOylation
- Phosphorylation





# Структура преинициационного комплекса с +1 нуклеосомой



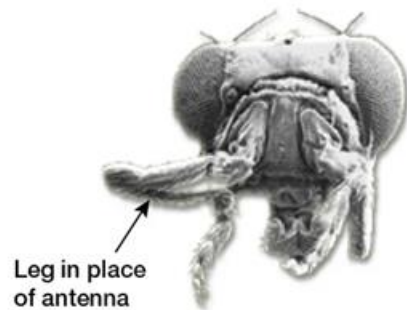
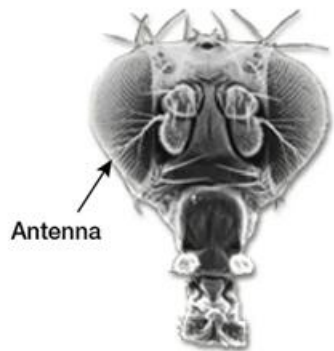
# Ремоделирование хроматина (Chromatin remodeling)

Ремоделирование хроматина - это динамическая модификация архитектуры хроматина, обеспечивающая доступ белков к конденсированной геномной ДНК и тем самым контролирующая экспрессию генов. Такое ремоделирование в основном осуществляется путем

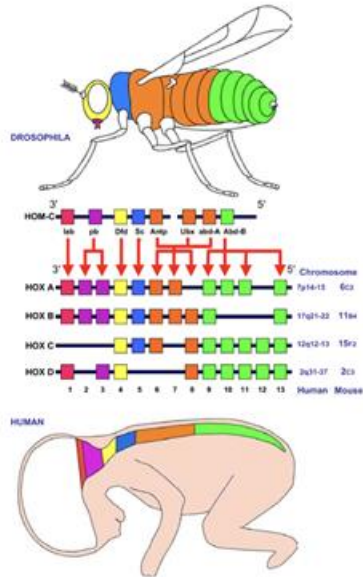
- 1) ковалентных модификаций гистонов специфическими ферментами, например гистонацетилтрансферазами (НАТs), деацетилазами, метилтрансферазами и киназами, и
- 2) АТФ-зависимыми комплексами ремоделирования хроматина, которые либо перемещают, выбрасывают, либо реструктурируют нуклеосомы.

## Практические примеры

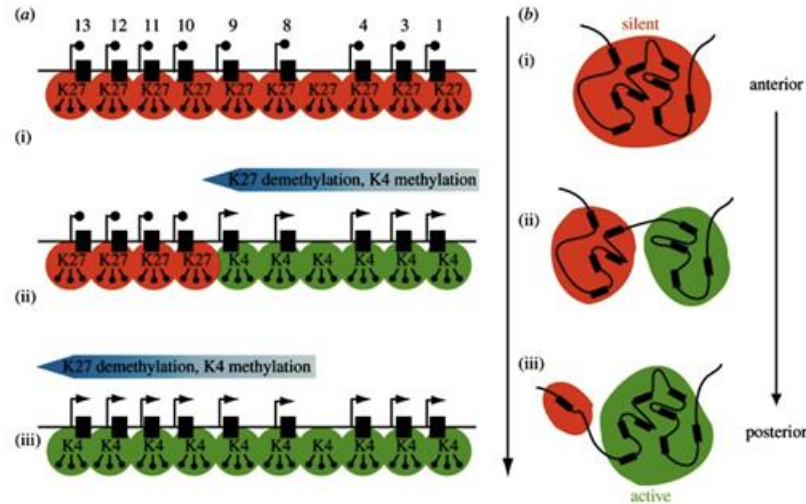
- Мутации в HOX-генах



- Контроль развития организма вдоль оси голова-хвост

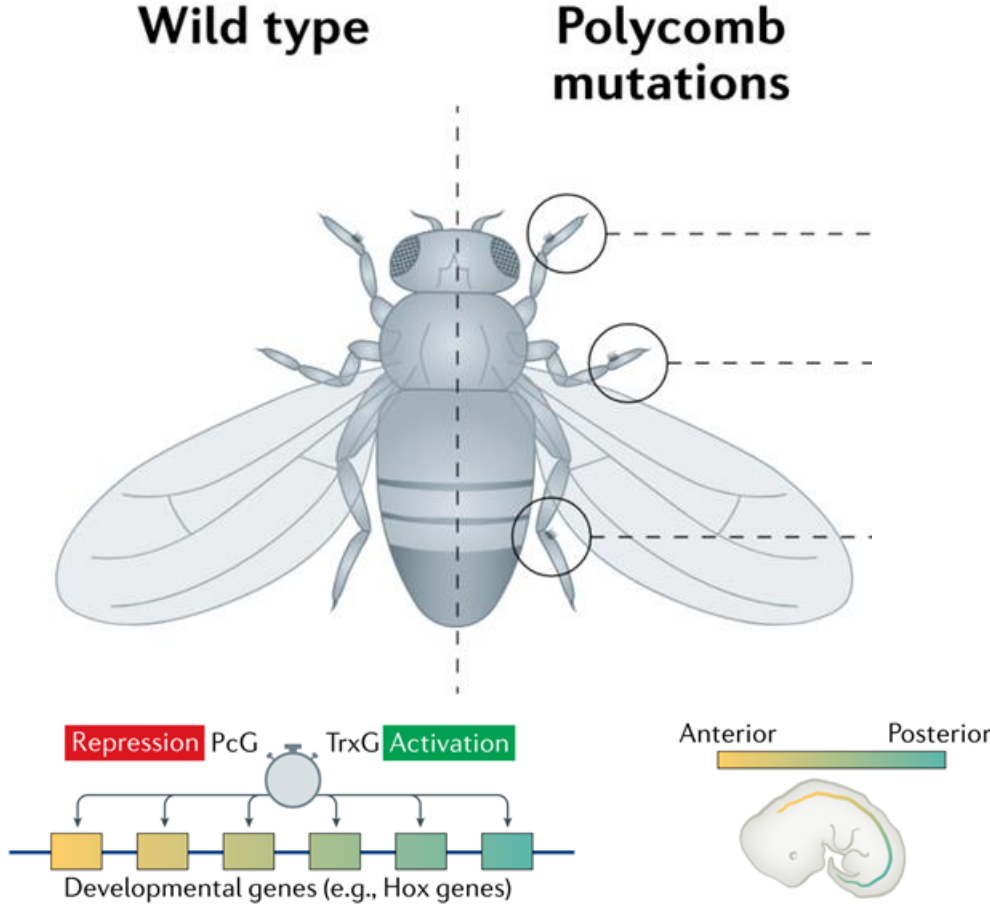


Нох-гены



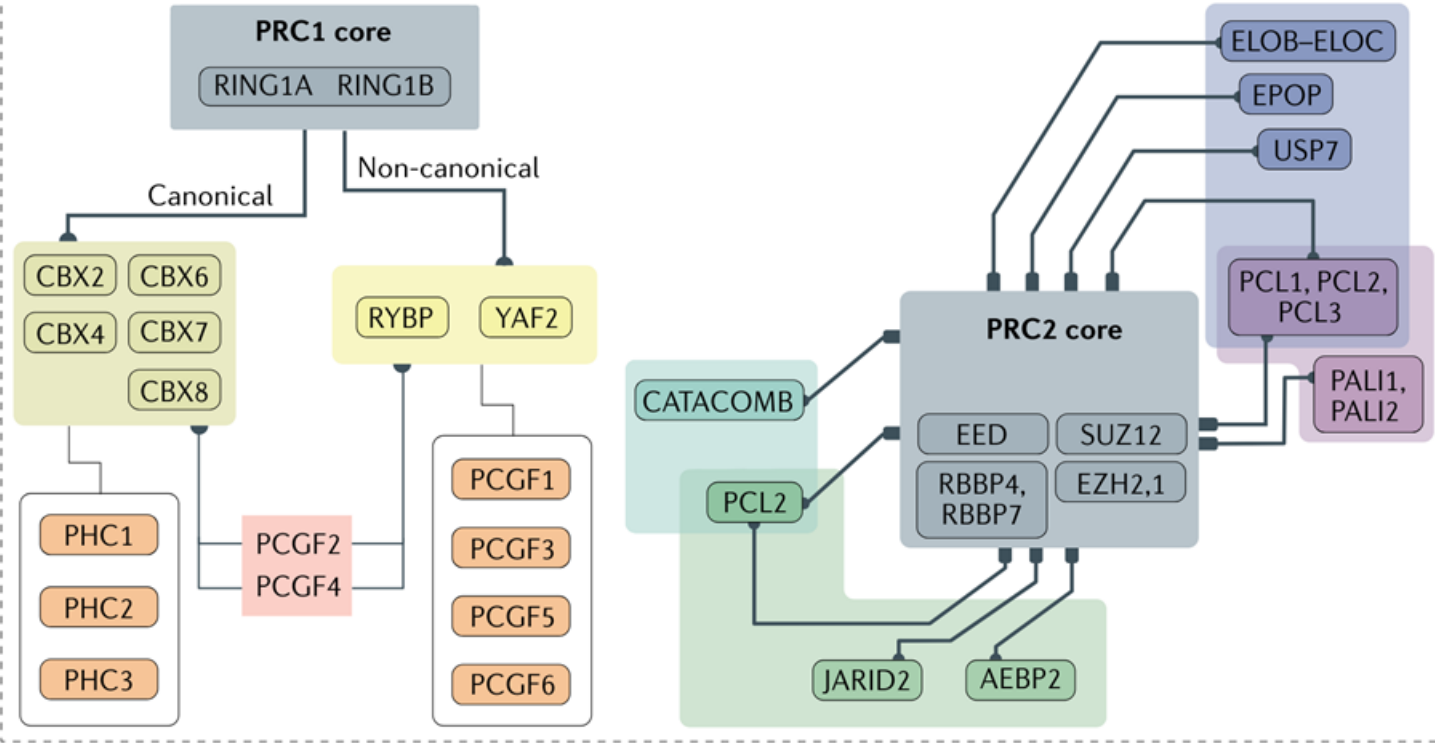
«Коллинеарность» – гены, расположенные вдоль ДНК, последовательно активируются в сегментах тела от головы к хвосту

# Polycomb repressor group proteins

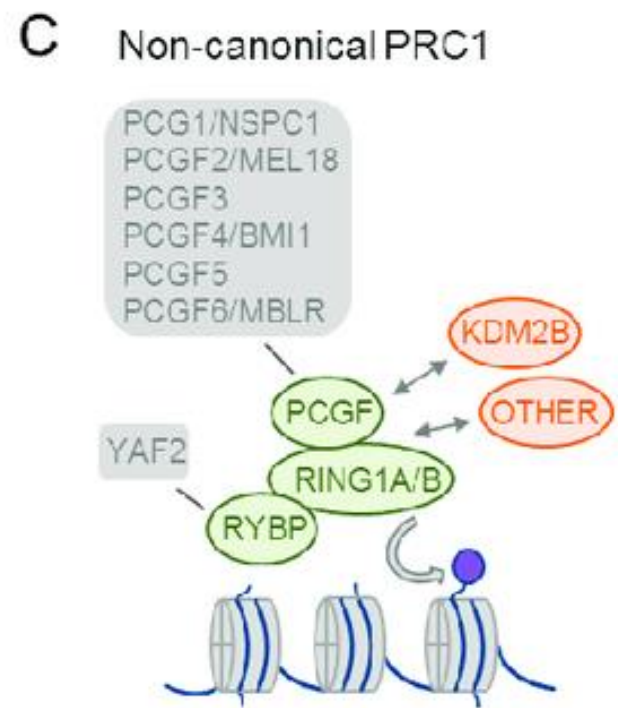
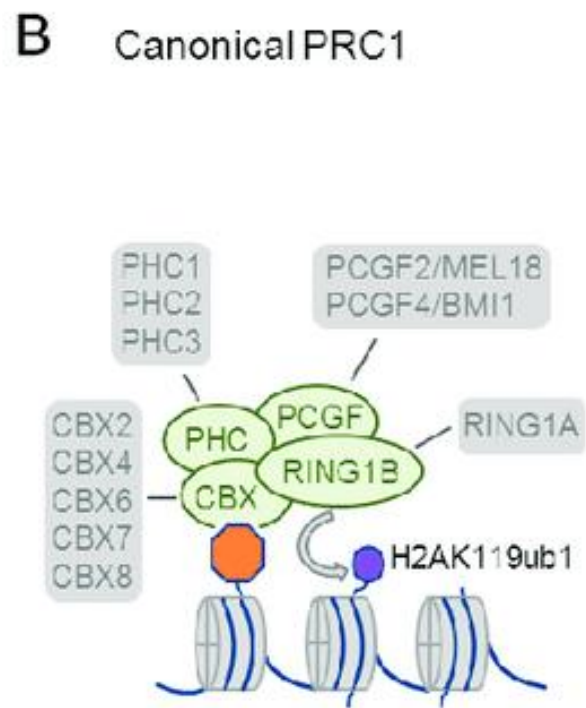
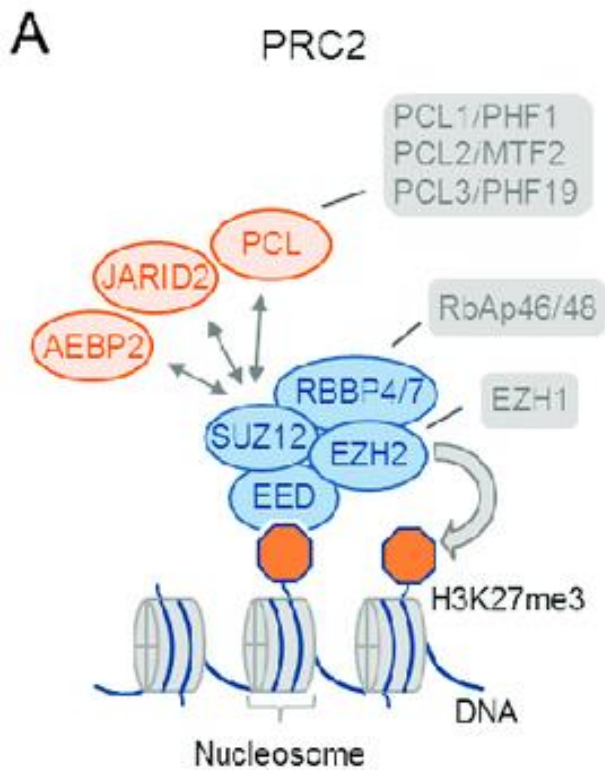


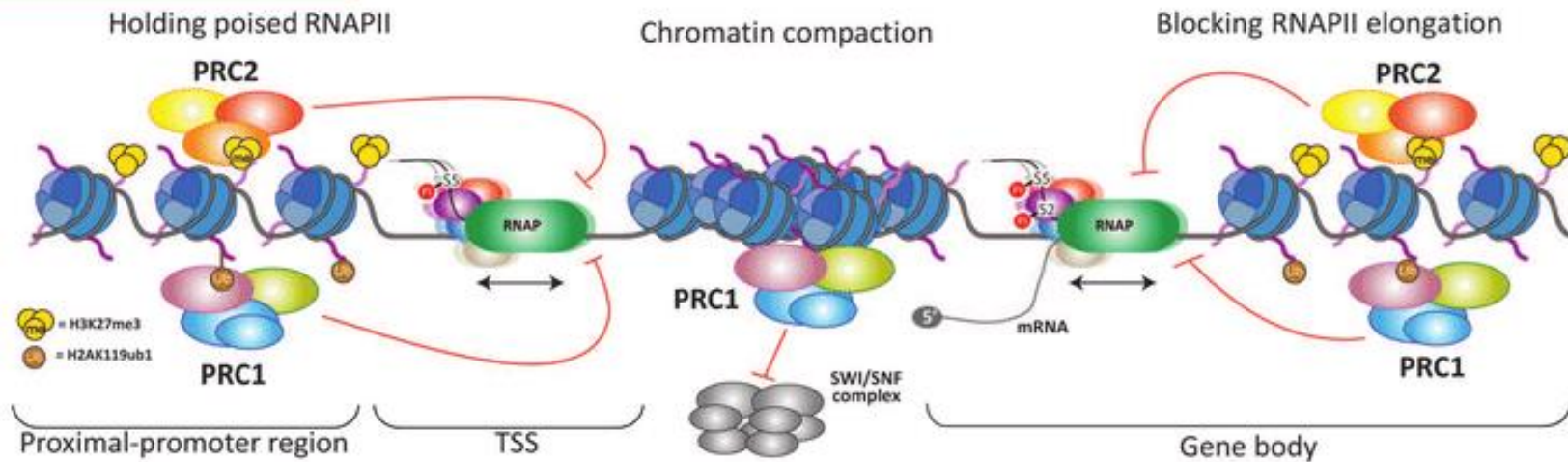


# Polycomb repressor group proteins



involved in stable and heritable transcriptional silencing



**A****PcG-mediated transcriptional repression****B**

# Heterochromatin protein 1 (HP1)

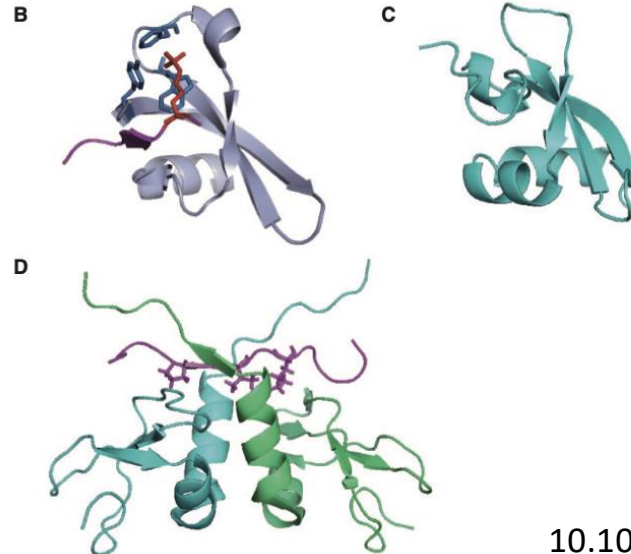
Heterochromatin protein 1 (HP1) is an evolutionarily conserved chromosomal protein that binds lysine 9-methylated histone H3 (H3K9me), a hallmark of heterochromatin, and plays a crucial role in forming higher-order chromatin structures. HP1 has an N-terminal chromodomain and a C-terminal chromoshadow domain, linked by an unstructured hinge region.

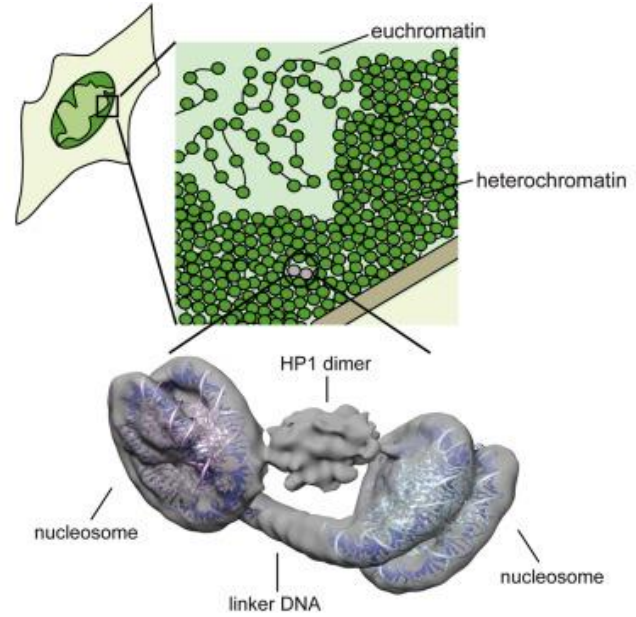
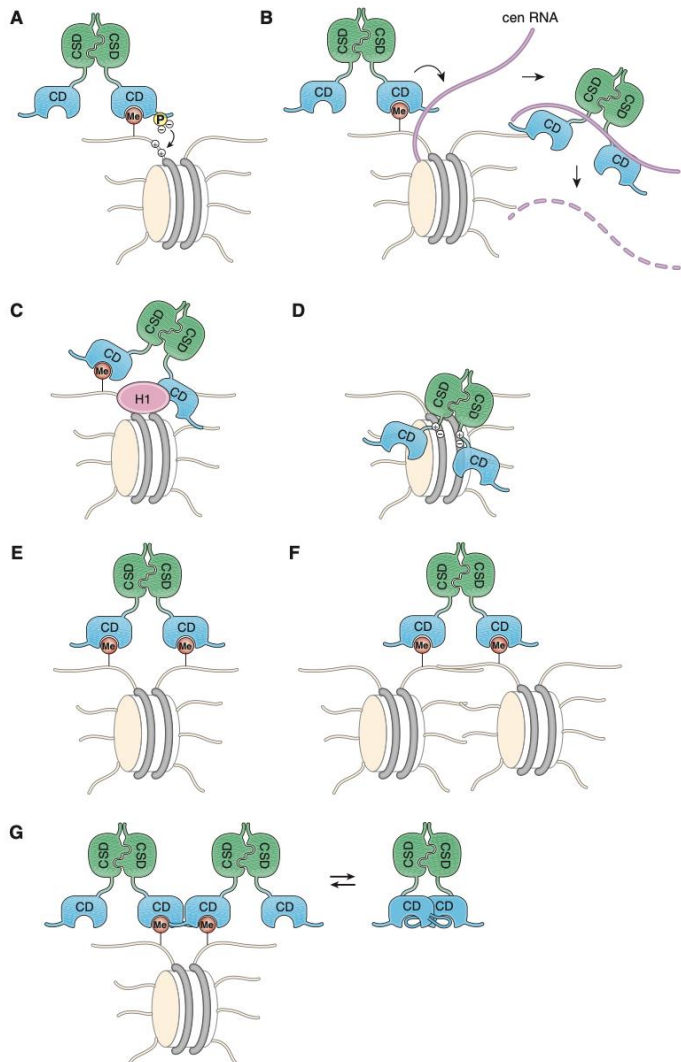
A series of in vitro biochemical analyses demonstrated that HP1 CD preferentially binds H3K9me3 over H3K9me2 or H3K9me1, and that each HP1 isoform's CD displays a different binding affinity for H3K9me3.

**A**

HP1 $\alpha$	1	MGKK-TKRTADSSSS <b>EEEEE</b> YVVEKVLDRRVVKGQVEYLLKWKGFSEEHNTWEPEKNLDC
HP1 $\beta$	1	MGKKQNKKKV <b>EEVL</b> EEEEEYVVEKVLDRRVVKGVEYLLKWKGFSDENTWEEPEENLDC
HP1 $\gamma$	1	MGKKQNGK-SKKV <b>EEA</b> PEEEFVVEKVLDRRVVNGKVEYFLKWKGFDDADNTWEEPEENLDC
HP1 $\alpha$	60	PELISEFMKKYKMKKE <b>G</b> ENNKPREKSESNKRK--SNFSNSADDIKSKKKREQSNDIARGF
HP1 $\beta$	61	PDLIAEFLQSQKTAHE <b>T</b> DK-----SEGGKRKADSD <b>ED</b> KGESKPKKKK <b>EE</b> S-EKPRGF
HP1 $\gamma$	60	PELIEAFLN <b>S</b> QKAGKE <b>K</b> D-----GTRKKSLS <b>D</b> SE <b>S</b> --DDSKSKKKR <b>DA</b> -DKPRGF
HP1 $\alpha$	118	ERGLEPEKIIIGATDSCGDL <b>M</b> FLMKWKTDEADLVLAKEANVKCPQIVIAFYEEERLTWHAY
HP1 $\beta$	114	ARGLEPERIIGATDSSGEL <b>M</b> FLMKWKNSEADLVPAKEANVKCPQVVISFYEEERLTWHSY
HP1 $\gamma$	108	ARGLDPERIIGATDSSGEL <b>M</b> FLMKWKSDEADLVLAKEANMKCPQIVIAFYEEERLTWHSC
HP1 $\alpha$	178	PE <b>DA</b> EN <b>KE</b> K <b>ET</b> AKS
HP1 $\beta$	174	P <b>SE</b> DD <b>DK</b> DD <b>KN</b> --
HP1 $\gamma$	168	P <b>E</b> DE <b>A</b> Q-----

■ Chromodomain  
■ Chromoshadow domain



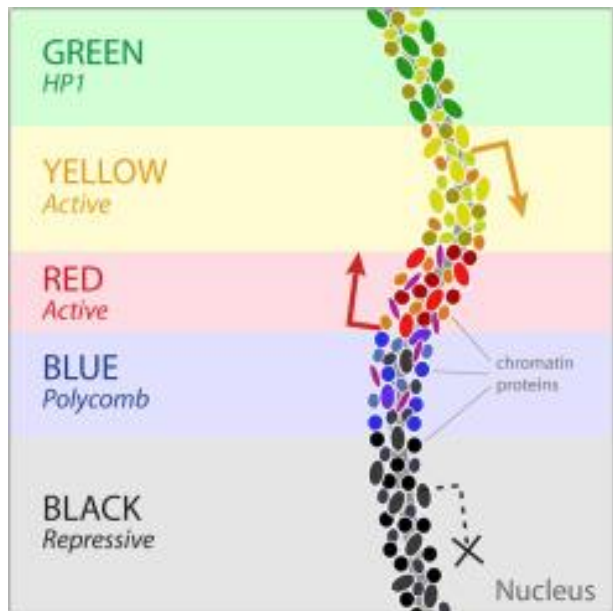




# Цвета хроматина

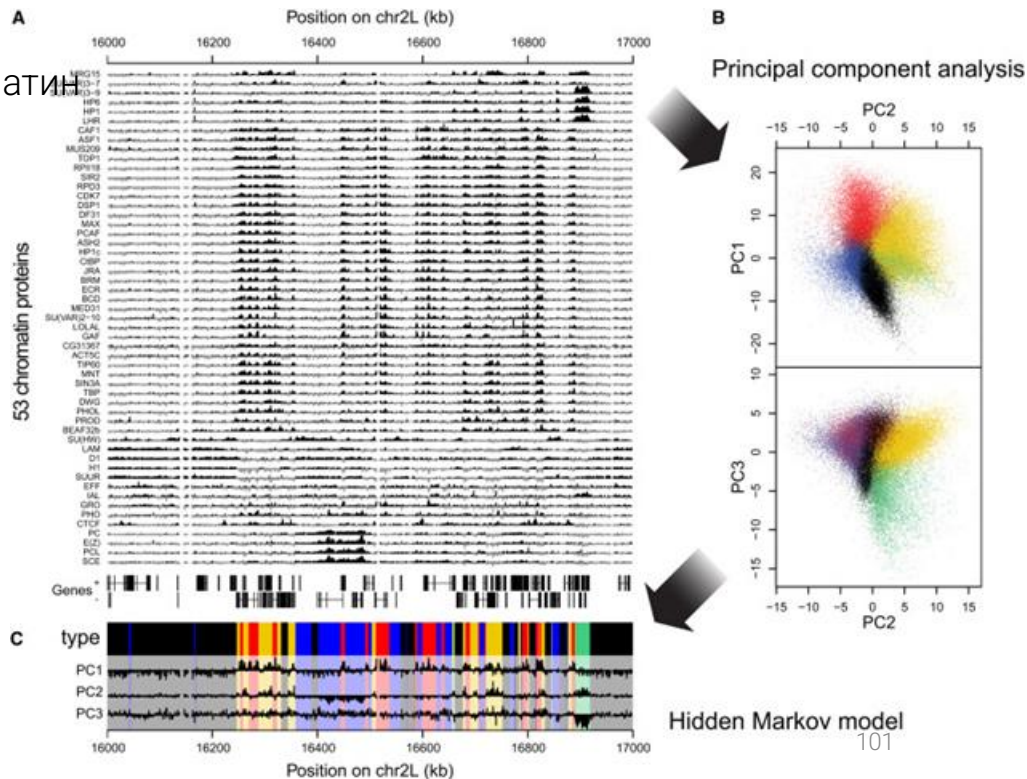
53 профиля белков на хроматине после Dam-метилирования (идентификация ДНК-аденин-метилирования) объединены в цвета хроматина:

- красный, желтый - активный хроматин,
- зеленый, синий, черный - неактивный хроматин



## Systematic Protein Location Mapping Reveals Five Principal Chromatin Types in *Drosophila* Cells

Guillaume J. Filion,<sup>1,5</sup> Joke G. van Bemmel,<sup>1,5</sup> Ulrich Braunschweig,<sup>1,5</sup> Wendy Talhout,<sup>1</sup> Jop Kind,<sup>1</sup> Lucas D. Ward,<sup>3,4,6</sup> Wim Brugman,<sup>2</sup> Inês J. de Castro,<sup>1,7</sup> Ron M. Kerkhoven,<sup>2</sup> Harmen J. Bussemaker,<sup>3,4</sup> and Bas van Steensel<sup>1,7</sup>





## **BLUE and GREEN Chromatin Correspond to Known Heterochromatin Types**

GREEN chromatin corresponds to classic heterochromatin that is marked by SU(VAR)3-9, HP1, and the HP1-interacting proteins LHR and HP6.

BLUE chromatin corresponds to PcG chromatin, as shown by the extensive binding by the PcG proteins PC, E(Z), PCL, and SCE.

## **BLACK Chromatin Is the Prevalent Type of Repressive Chromatin**

BLACK chromatin is overall relatively gene poor

BLACK chromatin is almost universally marked by four of the 53 mapped proteins: histone H1, D1, IAL, and SUUR, whereas SU(HW), LAM, and EFF are also frequently present

## **YELLOW and RED Chromatin Are Two Distinct Types of Euchromatin**

Genes with universal cellular functions such as “ribosome,” “DNA repair,” and “nucleic acid metabolic process” are almost exclusively found in YELLOW chromatin (Figure 6B), whereas genes in RED chromatin are linked to more specific processes such as “receptor binding,” “defense response,” “transcription factor activity,” and “signal transduction”

Спасибо за внимание!

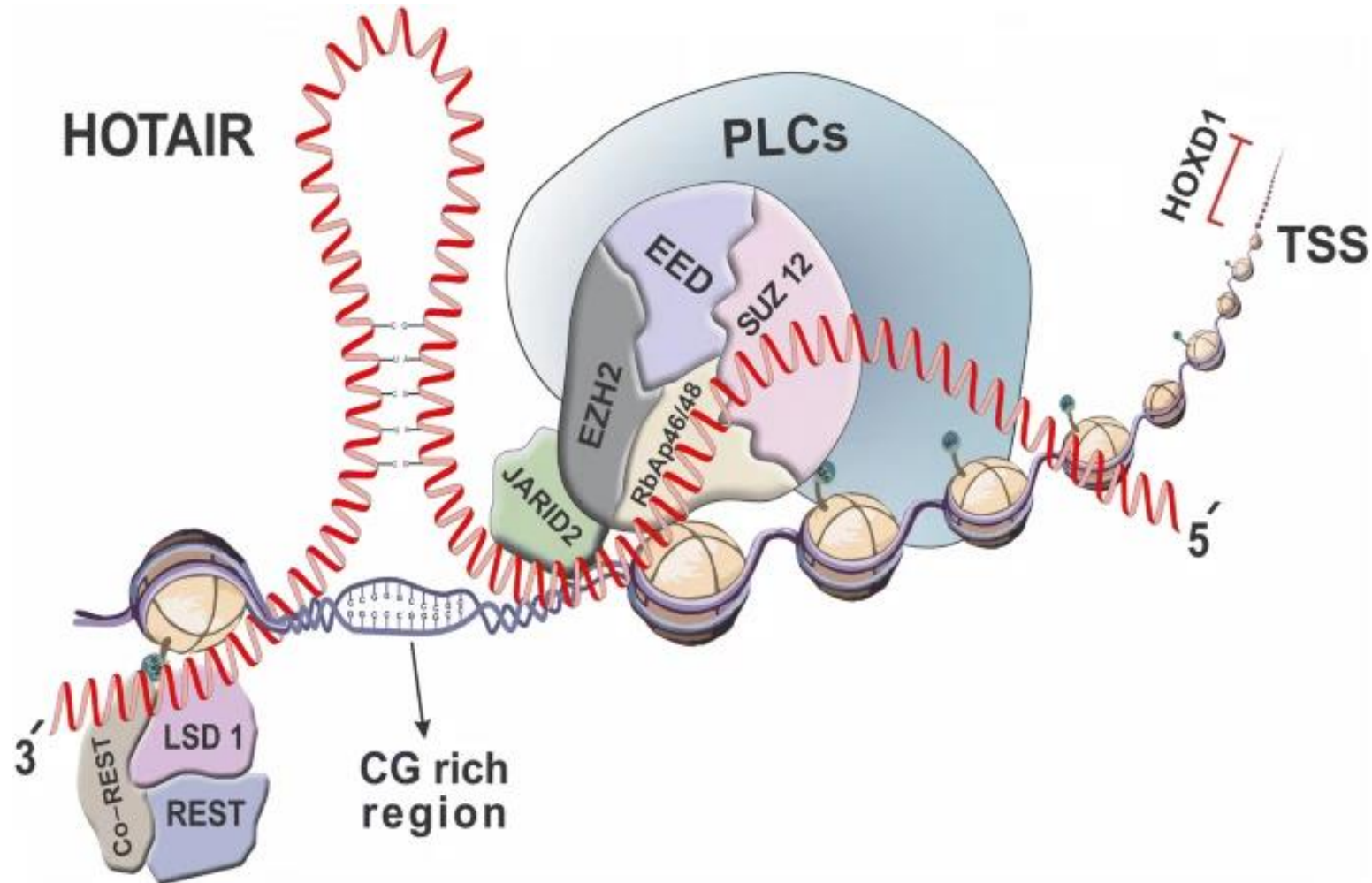
# Роль длинных некодирующих РНК

Длинные некодирующие РНК (днкРНК, lncRNAs) — некодирующие РНК, которые как правило имеют длину более 200 нуклеотидов, и расположены в ядре или в цитоплазме.

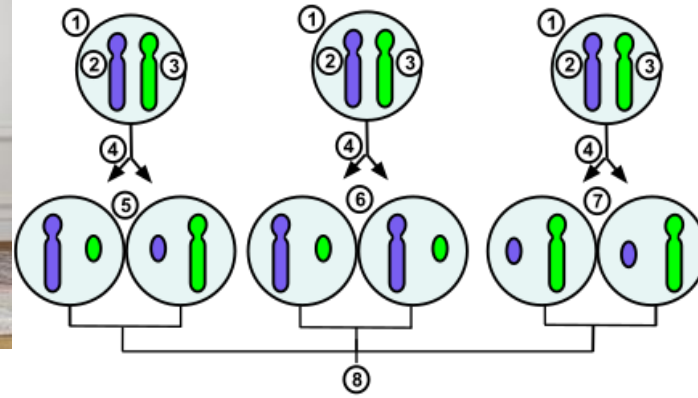
## LncBook 2.0

Integrating human long non-coding RNAs with multi-omics annotations

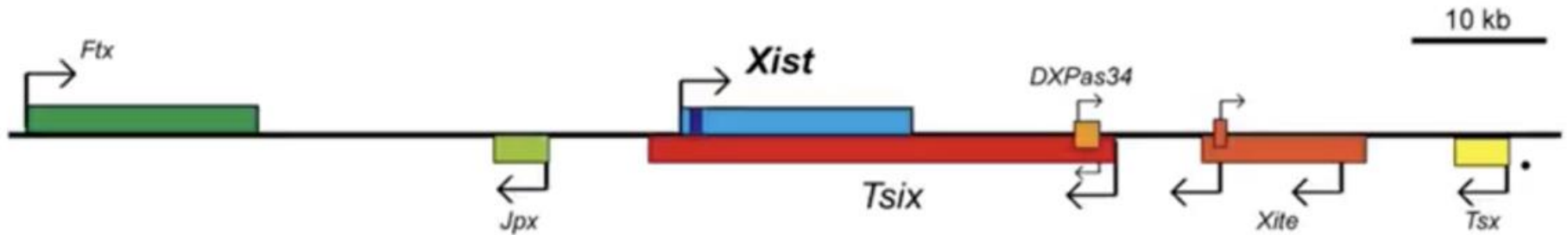
LncBook accommodates a high-quality collection of 95,243 human lncRNA genes and 323,950 lncRNA transcripts, and incorporates their abundant annotations at different omics levels, thereby enabling users to decipher functional signatures of lncRNAs in human diseases and different biological contexts.



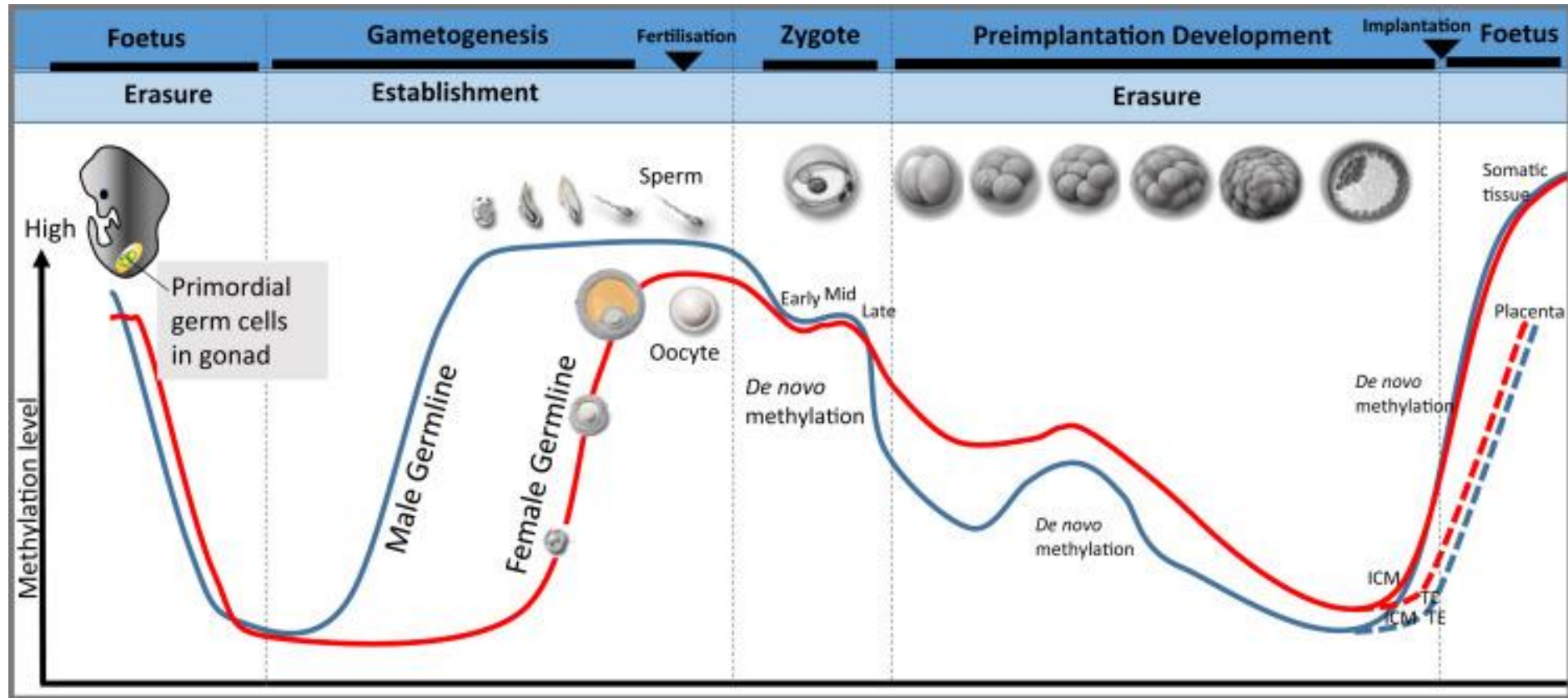
Xist (X-inactive specific transcript)



## X inactivation centre (XIC)

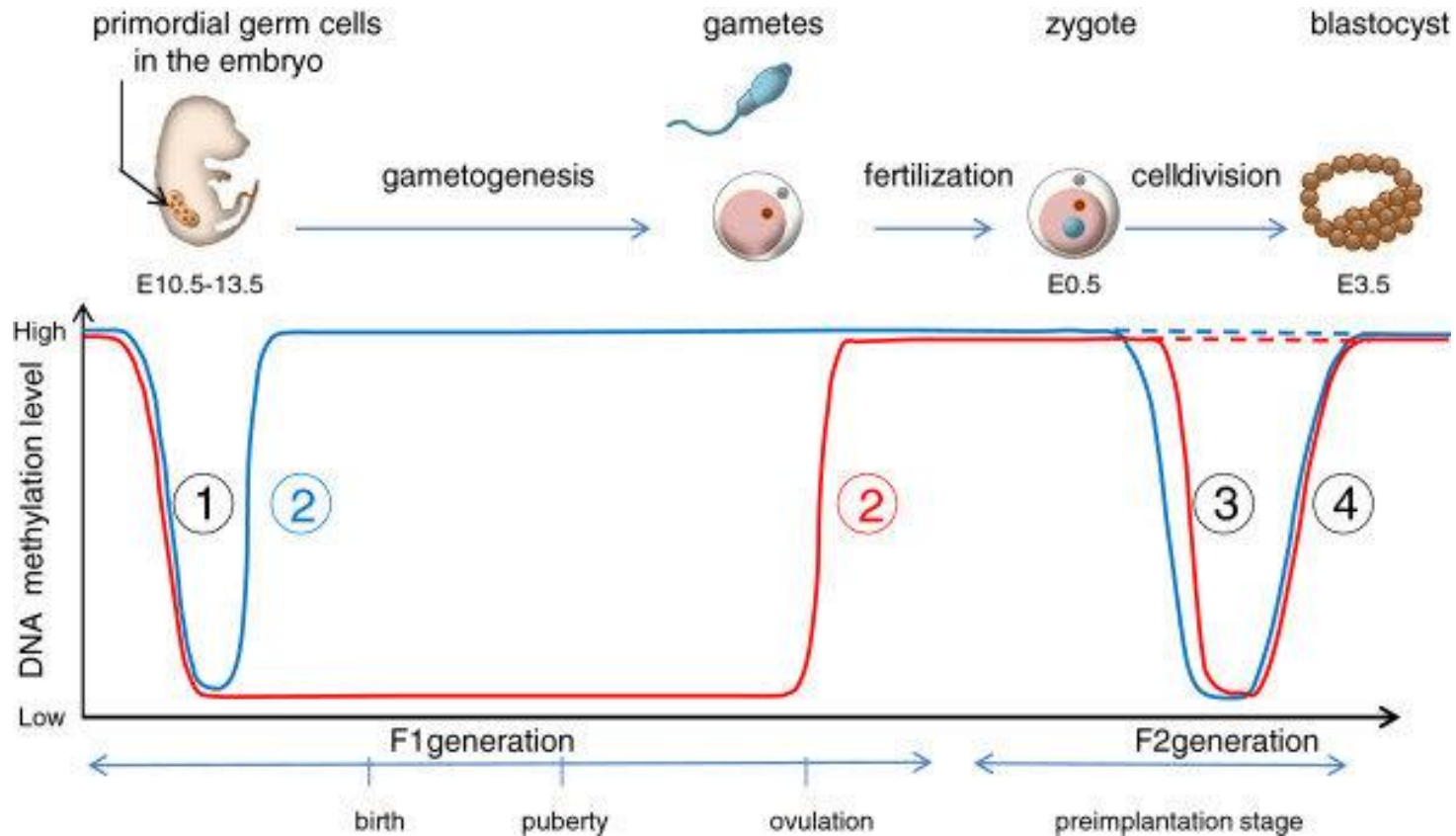


# Epigenetic genome wide reprogramming



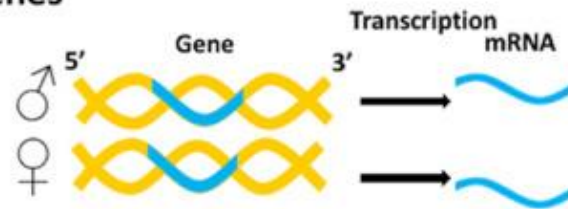


# Epigenetic genome wide reprogramming

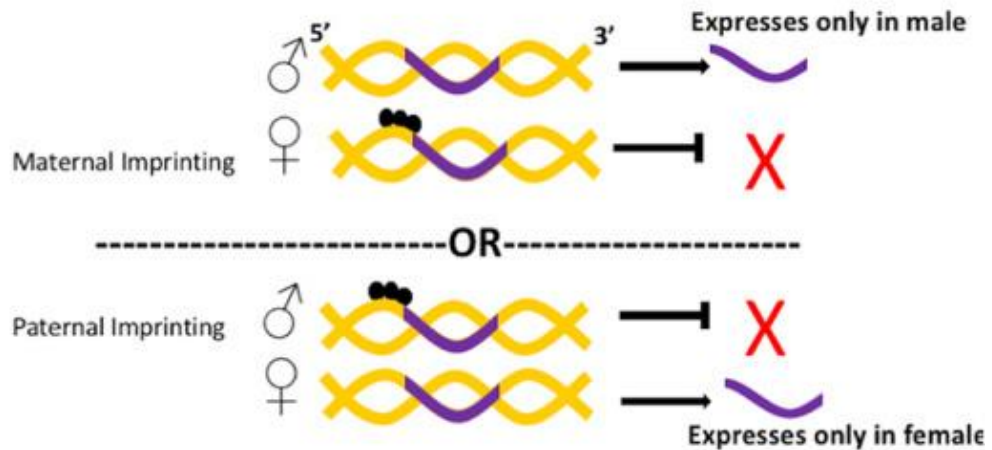


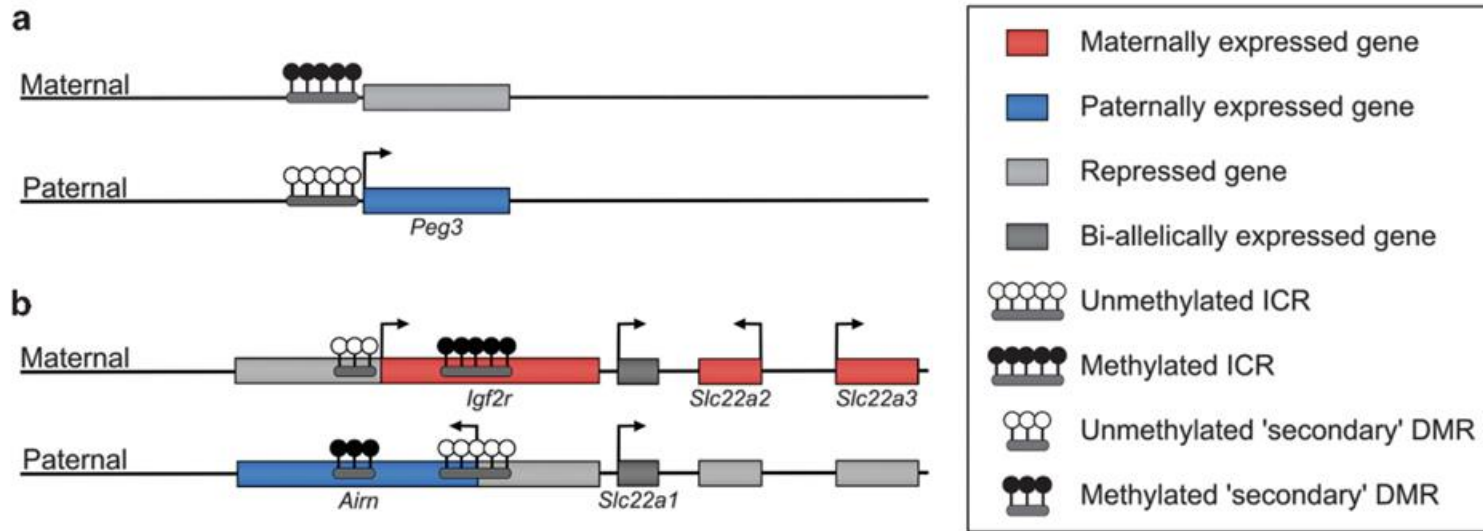
# Импринтинг

## Non-imprinted genes

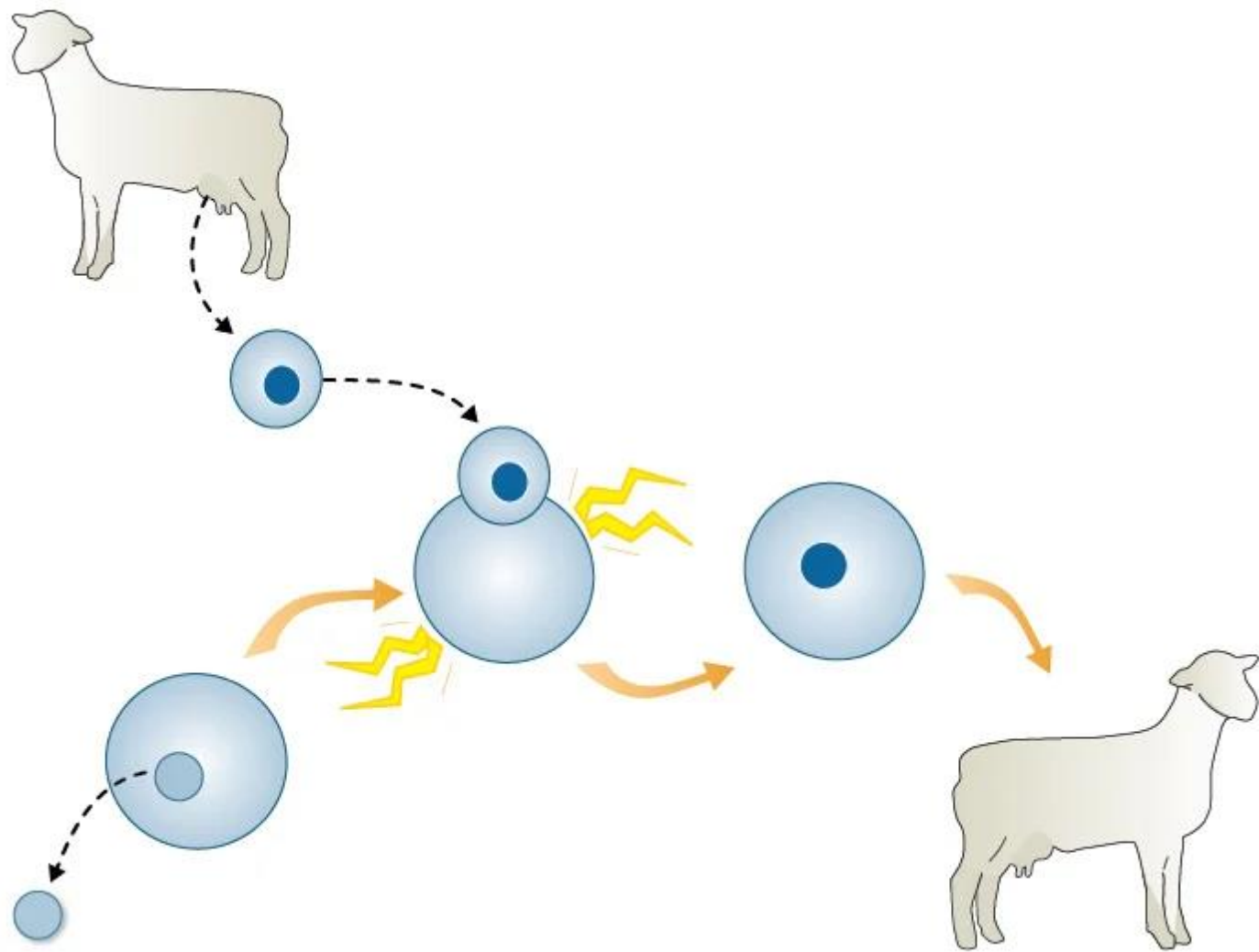


## Imprinted genes





**Figure 1** Examples of directly and indirectly regulated imprinted regions. Schematic representation of the (a) *Peg3* imprinted gene on chromosome 7 and (b) the *Igf2r* imprinted cluster on chromosome 17. The expression status of the genes on the maternal and paternal alleles is illustrated; active promoters are represented by horizontal arrows. (a) The differentially methylated ICR established during germ cell development is located at the promoter of the *Peg3* gene and directly regulates the monoallelic transcription of this gene. (b) The maternally methylated ICR indirectly regulates the monoallelic expression of the adjacent genes at this locus, partially mediated by the monoallelic methylation acquired at the nearby secondary DMR at the *Igf2r* promoter.



## AN EXAMPLE OF IMPRINTING

